

624.04
Müller-Breslau,
м-98 профессоръ политехникума въ Берлинѣ.

Выпускъ I.

Графическая статика сооружений.

Переводъ съ послѣднаго нѣмецкаго изданія.

Т. Г. Кривошеинъ,

Военный инженеръ, преподаватель Николаевской Инженерной Академіи и Училища.

П. Н. Казинъ,

Военный инженеръ.

✓ Томъ I.

Содержание выпуска I:

- I. Сложеніе и разложеніе силъ. Статические моменты.
- II. Моменты высшихъ степеней параллельныхъ силъ, лежащихъ въ одной плоскости. Моменты инерціи и центробѣжные моменты плоскихъ съченій.
- III. Напряженія въ прямолинейныхъ стержняхъ.

Издание инженера П. Н. Казина.

С.-ПЕТЕРБУРГЪ.

Типо-литографія и переплетная Ю. А. Мансфельдъ, Малая Морская, № 9.

1899.

2187

Мüller-Breslau,

профессоръ политехникума въ Берлинѣ.

Ч 624 04
m-98

Выпускъ I.

Графическая статика сооружений.

Переводъ съ немецкаго.

Т. Т. Кривошенинъ,

Военный инженеръ, преподаватель Николаевской Инженерной Академіи и Училища.

П. Н. Казинъ,

Военный инженеръ.

Томъ I.

СОДЕРЖАНИЕ выпускка I:

- I. Сложеніе и разложеніе силъ. Статические моменты.
- II. Моменты высшихъ степеней параллельныхъ силъ лежащихъ въ одной плоскости. Моменты инерціи и центробѣжные моменты плоскихъ съченій.
- III. Напряженія въ прямолинейныхъ стержняхъ.

Издание инженера П. Н. Казина.



С.-ПЕТЕРБУРГЪ.

Типографія Ю. А. Мансфельда, Малая Морская, 9.

1898.

Дозволено цензурою, С.-Петербургъ, 10 Декабря 1898 года.

Предисловіе къ I тому.

Второе изданіе моей „Графической статики сооруженій“, не имѣющее почти ничего общаго съ первымъ краткимъ изданіемъ, появится въ трехъ томахъ, изъ которыхъ каждый представить изъ себя одно цѣлое.

Въ первомъ томѣ выводятся важные законы о многоугольникѣ силъ и веревочномъ многоугольникѣ, затѣмъ въ отдѣлахъ II и III (Выпускъ I) изслѣдуются моменты инерціи и центробѣжные моменты плоскихъ сѣченій и напряженія въ прямолинейныхъ стержняхъ. Вместо эллипса напряженій введена вспомогательная окружность (указано впервые Кульманомъ). Моменты втораго порядка поперечныхъ сѣченій относительно осей, проходящихъ черезъ центръ тяжести, между которыми существуетъ зависимость, подобная зависимости между нормальными и перерѣзывающими напряженіями, опредѣляются также при помощи вспомогательной окружности. Эллипсъ инерціи, имѣющій менѣе важное значеніе, изслѣдуется во второй очереди.

Отдѣлы IV до XII (выпуски II—V) содержать теорію статически опредѣлимыхъ плоскихъ фермъ; изслѣдованія деформаціи этихъ фермъ будутъ помѣщены во второмъ томѣ.

Послѣ краткаго введенія въ этихъ отдѣлахъ даются общія понятія о линіяхъ вліянія, затѣмъ опредѣляются опорныя сопротивленія, моменты и перерѣзывающія силы для простой балки, для фермы Гербера (консольной) и для трехшарнирной арки; въ отдѣлѣ VIII (выпускъ III) приводится общая теорія статически опредѣлимой плоской рѣшетки. При составленіи этого важнаго отдѣла я пользовался кромѣ извѣстныхъ сочиненій Ritter'a, Culmann'a, Maxwell'я, Cremona и Föppl также новыми работами Saviotti и Henneberg'a; затѣмъ, въ этомъ сочиненіи разбирается новый приемъ *),

*) Краткое сообщеніе объ этомъ способѣ было сдѣлано авторомъ еще въ 1887 г. (Schweizerische Bauzeitung, стр. 121). Первое примѣненіе кинематики къ

опирающейся на простые законы учения о геометрическомъ движении (кинематики), пріемъ, который даетъ возможность определить каждую изъ неизвѣстныхъ съ помощью *одного* уравненія моментовъ (законъ возможныхъ перемѣщений); а это уравненіе позволяетъ изслѣдоватъ дѣйствіе каждого груза совершенно отдельно, что приводить сейчасъ же къ важнымъ линіямъ вліянія. Различные примѣры объясняютъ примѣненіе общихъ законовъ.

Послѣдніе отдѣлы (выпускъ V) содержать въ себѣ подробное изслѣдованіе употребительныхъ статически опредѣлимыхъ фермъ, а именно простыхъ и консольныхъ рѣшетчатыхъ фермъ (Гербера), трехшарнирной рѣшетчатой арки и статически опредѣлимыхъ висячихъ мостовъ; кроме того въ этихъ отдѣлахъ изслѣдованы такія фермы, которые, хотя до сихъ поръ и не были исполнены, тѣмъ не менѣе заслуживаютъ вниманія, такъ какъ изслѣдованіе этихъ фермъ весьма поучительно. Къ нимъ относятся балки Гербера съ воображаемыми шарнирами (Föppl) и съ произвольнымъ очертаніемъ поясовъ (§ 46—Выпускъ V) и статически опредѣлимая жесткія балки съ цѣпями и съ шарнирными арками (§ 51 и 52 — Выпускъ V). Во всѣхъ этихъ изслѣдованіяхъ, весьма важныхъ для инженеровъ, я старался выбирать и придумывать такие основные способы, которые не затрудняли бы память, пріучали бы изучающаго къ самостоятельному решенію задачъ и давали бы въ тоже время наглядныя диаграммы, которые легко провѣрить. Упомянемъ, между прочимъ, о томъ способѣ, когда определеніе вліянія подвижной нагрузки сводится къ изслѣдованію нѣсколькихъ простыхъ случаевъ нагрузокъ; этотъ способъ представляетъ преимущества при определеніи линій вліянія; даже тогда, когда требуется чисто численное решеніе данной задачи, этотъ способъ можно почти всегда предпочесть вычислению по готовымъ формуламъ *).

Второй томъ (выпускъ V—X) будетъ содержать: определеніе деформаций плоскихъ фермъ, теорію статически неопределѣлимыхъ плоскихъ фермъ, а также изслѣдованіе дополнительныхъ напряже-

теоріи рѣшетки было сдѣлано проф. Fränkel (Civilingenieur, 1875, стр. 515); деформации простой треугольной сѣти онъ изслѣдовалъ съ помощью теоремы о мгновенномъ полюсе. Упомянемъ здѣсь о работѣ проф. Grübler'a (Rigaïsche Industriezeitung, 1887, № 4 и 5), который изслѣдуетъ этотъ вопросъ также кинематическимъ путемъ, обративъ рѣшетку въ жесткую систему; это сочиненіе я получилъ по отпечатанію отдѣла VIII и потому не могъ имъ воспользоваться. Проф. Grübler избралъ другой путь, чѣмъ я; онъ пользуется только определеніемъ полюса, тогда какъ я пользуюсь перпендикулярными скоростями въ связи съ определеніемъ полюса, и рядомъ съ вопросомъ о жесткости разбираю вопросъ о статической определимости.

*) См. примѣры въ № 187, 184 (Выпускъ IV), № 198, 201 и въ § 49 (Выпускъ V).

ний въ желѣзныхъ конструкціяхъ; третій томъ будетъ заключать въ себѣ: сложеніе и разложеніе силъ въ пространствѣ (въ первомъ томѣ объ этомъ говорится вкратцѣ), теорію рѣшетки въ пространствѣ, теорію давленія земли и изслѣдованіе подпорныхъ стѣнъ, быковъ и сводовъ.

Ганноверъ. Сентябрь 1887.

H. Müller-Breslau.



ОГЛАВЛЕНИЕ

ВЫПУСКА I.

СТР.

Введение	9
--------------------	---

ОТДѢЛЪ I.

Сложение и разложение силъ. Статические моменты.

§ 1. Сложение силъ на плоскости. Условія равновѣсія	11
§ 2. Разложение силъ на плоскости	20
§ 3. Статические моменты силъ	22
§ 4. Сложение силъ въ пространствѣ	26

ОТДѢЛЪ II.

Моменты высшихъ степеней параллельныхъ силъ, лежащихъ въ одной плоскости. Моменты инерціи и центробѣжные моменты плоскихъ сѣченій.

§ 5. Моменты высшихъ степеней параллельныхъ силъ	29
§ 6. Моменты инерціи плоскихъ сѣченій	33
§ 7. Общіе законы о моментахъ второго порядка поперечныхъ сѣченій. Определение центробѣжного момента	41
§ 8. Эллипсъ инерціи	50

ОТДѢЛЪ III.

Напряженія въ прямолинейныхъ стержняхъ.

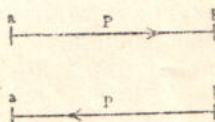
§ 9. Нормальныя напряженія	54
§ 10. Дальнѣйшія изслѣдованія о положеніи нейтральной оси	66
§ 11. Ядро сѣченій	70
§ 12. Случай сжимающихъ усилій, приложенныхъ вънѣ ядра сѣченія, когда не допускаются растягивающія усилія	76
§ 13. Перерѣзывающія и главныя напряженія	82

Введение.

Графическая статика учитъ сложенію и разложенію силъ геометрическимъ путемъ, а также опредѣляетъ условія равновѣсія силъ, дѣйствующихъ на тѣло. Многія задачи, напримѣръ, опредѣление центровъ тяжести, моментовъ инерціи и измѣненія формы (деформаціи) твердыхъ тѣлъ сводятся при помощи графической статики къ задачамъ на силы; пользуясь аналитическими изслѣдованіями, графическая статика решаетъ эти задачи графическимъ путемъ или указываетъ ихъ результатъ также геометрическимъ путемъ.

Величина и положеніе силы выражается въ графической статикѣ длиной и направленіемъ прямой линіи. Положеніе силы опредѣляется ея направленіемъ и точкой, чрезъ которую проходитъ это направленіе, а также теченіемъ этого направленія. Теченіе выражается нагляднѣе всего посредствомъ стрѣлки или, если сила должна быть обозначена на чертежѣ посредствомъ начальной и конечной буквъ, то порядкомъ этихъ буквъ. Такъ напр., сила P (фиг. 1) выражается отрѣзкомъ ab , потому что она дѣйствуетъ отъ точки a по направлению къ точкѣ b ; сила P (фиг. 2) выражается отрѣзкомъ ba , потому что она дѣйствуетъ отъ точки b къ a .

Графическое изображеніе силъ, дѣйствующихъ на тѣло, называется *многоугольникомъ силъ*. Для построенія такого многоугольника необходимо задать *масштабъ силъ*. Обыкновенно принимаютъ, что прямой линіи длиною въ 1 мм. соотвѣтствуетъ сила въ m килограммовъ или $= \frac{m}{1000}$ тоннъ; такимъ образомъ въ



Фиг. 1 и 2.

многоугольникъ силъ, начертенномъ въ масштабѣ 10 мм. = 2000 килограммовъ = 2 тоннамъ, линія длиною въ 62 мм. будетъ изображать силу въ 12,4 тонны.

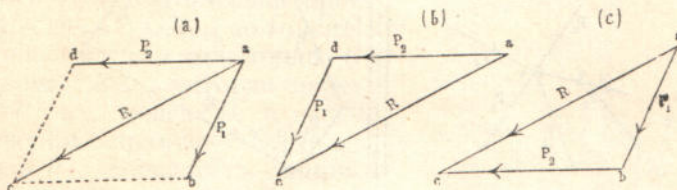
ОТДѢЛЪ I.

Сложеніе и разложеніе силъ. Статическіе моменты.

§ 1.

Сложеніе силъ, дѣйствующихъ въ одной плоскости.
Условія равновѣсія.

1. Сложеніе двухъ силъ. Пусть на точку a дѣйствуютъ двѣ силы P_1 и P_2 ; ихъ направлениѳ и величина обозначены направлениемъ и длиной линій ab и ad (фиг. 3 а); тогда ихъ равнодѣйствующая R будетъ равна діагонали ac параллелограмма $abcd$, построенного на силахъ.—Можно также получить равнодѣйствующую R , откладывая силы одну за другой, не измѣняя ихъ величины, направления и течениія, либо въ порядкѣ P_2, P_1 (фиг. 3 б), либо въ порядкѣ

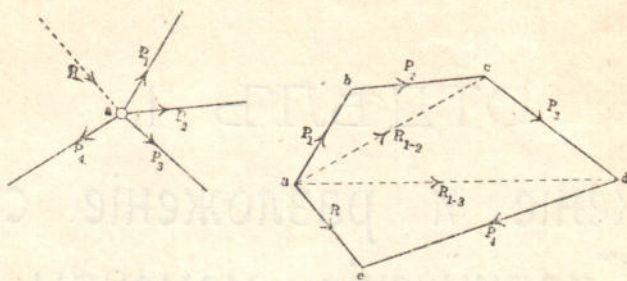


Фиг. 3 а, б и с.

P_1, P_2 (фиг. 3 с), соединивъ начальную точку полученнаго многоугольника силъ a съ его послѣдней точкой прямой линіей ac . Треугольники ade и abc называются треугольниками силъ.

И обратно, съ помощью параллелограмма силъ (или съ помощью треугольника силъ) можно разложить силу R на двѣ составляющія силы P_1 и P_2 , направленія которыхъ даны и которыя пересѣкаютъ R въ одной и той-же точкѣ a .

2. Сложение произвольного числа силъ, приложенныхъ къ одной точкѣ. Фиг. 4 (а и б). Если требуется нѣсколько силъ P_1, P_2, P_3, P_4 , дѣйствующихъ на одну точку, сложить въ одну равнодѣйствующую R , то складываютъ (лучше на отдельныхъ чертежахъ) силы P_1 и P_2 при помощи треугольника силъ abc и получаютъ равнодѣйствующую R_{1-2} , потомъ складываютъ R_{1-2}

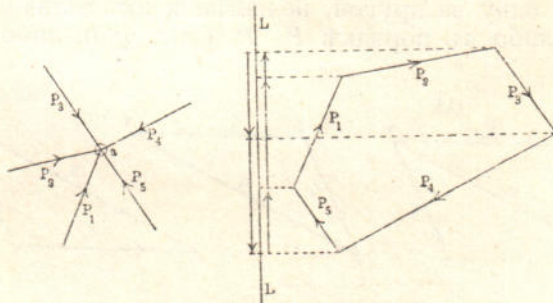


Фиг. 4 а и б.

съ P_3 и получаютъ R_{1-3} , которую складываютъ съ P_4 и получаютъ $R_{1-4}=R$. Къ тому-же результату можно придти, если откладывать силы P_1, P_2, P_3, P_4 , одну за другой, не измѣняя ихъ величинъ, направлений и теченій; тогда получится многоугольникъ силъ $abce$, послѣднюю точку которого соединяютъ съ начальной точкой a прямой ae , которая и будетъ искомой R .

Итакъ, равнодѣйствующая $ae=R$ замыкаетъ многоугольникъ $abce$, построенный изъ силъ P_1, P_2, P_3, P_4 .

Порядокъ, по которому соединяютъ силы P , безразличенъ, такъ какъ прежде было доказано, что равнодѣйствующую двухъ силъ P_1, P_2 можно получить замыканіемъ многоугольника силъ P_2-P_1 (фиг. 3 б) или многоугольника силъ P_1-P_2 (фиг. 3 с).



Фиг. 5 а и б.

3. Равновѣсіе силъ, дѣйствующихъ на одну точку.

Если силы P_1, P_2, P_3, P_4, P_5 , дѣйствующія на точку a (фиг. 5 а), откладывать другъ за другомъ, не измѣняя ихъ величины, направления и теченія, образуя при этомъ замкнутый многоугольникъ (фиг. 5 б), то ихъ равнодѣйствующая=о. Тогда силы P находятся между собою въ равновѣсіи. Если проектировать многоугольникъ силъ на

какую нибудь прямую линію LL и вообразить себѣ каждую изъ силъ P разложенной на двѣ составляющія силы: одну параллельную, а другую перпендикулярную къ LL , то получимъ, что сумма составляющихъ по направлению LL , т. е. сумма проекцій силъ P на прямую $LL=0$.

Надо замѣтить, что многоугольникъ силъ только тогда называется замкнутымъ, если въ немъ всѣ силы идутъ по одному течению, такъ что можно, слѣдя по стрѣлкамъ, обвести весь многоугольникъ безъ остановки.

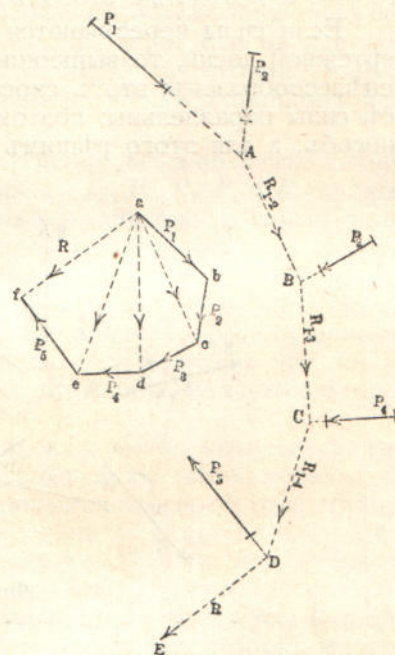
Многоугольникъ силъ на фиг. 5 въ обладаетъ непрерывнымъ обводомъ, тогда какъ многоугольникъ силъ на фиг. 4 въ прерывается стрѣлкой силы R .

Если измѣнить теченіе любой стороны сомкнутаго многоугольника силъ, то она дѣлается равнодѣйствующей остальныхъ силъ.

4. Сложеніе силъ, дѣйствующихъ на разныя точки. Если надо найти равнодѣйствующую R силъ P_1, P_2, P_3, P_4 , которые дѣйствуютъ не на одну и ту же точку, то продолжаемъ двѣ силы P_1 и P_2 до пересѣченія и находимъ ихъ равнодѣйствующую R_{1-2} , которая должна пройти черезъ точку пересѣченія силъ P_1 и P_2 . Равнодѣйствующую R_{1-2} соединяютъ такимъ-же образомъ съ силою P_3 , получаютъ равнодѣйствующую R_{1-3} , которую соединяютъ опять съ силою P_4 , получаютъ силу R_{1-4} и т. д.

Рекомендуется величины и направлениа силъ R опредѣлить на отдельномъ чертежѣ. На фиг. 6 произведено сложеніе силъ P_1, P_2, P_3, P_4, P_5 , какъ вышесказано.

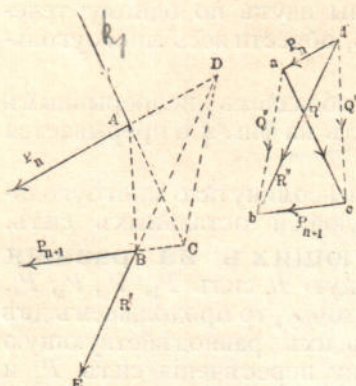
Послѣ построенія изъ этихъ силъ непрерывнаго многоугольника силъ $abcdef$ узнаемъ, что равнодѣйствующая (по величинѣ и направлению) $ae = R_{1-2}$, $ad = R_{1-3}$, $ae = R_{1-4}$, $af = R_{1-5} = R$. Потомъ черезъ точку A пересѣченія P_1 и P_2 проводимъ линію, параллельную линіи R_{1-2} , которая пересѣкаетъ P_3 въ точкѣ B ; отъ этой точки проведемъ параллельную R_{1-3} до точки C пересѣченія съ P_4 , а отъ точки C параллельную R_{1-4} , которая пересѣкаетъ P_5 въ точкѣ D , и наконецъ проводимъ прямую $DE \parallel R_{1-5}$. Тогда сила R_{1-5} совпадаетъ съ прямой AB , сила R_{1-3} съ BC , R_{1-4} съ CD , R_{1-5} съ DE . Многоугольникъ $ABCD$ называется многоугольникомъ равнодѣйствующихъ силъ P_1, P_2, P_3, P_4, P_5 . Такъ какъ порядокъ, въ которомъ соединяются силы, можно произвольно менять, то и многоугольники равнодѣйствующихъ будутъ получаться разные. Послѣдня-же стороны всѣхъ многоугольниковъ совпадутъ, такъ какъ положеніе R_{1-5} не зависитъ отъ выбора порядка. Для того чтобы это было ясно, достаточно доказать



Фиг. 6.

зать, что измѣненіе въ порядкѣ двухъ силъ P_n и P_{n+1} остается безъ вліянія на положеніе R , потому что при повтореніи такого измѣненія изъ одного порядка можно вывести всякой другой.

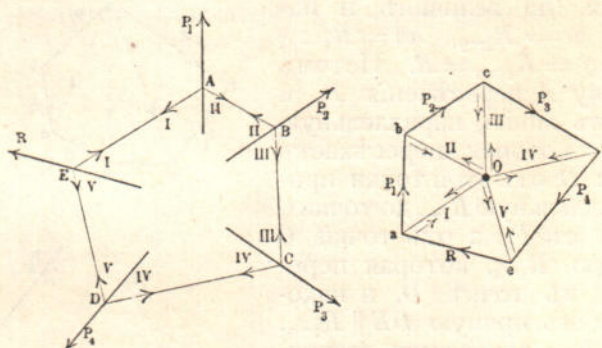
Если равнодѣйствующую R' силъ P_1 до P_{n-1} сложить прежде съ P_n , причемъ получится сила Q' (фиг. 7), а потомъ съ P_{n+1} , причемъ получится сила R'' , то получимъ многоугольникъ равнодѣйствующихъ силъ ABE , въ которомъ $AB \parallel dc$.



Фиг. 7.

$AC \parallel ac$, а вслѣдствіе этого $DB \parallel db$.

Если силы пересѣкаются подъ очень острый уголъ или вѣтъ чертежной доски, то вышеописанный способъ определенія R будетъ нецѣлесообразенъ; этотъ способъ нельзя примѣнять и тогда, когда всѣ силы параллельны; поэтому нужно вывести другой, болѣе общий способъ, а для этого рѣшимъ сначала такую задачу.



Фиг. 8 а и б.

Пусть даны силы P_1, P_2, P_3, P_4 (фиг. 8 а), дѣйствующія не на одну и ту же точку, которая могутъ быть между собою параллельны. Требуется отыскать величину и положеніе той силы R , которую нужно приложить для *возстановленія равновѣсія*.

Прежде всего составляютъ изъ силъ P_1, P_2, P_3, P_4 , многоугольникъ силъ $abcde$ (фиг. 8 б), который замыкаютъ посредствомъ прямой ea . Тогда $ea = R$ по величинѣ, направленію и теченію. Для того что-

бы опредѣлить на фигурѣ 8 а положеніе R , разлагаютъ силу P_1 на двѣ произвольно направленныя силы I, II, точка приложения которыхъ взята произвольно на направленіи силы P_1 .

Величины силъ I и II наносятся на многоугольникъ силъ (фиг. 8 б) посредствомъ параллельныхъ имъ линій aO и bO ; теченіе ихъ находятъ посредствомъ стрѣлокъ, которыми снабжаютъ треугольникъ силъ $ab\bar{O}$ въ томъ-же теченіи какъ и сила P_1 , причемъ круговое теченіе должно оставаться непрерывнымъ. Тогда сила I = отрѣзку Oa и II = отрѣзку bO .

Въ точкѣ пересѣченія B двухъ силъ II и P_2 первая сила уничтожается силой равной ей по величинѣ, но противоположной по направленію; равновѣсіе-же въ точкѣ B возстановляется силой III, величина, направленіе и теченіе которой указано на многоугольникѣ силъ линіей cO . Точно также въ точкѣ C , послѣ уничтоженія силы III, равновѣсіе возстановляется проведеніемъ силы IV = $\bar{d}O$ и въ точкѣ D послѣ уничтоженія силы IV — проведеніемъ силы V = $e\bar{O}$.

Наконецъ въ точкѣ пересѣченія E силъ I и V эти силы уничтожены равными имъ, но противоположно направленными силами; тогда въ точкѣ E равновѣсіе возстановляется силою $R = ea$.

Такъ какъ на каждую изъ точекъ A, B, C, D, E дѣйствуютъ три силы, находящіяся въ равновѣсіи, а силы I, II, III, IV, V по-парно уравновѣшиваются, то и сила R находится въ равновѣсіи съ силами P_1, P_2, P_3, P_4 .

Многоугольникъ $ABCDEA$ можно разматривать какъ ось веревки, за которую зацѣплены силы P_1, P_2, P_3, P_4 и R и въ частяхъ которой образуются силы натяженія I, II, III, IV, V; поэтому многоугольникъ $ABCDEA$, называется *веревочнымъ* многоугольникомъ или *шарнирнымъ* многоугольникомъ.

Впрочемъ первое болѣе употребительное название менѣе точно, такъ какъ, при перемѣнѣ во всѣхъ силахъ P_1, P_2, P_3, P_4 и R теченія, въ сторонахъ многоугольника образуются давленія и самый многоугольникъ придется вообразить себѣ сдѣланнымъ изъ стержней, способныхъ сопротивляться сжатію.

Линіи $Oa, Ob\dots$ въ многоугольникѣ силъ, фиг. 8 б, называются *лучами*. Точку O называютъ *полюсомъ* и перпендикуляръ, опущенный изъ полюса на одну изъ силъ, — *полюснымъ разстояніемъ* этой силы.

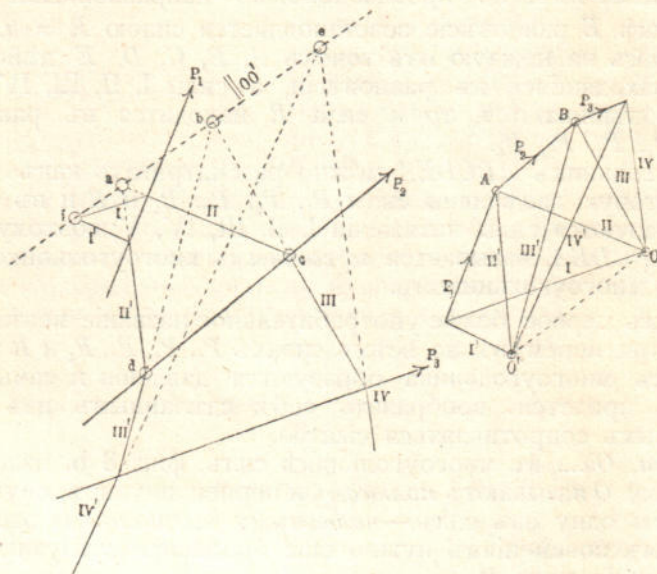
Къ этимъ поясненіямъ нужно еще прибавить слѣдующее правило опредѣленія силы R .

Послѣ построенія многоугольника силъ $abcdea$, который даетъ намъ величину и направленіе силы R , выбираемъ любой полюсъ O , проводимъ лучи I, II, III..., затѣмъ изъ произвольно взятой точки (напр. A силы P_1) строимъ веревочный многоугольникъ. Стороны этого многоугольника параллельны лучамъ и каждая двѣ изъ его сторонъ должны пересѣчься въ одной точкѣ на той изъ силъ P , которая образуетъ треугольникъ съ соотвѣтствующими лучами. Сила R пройдетъ черезъ точку пересѣченія первой и послѣдней стороны многоугольника.

Первая и послѣдняя стороны веревочнаго многоугольника называются *крайними сторонами для данной группы силъ*. Такъ напр., для группы (P_2 и P_3) крайними сторонами будутъ II и IV. Если требуется соединить силы P_1, P_2, P_3, P_4 въ одну равнодѣйствующую, то нужно только силу R , возстановляющую равновѣсіе, замѣнить другой, равной ей, но дѣйствующей въ обратномъ направленіи. При-

бавимъ, наконецъ, что на фиг. 6 на многоугольникъ равнодѣйствующихъ силъ $ABCDE$ надо смотрѣть, какъ на веревочный многоугольникъ, полюсъ котораго совпадаетъ съ начальной точкой многоугольника силъ $abcdef$. Понятіе о многоугольнике равнодѣйствующихъ силъ можно расширить, примѣня его къ каждому веревочному многоугольнику, полюсъ котораго совпадаетъ съ какой нибудь узловой точкой многоугольника силъ. Въ такомъ случаѣ лучи, проведенные отъ полюса, будуть сторонами многоугольника силъ или равнодѣйствующими данныхъ силъ, которыя замыкаются этими лучами.

5. Зависимость между двумя веревочными многоугольниками, проведенными изъ разныхъ полюсовъ для однихъ и тѣхъ-же силъ. Фиг. 9 а и 9 б. Пусть I, II, III... будутъ лучи, проведенные изъ полюса O , и I', II', III'... лучи проведенные изъ полюса O' ; точки пересѣченія соответствующихъ сторонъ веревочного многоугольника I и I', II и II'... лежатъ на прямой линіи, параллельной линіи, соединяющей оба по-



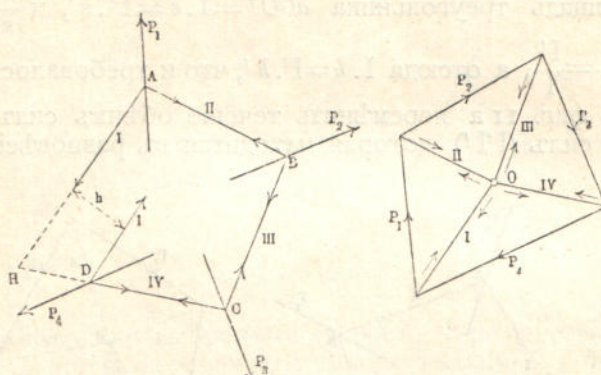
Фиг. 9 а и б.

люса OO' , потому что въ четырехугольникахъ $ABO0'$ и $abed$ —5 соответствующихъ сторонъ параллельны между собой, а именно $ad \parallel AO'$, $be \parallel BO'$, $dc \parallel AB$, $ac \parallel AO$ и $db \parallel OB$, а слѣдовательно, и сторона ab должна быть параллельна $O'O$. Такжѣ заключаемъ, что $be \parallel O'O$ и $ia \parallel O'O$, т. е. что точки $iabe$ будутъ лежать на прямой, параллельной OO' .

Второе доказательство заключается въ слѣдующемъ: сила P_2 (фиг. 9 б) находится въ равновѣсіи какъ съ силами $\overline{O'A} = II'$ и $\overline{BO'} = III'$, такъ и съ силами $\overline{OA} = II$ и $\overline{BO} = III$, поэтому всѣ 4 силы $O'A$, BO' , $-OA = AO$, $-BO = OB$ должны находиться между собою въ равновѣсіи. Равнодѣйствующая сила $\overline{O'A} = II'$ и $\overline{AO} = II$ проходитъ въ фиг. 9 а черезъ точку a пересѣченія сторонъ веревочного

многоугольника и равнодѣйствующая силь $\overline{OB} = \text{III}$ и $\overline{BO} = \text{III}'$ проходитъ черезъ точку b . Обѣ равнодѣйствующія параллельны прямой OO' и должны взаимно уничтожиться, что возможно лишь тогда, когда $ab \parallel OO'$. Точно также можно доказать, что $ia \parallel OO'$ и $be \parallel OO'$.

6. Безконечно удаленная и бесконечно малая сила какъ равнодѣйствующая конечныхъ силъ. Пара силъ. Если силамъ P_1, P_2, P_3, P_4 (фиг. 10) соотвѣтствуетъ замкнутый многоугольникъ силъ, то ихъ равнодѣйствующая = 0.



Фиг. 10.

Веревочный многоугольникъ, начертенный съ помощью полюса O , вообще не замыкается. Если допустить, что на точки A, B, C, D дѣйствуютъ силы, то получимъ состояніе равновѣсія, такъ какъ на каждую точку дѣйствуютъ три силы, находящіяся между собою въ равновѣсіи. Попарно-же изъ этихъ силъ уравновѣшиваются другъ друга только силы $\text{II}, \text{III}, \text{IV}$, такъ что силы P_1, P_2, P_3, P_4 находятся въ равновѣсіи не только между собою, но и съ двумя силами I . Эти двѣ силы пересѣкаются въ плоскости на бесконечно далекомъ разстояніи; ихъ равнодѣйствующая бесконечно мала; если замѣнить ее равной, но противоположно направленной силой, то мы получимъ *бесконечно удаленную бесконечно малую равнодѣйствующую силу* P_1, P_2, P_3, P_4 .

Силы I на фиг. 10 а образуютъ *пару силъ* и ихъ взаимное разстояніе называется *плечомъ*, а произведеніе изъ силы на плечо

$$M = \text{I}. h$$

называется *моментомъ пары силъ*; онъ независимъ отъ положенія полюса и принимается вслѣдствія этого какъ мѣра пары силъ, равныхъ бесконечно удаленной и бесконечно малой силѣ.

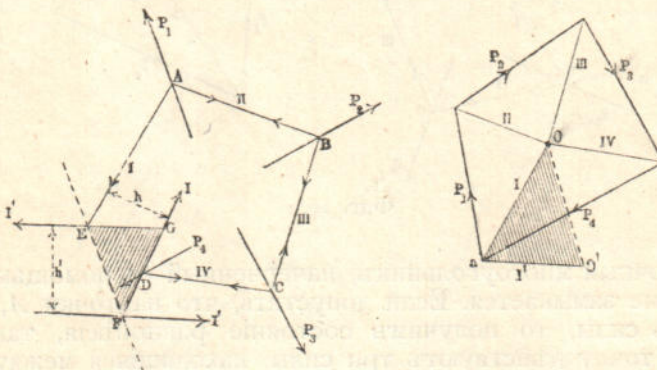
Доказательство этого положенія слѣдующее: пусть будетъ O' , (фиг. 11) новый полюсъ; тогда прямая, соединяющая точку E пересѣченія соотвѣтствующихъ первыхъ сторонъ веревочныхъ многоугольниковъ I и I' съ точкой F пересѣченія соотвѣтствующихъ послѣднихъ сторонъ I и I' , будетъ параллельна линіи OO' , соединяющей оба полюса. Поэтому данное положеніе первой стороны I' нового веревочнаго многоугольника опредѣляетъ положеніе послѣдней стороны I' , а вмѣстѣ съ этимъ опредѣляетъ и величину момента $M = I'. h'$ пары силъ ($I' I'$) при плечѣ h' .

Если продолжить первую сторону I' до точки G пересѣченія ея съ послѣдней стороной I , то получимъ треугольникъ GEF , подобный треугольнику $aO0'$. Если s и s' обозначаютъ въ послѣднемъ треугольникѣ длину перпендикуляровъ, опущенныхъ изъ угловъ O' и O на стороны I и I' , то получимъ

$$\frac{h}{h_1} = \frac{s}{s'}$$

Двойная площадь треугольника $aO0' = I \cdot s = I' \cdot s'$, и $\frac{s}{s_1} = \frac{I'}{I}$; слѣдовательно $\frac{h}{h'} = \frac{I'}{I}$, а отсюда $I \cdot h = I' \cdot h'$, что и требовалось доказать.

Если на фиг. II а перемѣнить теченіе обѣихъ силъ I' , то получимъ пару силъ (II') , которая находится въ равновѣсіи съ парой



Фиг. II.

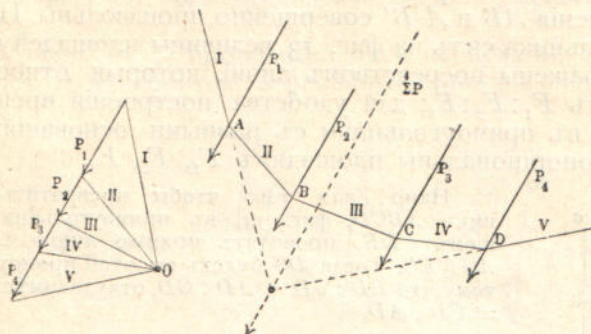
силъ (I, I) . Моменты обѣихъ паръ равны и противоположны по направленію вращенія.

7. Условія равновѣсія. Если перемѣстить на фиг. то а силу P_4 параллельно самой себѣ до тѣхъ поръ, пока она не пройдетъ черезъ точку H пересѣченія сторонъ I и IV веревочнаго многоугольника, то веревочный многоугольникъ будетъ замкнутъ. Обѣ силы натяженія I взаимно уничтожаются, а силы P_1, P_2, P_3, P_4 находятся въ равновѣсіи. *Независимый отъ положенія полюса* моментъ $I \cdot h$ вслѣдствіи перемѣщенія P_4 будетъ равенъ нулю, а вмѣстѣ съ нимъ исчезнетъ и та безконечно удаленная, безконечно малая сила, которую надо было раньше прибавить для возстановленія равновѣсія.

Такимъ образомъ для равновѣсія силъ, дѣйствующихъ на различныя точки одной и той-же плоскости, необходимо и достаточно, чтобы этими силамъ соотвѣтствовалъ замкнутый многоугольникъ силъ и замкнутый веревочный многоугольникъ или—что одно и тоже—чтобы эти многоугольники не имѣли равнодѣйствующей.

Ко второму выражению условія равновѣсія надо прибавить, что силы не должны также имѣть и безконечно удаленной, безконечно малой равнодѣйствующей.

8. Силы, параллельные между собой. Определение центра тяжести произвольной площади. Примѣнѣе веревочнаго многоугольника оказывается очень выгоднымъ, если надо определить равнодѣйствующую силу P_1, P_2, P_3, P_4 , параллельныхъ между собою (фиг. 12 б). Въ этомъ случаѣ многоугольникъ силъ образуетъ прямую линию (фиг. 12 а); пусть точка O

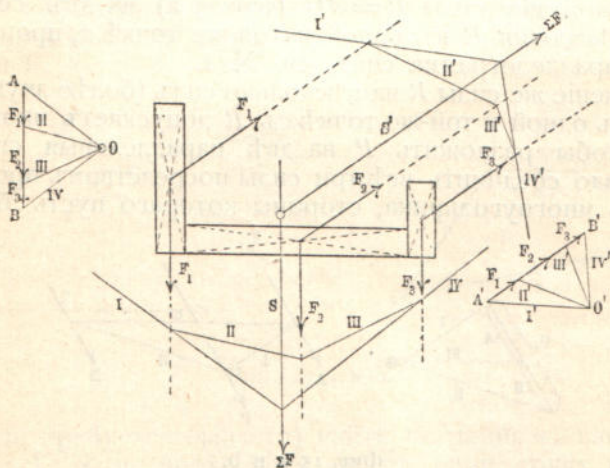


Фиг. 12 а и б.

будеть произвольно выбранный полюсъ. Черезъ точку пересѣченія крайнихъ сторонъ веревочнаго многоугольника I и V проходитъ равнодѣйствующая

$$R = P_1 + P_2 + P_3 + P_4 = \sum_{1}^4 P.$$

Веревочнымъ многоугольникомъ можно также воспользоваться для определенія графическимъ способомъ центра тяжести площади, которую можно раздѣлить на отдельныя части съ данными центрами тяжести.



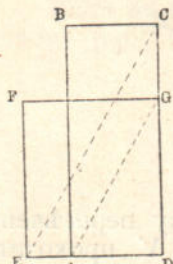
Фиг. 13.

Напримѣръ, для того чтобы найти центръ тяжести площади, представленной на фиг. 13 (изображающей поперечный разрѣзъ чу-

гунной балки), надо принять площади трехъ прямоугольниковъ F_1 , F_2 , F_3 , изъ которыхъ состоять данная площадь, за силы, параллельные между собою, которые дѣйствуютъ сперва по направлению AB , а, потомъ по направлению $A'B'$.

Затѣмъ надо опредѣлить для обоихъ случаевъ положеніе равнодѣйствующей ΣF . Такимъ образомъ опредѣляются двѣ оси S и S' , точка пересѣченія которыхъ даетъ искомый центръ тяжести.

Направленія AB и $A'B'$ совершенно произвольны. При построении многоугольника силъ на фиг. 13 величины площадей прямоугольниковъ изображены посредствомъ линій, которая относятся другъ къ другу какъ $F_1 : F_2 : F_3$; для удобства построенія превратимъ всѣ три площади въ прямоугольники съ равными основаніями, высоты которыхъ пропорціональны площадямъ F_1 , F_2 , F_3 .



Фиг. 14.

Напр., для того чтобы превратить прямоугольникъ $ABCD$, фиг. 14, въ прямоугольникъ съ основаніемъ $= DE$, проводятъ прямую линію CE , а потомъ $AG \parallel EC$. Тогда DG будетъ высотой прямоугольника, потому что $ED : CD = AG : GD$, откуда имѣмъ $ED \cdot GD = CD \cdot AD$.

Если требуется отыскать центръ тяжести криволинейной фигуры, то надо разбить ее на полосы по возможности одной ширины и настолько узкія, чтобы ихъ можно было съ достаточной точностью принять за прямоугольники, трапеции или треугольники.

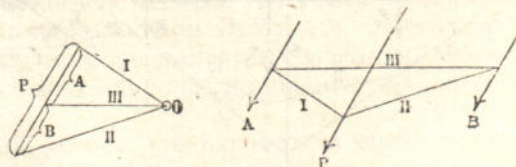
§ 2.

Разложеніе силъ на плоскости.

9. Разложеніе силы $R = \overline{AC}$ (фиг. 3 а) на двѣ составляющія силы, пересѣкающія R въ одной и той же точкѣ a , производится съ помощью параллелограмма силъ, см. № 1.

Разложеніе же силы R на нѣсколько силъ (болѣе двухъ), пересѣкающихся въ одной и той-же точкѣ съ R допускаетъ много рѣшений.

10. Чтобы разложить P на двѣ параллельныя силы A и B (фиг. 15), надо соединить всѣ три силы посредствомъ произвольнаго веревочного многоугольника, стороны котораго пусть будутъ I, II,



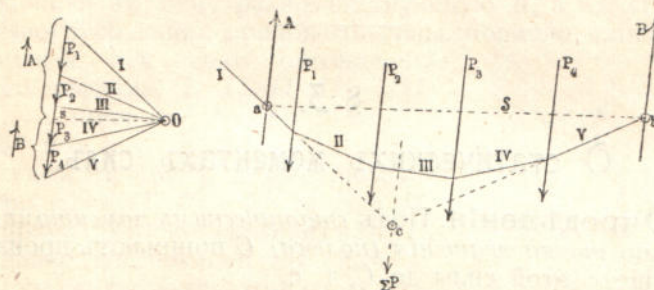
Фиг. 15 а и б.

III. Потомъ надо провести черезъ конечныя точки силы P линіи, параллельныя I и II, тогда въ точкѣ пересѣченія O находимъ полюсъ. Линія, параллельная сторонѣ III веревочного многоугольника, проведенная черезъ точку O разлагаетъ P на A и B . Для того чтобы

доказать это, надо соединить A и B съ помощью соответственного веревочного многоугольника въ одну равнодѣйствующую. Тогда найдемъ, что эта равнодѣйствующая $= A + B = P$ проходитъ че-резъ точку пересѣченія крайнихъ сторонъ веревочного многоугольника. См. № 8.

11. Такимъ-же образомъ рѣшается слѣдующая важная задача, а именно: найти двѣ параллельныя силы A и B (фиг. 16), имѣющія данное положеніе, которыя уравновѣшиваются параллельныя силы P_1, P_2, P_3, P_4 .

Силы P (фиг. 16 а) проводятся одна за другой, затѣмъ выбирается полюсъ O и строится веревочный многоугольникъ, у кото-

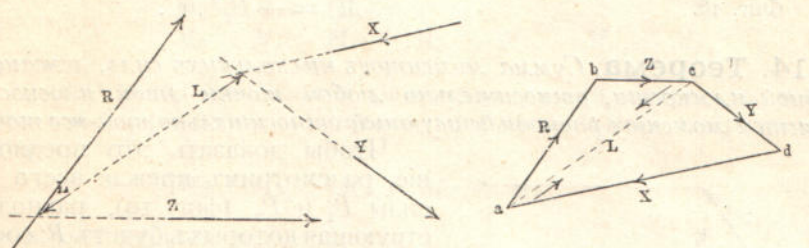


Фиг. 16 а и б.

раго крайнія стороны I и V (черезъ точку пересѣченія ихъ проходитъ равнодѣйствующая $R = \Sigma P$) пересѣкаютъ направления A и B въ точкахъ a и b .

Веревочный многоугольникъ замыкается линіей s , которая соединяетъ точки a и b ; затѣмъ черезъ полюсъ O проводимъ линію, параллельную s .

Эта линія разлагаетъ силу $R = \Sigma P$ на A и B . Верхняя часть $= A$, потому что эта сила находится въ точкѣ a въ равновѣсіи съ силами I и s веревочного многоугольника и образуетъ съ лучами I и s треугольникъ. Такжѣ доказывается, что B образуетъ треугольникъ съ s и V.



Фиг. 17 а и б.

12. Если требуется (фиг. 17) найти по даннымъ направленіямъ три силы X, Y, Z , не проходящія черезъ одну точку и уравновѣшивающія данную силу R , то надо довести до взаимнаго пересѣченія попарно силы R, X, Y, Z , напр. R и Z , а потомъ X и Y , и прибавить къ нимъ двѣ уравновѣшивающія другъ друга силы L , которыя совпадаютъ съ линіей, соединяющей обѣ точки пересѣченія.

Потомъ опредѣляютъ L и Z , изъ того условія, что силы R , L и Z уравновѣшиваются въ точкѣ пересѣченія (RZ) и что, поэтому, имъ долженъ соотвѣтствовать замкнутый треугольникъ abc , фиг. 17 б; а силы X и Y опредѣляютъ изъ того условія, что обѣ эти силы съ найденной силой L находятся въ равновѣсіи въ точкѣ ($X Y$).

Если требуется разложить данную силу на три силы X , Y и Z , положеніе которыхъ дано и которая не проходить черезъ одну точку, то выше найденные силы X , Y , Z надо замѣнить (фиг. 17 б) силами, равными, но противоположно направленными.

Разложеніе одной силы по четыремъ или болѣе направленіямъ въ одной плоскости допускаетъ безконечное количество решений.

§ 3.

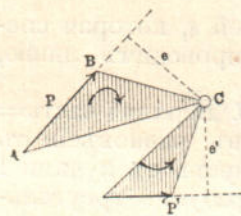
О статическихъ моментахъ силъ.

13. Опредѣленія. Подъ статическимъ моментомъ M силы P относительно точки вращенія (полюса) C понимаютъ произведеніе P на разстояніе e этой силы до C , т. е.

$$M = P \cdot e.$$

Въ геометрическомъ смыслѣ моментъ M равняется удвоенной площади треугольника ABC (фиг. 18), у котораго основаніе сила P , а вершина точка вращенія C . Направленіе вращенія этого треугольника обозначается течениемъ силы P .

Моменты силъ P и P' (фиг. 18) имѣютъ поэтому противоположныя направленія вращенія. Моментъ $M = P \cdot e$, имѣющій вращеніе слѣва направо (по направленію движенія часовой стрѣлки), считается положительнымъ; аналитическое выраженіе момента P_1 будетъ:

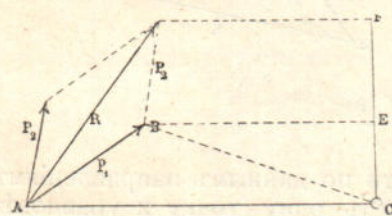


Фиг. 18.

$$M' = -P'_1 \cdot e'.$$

14. Теорема. Сумма моментовъ нѣсколькихъ силъ, лежащихъ въ одной плоскости, относительно любой точки этой плоскости, равняется моменту равнодействующей относительно той-же точки.

Чтобы доказать это предложеніе, разсмотримъ прежде всего двѣ силы P_1 и P_2 (фиг. 19), равнодѣйствующая которыхъ будетъ R ; соединимъ точку ихъ пересѣченія A съ точкою вращенія C прямую линіей и спроектируемъ силы P_1 , P_2 и R на линію CF , перпендикулярную къ AC . Пусть проекціи этихъ силъ будутъ $\overline{CE} = P'_1$, $\overline{EF} = P'_2$, $\overline{CF} = R'_1$, тогда моментъ силы P_1 :



Фиг. 19.

$$M_1 = 2 \Delta ABC = \overline{AC} \cdot P'_1,$$

моментъ силы P_2 :

$$M_2 = \overline{AC} \cdot P_2'$$

и моментъ силы R :

$$M = \overline{AC} \cdot R'.$$

Такъ какъ $R' = P_1' + P_2'$, то отсюда слѣдуетъ $M = M_1 + M_2$, что и требовалось доказать.

Чтобы примѣнить эту теорему къ силамъ, дѣйствующимъ на плоскости въ различныхъ направленихъ, напр., къ силамъ P_1, P_2, P_3, P_4 (фиг. 20 *), надо сложить эти силы при помощи веревочного многоугольника въ одну равнодѣйствующую R , а къ угламъ веревочного многоугольника приложить силы, попарно взаимно уравновѣшивающіяся; эти силы обозначены на фиг. 20 цифрами $I, I', II, II', III, III', \dots$, причемъ $I = I', II = II', III = III'$ и т. д.

Такъ какъ въ точкѣ A уравновѣщаются три силы II, I' и P_1 , то сила II , равная и прямо противоположная силѣ II' , будетъ равнодѣйствующей для силъ I' и P_1 , и поэтому моментъ этой силы равняется суммѣ моментовъ силъ I' и P_1 . Если же вообще моментъ какой нибудь силы Q будемъ обозначать буквой M_Q , то получимъ

$$M_{II'} = M_{I'} + M_{P_1},$$

а также

$$M_{III'} = M_{III'} + M_{P_2}$$

$$M_{IV'} = M_{IV'} + M_{P_3}$$

$$M_{V'} = M_{IV'} + M_{P_4} = M_{I'} + M_{P_1} + M_{P_2} + M_{P_3} + M_{P_4}.$$

Такъ какъ R есть равнодѣйствующая силъ V' и I , то отсюда слѣдуетъ, что

$$M_R = M_I + M_{V'}, \text{ т. е.}$$

$$M_R = M_I + M_{I'} + M_{P_1} + M_{P_2} + M_{P_3} + M_{P_4};$$

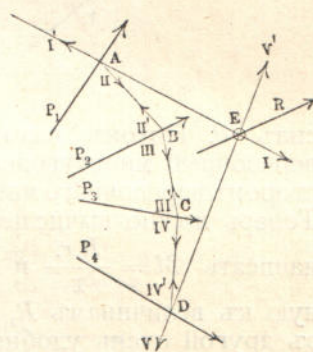
въ правой части послѣдняго равенства можно сократить моменты силъ I и I' , равныхъ, но прямо противоположно направленныхъ. Тогда

$$M_R = M_{P_1} + M_{P_2} + M_{P_3} + M_{P_4},$$

что и требовалось доказать.

Это доказательство можно распространить также и на произвольное число силъ.

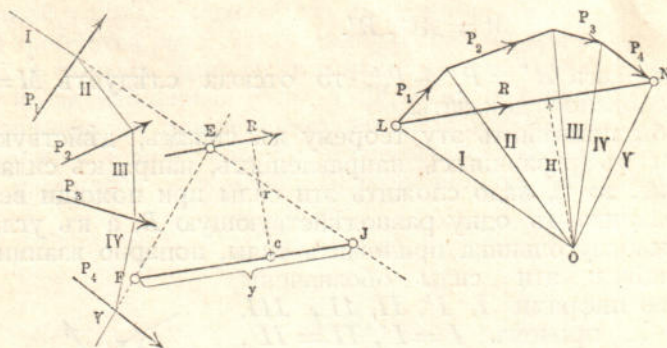
15. Определение статическихъ моментовъ произвольного числа силъ, дѣйствующихъ на одной и той-же плоскости. Чтобы получить моментъ силъ P_1, P_2, P_3, P_4 , относительно точки вращенія C , надо (фиг. 21) прежде всего оты-



Фиг. 20.

* Смотри также фиг. 21

скать равнодѣйствующую R , а для этого надо замкнуть многоугольникъ силъ P_1, P_2, P_3, P_4 линіей $\overline{LN} = R$ и снабдить эту линію стрѣлкой, направленія противоположнаго общему направленію стрѣлокъ



Фиг. 21 а и б.

силъ P . Потомъ надо взять произвольный полюсъ O и построить веревочный многоугольникъ; въ точкѣ пересѣченія E двухъ крайнихъ сторонъ веревочного многоугольника найдемъ одну изъ точекъ силы R . Теперь можно вычислить или построить $M = R \cdot r$. Для этого можно

написать $M = \frac{R \cdot r}{r}$ и построить M , какъ четвертую пропорціональную къ величинамъ R, r , т. Величину M можно представить еще и въ другой очень удобной формѣ. Если провести черезъ точку вращенія C линію, параллельную R , которая пересѣчеть стороны веревочного многоугольника I и V въ точкахъ J и F , и принять $\overline{FJ} = y$, то изъ подобія двухъ треугольниковъ EFJ и OLN (у которыхъ стороны соотвѣтственно параллельны) получимъ:

$$r:y = H:R,$$

гдѣ H означаетъ полюсное разстояніе силы R . Мы имѣемъ также, что $H \cdot y = R \cdot r$, откуда $M = H \cdot y$.

Отсюда вытекаетъ слѣдующая теорема:

Статический моментъ произвольного числа силъ, лежащихъ на плоскости, относительно точки, взятой на той же плоскости, равняется произведению изъ полюснаго разстоянія ихъ равнодѣйствующей R на отрѣзокъ, отсекаемый вѣнчими сторонами веревочного многоугольника на прямой, проведенной параллельно R , черезъ точку, относительно которой берется моментъ.

Знакъ момента опредѣляется направленіемъ вращенія. Моментъ силы R на фиг. 21 а будеть положительнымъ, такъ какъ вращеніе его происходитъ слѣва на право.

Чѣмъ ближе лежить C отъ R , тѣмъ менѣе дѣлается y и тѣмъ менѣе становится M . Если C совпадаетъ съ R , то $y = 0$. Если C находится выше R , то y надо считать отрицательнымъ и тогда получимъ отрицательный M . Этотъ способъ выраженія момента имѣть то преимущество, что при произвольномъ положеніи полюса полюсное разстояніе H можно выразить круглымъ числомъ. Если принять $H = 1$, то получимъ

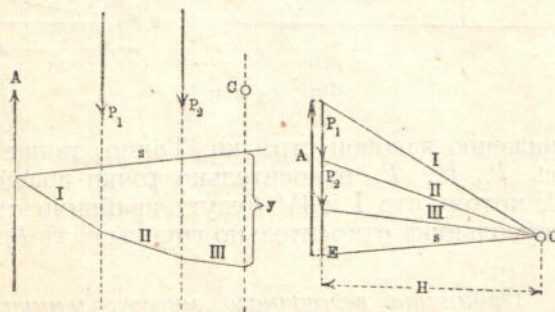
$$M = y.$$

Въ произведениі $R.r$ величина R выражается въ единицахъ силы (напр., въ килограммахъ), а r въ единицахъ длины (напр., въ метрахъ), при вычислениі же $H.y$ будетъ безразлично, выражено ли H въ масштабѣ силъ, а y въ линейномъ масштабѣ или наоборотъ.

Въ дальнѣйшемъ мы будемъ подразумѣвать подъ H силу.

16. Параллельные силы на плоскости. Теорема, высказанная въ № 15, находитъ себѣ примѣненіе при опредѣлении моментовъ параллельныхъ силъ.

Положимъ, напримѣръ, что надо отыскать моментъ параллельныхъ силъ A, P_1, P_2 , (фиг. 22) относительно точки вращенія C ; сложимъ эти силы въ послѣдовательномъ порядке A, P_1, P_2 и проведемъ изъ произвольного полюса лучи s , I, II и III. Лучъ s проходитъ черезъ начало, а лучъ III черезъ конецъ многоугольника силъ; кроме того на фиг. 22 а, где представленъ веревочный



Фиг. 22 а и б.

многоугольникъ, стороны s и III будутъ крайними; онъ отсѣкаютъ отрѣзокъ y на прямой линіи, проведенной черезъ точку C , параллельно равнодѣйствующей $A - P_1 - P_2$; этотъ отрѣзокъ, помноженный на полюсное разстояніе равнодѣйствующей, т. е. на величину перпендикуляра H , опущенного изъ полюса на многоугольникъ силъ, дастъ требуемый моментъ.

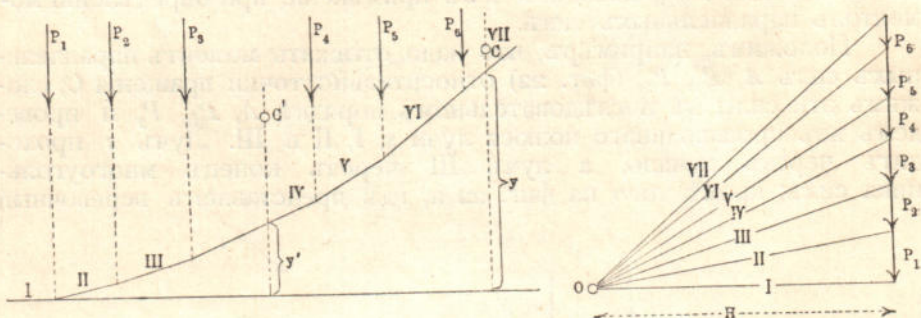
Моментъ $M = H.y$ будетъ положительнымъ, потому что, при $A > P_1 + P_2$, равнодѣйствующая $R = A - P_1 - P_2$ дѣйствуетъ въ томъ же направленіи, какъ A , а именно вверхъ; кроме того R лежитъ влѣво отъ точки вращенія C , потому что эта сила проходитъ черезъ точку пересѣченія продолженныхъ сторонъ веревочнаго многоугольника III и s . Отсюда слѣдуетъ, что моментъ силы R вращается слѣва направо.

17. Другая важная задача заключается въ слѣдующемъ: Даны параллельные силы $P_1, P_2, P_3, P_4, P_5, P_6$; требуется найти моментъ M этихъ силъ относительно точки вращенія C , и затѣмъ моментъ M' силъ P_1, P_2, P_3 относительно точки вращенія C' (фиг. 23).

Сложимъ силы другъ за другомъ въ такомъ порядке P_6, P_5, \dots, P_1 (фиг. 23 б) и выберемъ полюсъ на произвольномъ разстояніи H отъ многоугольника силъ, но такимъ образомъ, чтобы лучъ I былъ перпендикуленъ къ направленію силы P_1 .

Затѣмъ построимъ веревочный многоугольникъ и продолжимъ сторону I (фиг. 23 а). Проведемъ черезъ точку C линію, параллель-

ную равнодѣйствующей ΣP , измѣримъ отрѣзокъ y , отсѣченный на этой параллельной линіи ⁶ крайними сторонами многоугольника I и VII, тогда получимъ $M_c = -Hy$. Этотъ моментъ будетъ отрицательнымъ, потому что всѣ силы вращаются около C , по направлению,



Фиг. 23 а и б.

обратному движению часовой стрѣлки. Точно также найдемъ, что моментъ силъ P_1, P_2, P_3 относительно точки вращенія C' будетъ $M_{c'} = -H.y'$, потому что I и IV будутъ крайними сторонами веревочного многоугольника относительно группы силъ P_1, P_2, P_3 .

Итакъ:

Ордината веревочного многоугольника, построеннаго для параллельныхъ силъ, фиг. 23 а, взятая до той стороны I, которая проведена перпендикулярно къ направлению силъ, будетъ пропорциональна моменту силъ, лежащихъ впереди ординаты, относительно какой либо точки этой ординаты.

§ 4.

Сложеніе силъ въ пространствѣ ^{*)}.

18. Статические моменты и равнодѣйствующая параллельныхъ силъ. Пусть параллельные силы P_1, P_2, P_3, \dots пересѣкаются въ точкахъ A_1, A_2, A_3, \dots плоскостью, перпендикулярно къ направлению этихъ силъ (фиг. 24); пусть x_m и y_m (причёмъ m обозначаетъ произвольный номеръ) будутъ координатами точки A_m относительно косоугольныхъ координатныхъ осей, лежащихъ въ плоскости E ; произведенія $P_m x_m$ и $P_m y_m$ называются статическими моментами силы P_m относительно осей x и y .

Пусть ξ и η будутъ координаты точки S , въ которой плоскость E пересѣкается равнодѣйствующей $R = P_1 + P_2 + \dots = \Sigma F$; можно доказать, что

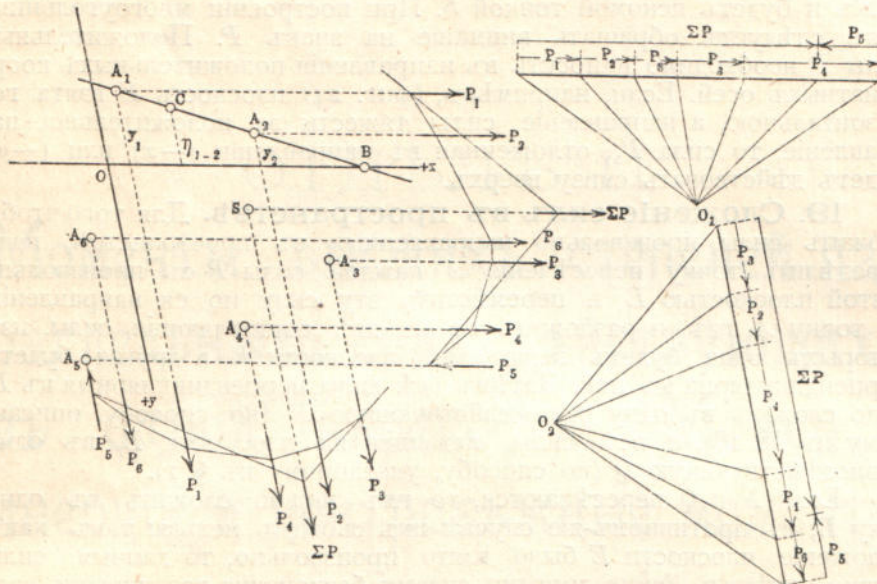
$$(1) \quad R\eta = P_1 y_1 + P_2 y_2 + P_3 y_3 + \dots = \Sigma Py \text{ и}$$

$$(2) \quad R\xi = P_1 x_1 + P_2 x_2 + P_3 x_3 + \dots = \Sigma Px,$$

^{*)} Подробная теорія силъ въ пространствѣ будетъ помѣщена въ 3 томѣ этого сочиненія.

т. е., что моментъ равнодѣйствующей R относительно какой нибудь оси равенъ суммѣ моментовъ всѣхъ силъ P .

Проведемъ черезъ P_1 и P_2 плоскость E' и соединимъ P_1 и P_2 въ равнодѣйствующую R_{1-2} , тогда по № 14 моментъ силы R_{1-2}



Фиг. 24.

относительно точки B , въ которой плоскость E' пересѣкаетъ ось x равенъ суммѣ моментовъ силъ P_1 и P_2 относительно той же точки. Значитъ, если R_{1-2} перестѣчь плоскость E въ точкѣ C , то

$$R_{1-2} \overline{CB} = P_1 \overline{A_1 B} + P_2 \overline{A_2 B},$$

а отсюда слѣдуетъ, что

$$R_{1-2} \eta_{1-2} = P_1 y_1 + P_2 y_2,$$

гдѣ η_{1-2} означаетъ ординату точки C ; получается это на основаніи того, что

$$\eta_{1-2} : y_2 = \overline{CB} : \overline{A_1 B} : \overline{A_2 B}.$$

Сложивъ теперь R_{1-2} съ P_3 въ R_{1-3} , потомъ R_{1-3} съ P_4 въ R_{1-4} и т. д., найдемъ

$$R_{1-3} \eta_{1-3} = R_{1-2} \eta_{1-2} + P_3 y_3 = P_1 y_1 + P_2 y_2 + P_3 y_3,$$

$$R_{1-4} \eta_{1-4} = P_1 y_1 + P_2 y_2 + P_3 y_3 + P_4 y_4,$$

и наконецъ получимъ равенство (1) и такимъ же образомъ равенство (2).

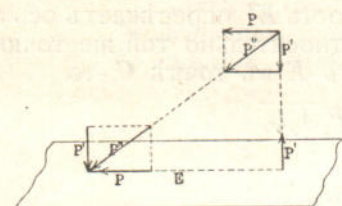
Изъ уравнений (1) и (2) можно получить значения координатъ точки S :

$$(3) \quad \eta = \frac{\Sigma Py}{\Sigma P} \text{ и } \xi = \frac{\Sigma Px}{\Sigma P}.$$

Для определения положения точки S графическим путемъ предположимъ, что силы P дѣйствуютъ въ плоскости E сперва параллельно оси x , а потомъ параллельно оси y , и затѣмъ съ помощью веревочнаго многоугольника находимъ положеніе изъ равнодѣйствующихъ ΣP (по № 8). Точка пересѣченія этихъ равнодѣйствующихъ и будетъ искомой точкой S . При построеніи многоугольника силъ слѣдуетъ обращать вниманіе на знакъ P . Положительный силы P необходимо наносить въ направлениі положительныхъ координатныхъ осей. Если, напримѣръ, (фиг. 24) плоскость E взята горизонтальна, а направление силы тяжести за положительное направление, то сила P_5 , отложенная въ направлениі $(-x)$ или $(-y)$, будетъ дѣйствовать снизу вверхъ.

19. Сложеніе силъ въ пространствѣ. Для того чтобы сложить силы, произвольно направленныя въ пространствѣ, надо определить точку пересѣченія A каждой силы P съ произвольно взятой плоскостью E и перемѣстить эту силу по ея направлению въ точку A , где и разложить ее на двѣ составляющія силы, изъ которыхъ одна будетъ лежать на плоскости E , а другая будетъ перпендикулярна къ ней. Затѣмъ всѣ силы, перпендикулярныя къ E , надо сложить въ одну равнодѣйствующую N (по способу, описанному въ № 18), а всѣ силы, лежащія на плоскости E , въ одну равнодѣйствующую Q (по способу, указанному въ § 1).

Если N и Q пересѣкаются, то ихъ можно сложить въ одну силу R ; въ противномъ же случаѣ ихъ сложить нельзя; такъ какъ положеніе плоскости E было взято произвольно, то данные силы можно замѣнить двумя другими силами безконечно различными способами.



Фиг. 25.

Положимъ, требуется разложить силу P , параллельную плоскости E , по заданному способу, причемъ мы не будемъ пользоваться безконечно удаленной прямой этой плоскости; прибавимъ двѣ другъ друга уравновѣшивающія силы P' , перпендикулярныя къ плоскости E , которая пересѣкаютъ силу P , затѣмъ сложимъ одну изъ этихъ силъ съ силою P и найдемъ ихъ равнодѣйствующую P'' ; эту равнодѣйствующую продолжимъ до пересѣченія съ плоскостью E и разложимъ ее потомъ опять на P и P' , фиг. 25.

ОТДѢЛЪ II.

Моменты высшихъ степеней параллельныхъ силъ, дѣйствующихъ въ одной плоскости. Моменты инерціи и центробѣжные моменты плоскихъ сѣченій.

§ 5.

Моменты высшихъ степеней параллельныхъ силъ.

20. Опредѣленіе моментовъ высшихъ степеней по способу Кульмана. Если P_1 , P_2 , $P_3 \dots$ (фиг. 26) будутъ параллельные силы, лежащія на одной и той-же плоскости (E) и x_1 , x_2 , $x_3 \dots$ разстоянія между ними и прямой LL , лежащей на той-же плоскости E , то сумму:

$$P_1x_1^n + P_2x_2^n + P_3x_3^n + \dots = \Sigma Px^n$$

называютъ *моментомъ n й степени силъ P относительно оси LL* .

Если $n=1$, то этотъ моментъ называется также *статическимъ моментомъ* силъ P (см. § 3), а если $n=2$ — то *моментомъ инерціи*; послѣдній моментъ будемъ обозначать всегда буквою J .

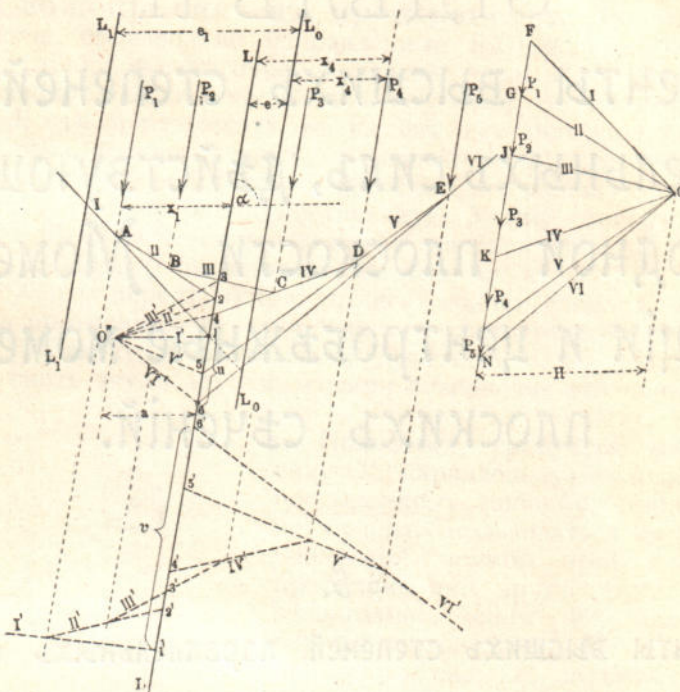
Если для какой нибудь силы P известна величина Px^{n-1} , то найдемъ, что $Px^n = (Px^{n-1})x$ равняется моменту первой степени величины Px^{n-1} относительно оси LL ; отсюда понятно, что для нахожденія величины ΣPx^n , надо опредѣлить рядъ статическихъ моментовъ:

$$\Sigma Px, \Sigma(Px)x, \Sigma(Px^2)x \dots \Sigma(Px^{n-1})x.$$

Пусть на фиг. 26 FN — многоугольникъ силъ и $ABC \dots$ веревочный многоугольникъ, построенный при произвольномъ полюсе O и стороны котораго пересѣкаютъ ось LL въ точкахъ 1, 2, 3, 4, 5, 6; тогда треугольники:

$$1A2, 2B3, 3C4 \dots,$$

образованные изъ оси LL и двухъ смежныхъ сторонъ веревочнаго



Фиг. 26.

многоугольника, будуть подобны соответствующимъ треугольникамъ силъ:

$$FOG, GOJ, JOK \dots,$$

изъ чего слѣдуетъ, что, когда H равняется полосному разстоянію, измѣренному по направлению x , то

$$x_1 : \overline{12} = H : P_1; \quad x_2 : \overline{23} = H : P_2 \text{ и т. д.}$$

Отсюда

$$P_1 x_1 = H \cdot \overline{12}; \quad P_2 x_2 = H \cdot \overline{23} \text{ и т. д.}$$

и затѣмъ:

$$\Sigma P x = H (\overline{12} + \overline{23} + \overline{34} \dots),$$

причемъ отдельные отрезки 12, 23, 34 , надо складывать, принимая во вниманіе ихъ знаки; эти знаки при силахъ, дѣйствующихъ въ одинаковыхъ (положительныхъ) направлениихъ, будутъ совпадать со знаками соответствующихъ x .

Если крайнія стороны веревочного многоугольника отсекаются на оси LL отрезокъ $\overline{16} = u$, то, не принимая во вниманіе знакъ:

$$\Sigma Px = H.u.$$

Для фиг. 26, гдѣ x^y , лежащіе вправо отъ оси LL , были прияты за положительные, ΣPx будетъ положительная, потому что сумма положительныхъ отрезковъ 34, 45, 56, больше суммы отрицательныхъ отрезковъ 12, 23.

Если теперь отрезки 12, 23, 34 . . . разсматривать, какъ силы, дѣйствующія въ направлении силъ $P_1, P_2, P_3 \dots$, и для этихъ силъ построить веревочный многоугольникъ $I', II', III' \dots$ при произвольно взятомъ полюсе O' стороны котораго пересекутъ ось LL въ точкахъ 1', 2', 3' , и если положить второе полюсное разстояніе, параллельное направлению x , равнымъ a , то подобно тому какъ и раньше, получимъ:

$$x_1 : \overline{1'2'} = a : \overline{12}; \quad x_2 : \overline{2'3'} = a : \overline{23}; \text{ и т. д.}$$

$$\text{откуда } P_1 x_1^2 = Ha(1'2'); \quad P_2 x_2^2 = Ha(\overline{2'3'}) \text{ и т. д.,}$$

$$\text{причмъ } \left(\overline{12} = \frac{P_1 x_1}{H}, \quad \overline{23} = \frac{P_2 x_2}{H}, \quad \dots \right);$$

наконецъ получимъ:

$$J = \Sigma Px^2 = Ha(\overline{1'2'} + \overline{2'3'} + \overline{3'4'} + \dots) = H.a.v,$$

гдѣ v обозначаетъ отрезокъ, отсекаемый на оси LL крайними сторонами втораго веревочного многоугольника, считаемый всегда положительнымъ, если только всѣ силы будутъ дѣйствовать въ положительномъ направлении. Когда H измѣряется по масштабу силъ, то a и v представляютъ изъ себя линейныя величины.

Теперь уже легко опредѣлить моментъ какой угодно степени. Положимъ, требуется опредѣлить ΣPx^3 ; примемъ отрезки $\overline{1'2'}, \overline{2'3'}, \overline{3'4'} \dots$ (обращая вниманіе на ихъ знаки) за величины параллельныхъ силъ, замѣняющихъ данныя силы P , построимъ для нихъ веревочный многоугольникъ при произвольномъ полюсномъ разстояніи b , и опредѣлимъ отрезокъ w , отсекаемый на оси LL крайними сторонами многоугольника; тогда найдемъ (не обращая вниманія на знакъ):

$$\Sigma Px^3 = H.a.b.w.$$

Чтобы найти ΣPx^n , надо начертить n веревочныхъ многоугольниковъ. Всѣ полюсныя разстоянія надо измѣрять въ направлении x .

21. Опредѣленіе J по способу Мора. Кромѣ статическихъ моментовъ статика сооружений имѣеть еще дѣло главнымъ образомъ съ моментами инерціи. Опредѣленіе послѣднихъ произ-

водится также съ помощью первого веревочнаго многоугольника (I, II, III) (фиг. 26).

Площадь $\tilde{\delta}$, заключающаяся между этимъ многоугольникомъ, крайними его сторонами (I и VI) и осью LL , т. е. площадь (т. $A B C D E$ с 1), будеть равна

$$\begin{aligned}\tilde{\delta} &= \Delta_1 A_2 + \Delta_2 B_3 + \Delta_3 C_4 + \dots \\ &= \frac{1}{2} \operatorname{Sin} \alpha (x_1 \overline{12} + x_2 \overline{23} + x_3 \overline{34} + \dots) \\ &= \frac{\operatorname{Sin} \alpha}{2H} (P_1 x_1^2 + P_2 x_2^2 + P_3 x_3^2 + \dots) = \frac{\operatorname{Sin} \alpha}{2H} \Sigma P x^2,\end{aligned}$$

гдѣ α обозначаетъ уголъ, образуемый направлениемъ линій P и x ; отсюда получимъ:

$$(1) \quad J = P x^2 = \frac{2 \tilde{\delta} H}{\operatorname{Sin} \alpha}.$$

22. Зависимость между двумя моментами инерціи относительно двухъ параллельныхъ между собой осей. Если силы $P_1, P_2, P_3 \dots$ (фиг. 26) находятся на разстояніяхъ $x_1', x_2', x_3' \dots$ отъ оси $L_0 L_0$, которая совпадаетъ съ ихъ равнодѣйствующей ΣP , проходящей черезъ точку пересѣченія крайнихъ сторонъ I и VI веревочнаго многоугольника, то моментъ инерціи относительно оси $L_0 L_0$ будеть

$$J_0 = \Sigma P x'^2,$$

а статическій моментъ относительно оси $L_0 L_0$:

$$\Sigma P x' = 0.$$

Обозначимъ буквой e разстояніе между осями LL и $L_0 L_0$ и положимъ $x = x' + e$, тогда получимъ

$$J = \Sigma P x^2 = \Sigma P (x' + e)^2 = \Sigma P x'^2 + 2e \Sigma P x' + e^2 \Sigma P,$$

откуда слѣдуетъ:

$$(2) \quad J = J_0 + e^2 \Sigma P.$$

Точно также получимъ, что для оси $L_1 L_1$, параллельной $L_0 L_0$, разстояніе между которыми равняется e_1 :

$$J_1 = J_0 + e_1^2 \Sigma P,$$

откуда вытекаетъ слѣдующая зависимость:

$$(3) \quad J_1 - J = (e_1^2 - e^2) \Sigma P.$$

§ 6.

Моменты инерции плоских съченій.

23. Опредѣленія. Теорія моментовъ второй степени находитъ себѣ примѣненіе при изслѣдованіи сопротивленій изгибающихся прямыхъ брусьевъ. Если отнести поперечное сѣченіе такого бруса къ координатнымъ осямъ x, y (обыкновенно прямоугольнымъ) (фиг. 37) и обозначить безконечно малый элементъ площади такого сѣченія черезъ dF , то интегралы, распространенные на всю площадь:

$$J_x = \int y^2 dF; \quad J_y = \int x^2 dF; \quad Z_{xy} = \int xy dF$$

называются моментами второй степени поперечного сжатия:

J_x называется моментом инерции относительно оси x
 J_y " центробольжным моментом." " y

Напряженія при изгибѣ прямыхъ брусьевъ могутъ быть выражены въ видѣ функций трехъ интеграловъ J_x , J_y , Z_{xy} , поэтому болѣе подробное изученіе этихъ величинъ имѣть въ статикѣ сооруженій большое значеніе. Сперва займемся определеніемъ моментовъ инерціи.

24. Определение момента инерции неправильныхъ фигуръ по способу Кульмана. Моментъ инерціи $J_x = \int y^2 dF$ не зависитъ отъ абсциссъ x элементовъ поперечного сечения, а потому подъ выражениемъ dF можно подразумѣвать площадь безконечно узкой полоски, параллельной оси x (см. фиг. 31 и 32).

При графическомъ определеніи J приходится замѣнять эти безконечно узкія полоски полосками конечной ширины (фиг. 27). Пусть F_1, F_2, F_3, \dots , будуть ихъ площади и y_1, y_2, y_3, \dots разстояния ихъ центровъ тяжести отъ оси x ; тогда найдемъ съ известнымъ приближеніемъ:

$$J_x = F_1 y_1^2 + F_2 y_2^2 + F_3 y_3^2 + \dots = \Sigma F y^2.$$

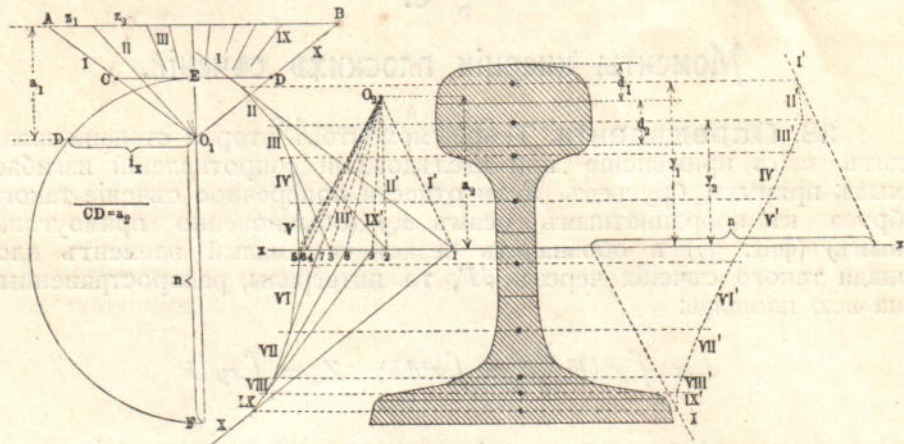
Если всѣ полоски, въ большинствѣ случаевъ разной ширины d_1, d_2, d_3, \dots , превратить въ прямоугольники съ одинаковымъ основаніемъ a и съ высотами z_1, z_2, z_3, \dots , то найдемъ:

$$F_1 = az_1; F_2 = az_2; F_3 = az_3, \dots$$

а также

$$J_x = a \Sigma y^2 z$$

Примемъ теперь высоты z за силы, приложенные къ центрамъ тяжести полосокъ и дѣйствующія параллельно оси x , и опредѣлимъ по способу, указанному въ № 20, моментъ второй степени этихъ



Фиг. 27.

силъ относительно оси x , (на фиг. 27 эта ось проходитъ черезъ центръ тяжести поперечнаго сѣченія); обозначимъ буквами:

- a_1 — [полюсное разстояніе первого веревочн. многоугольн. (I, II, \dots)
- a_2 — " " втораго " " (I', II', \dots)
- n — отрѣзокъ, отсѣченный на оси x крайними сторонами веревочнаго многоугольника, тогда получимъ:

$$\Sigma y^2 z = a_1 a_2 n$$

и затѣмъ:

$$J_x = a_1 a_2 n$$

отрѣзки a, a_1, a_2, n , надо измѣрять по линейному масштабу. Для a, a_1, a_2 , надо выбирать величины, выражающіяся въ цѣлыхъ числахъ

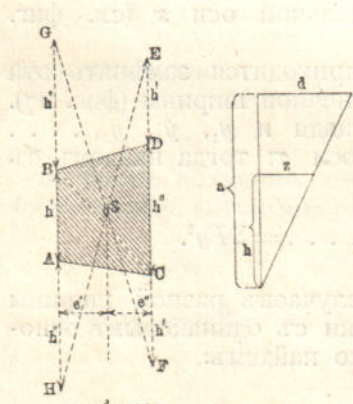
Отдѣльные полоски, на которыя разбито данное сѣченіе, можно принять за трапеціи. Если средняя высота трапеціи $= h$, ширина $= d$, то величина ея площади $F = hd$, а изъ равенства $F = az$ получимъ:

$$z = \frac{hd}{a}.$$

Эту величину можно опредѣлить графически (фиг. 29). Для определенія центра тяжести S (фиг. 28) откладываемъ на продолженіяхъ параллельныхъ сторонъ h', h'' отрѣзки:

$$\begin{aligned} DE &= CF = AB = h' \\ BG &= AH = CD = h'' \end{aligned}$$

и соединяемъ G съ F и E съ H прямymi линіями, которыя пересѣкутся въ точкѣ S . Разбьемъ трапецию на два треугольника, площади которыхъ $\frac{h'd}{2}$ и $\frac{h''d}{2}$, тогда статическій моментъ



Фиг. 28 и 29.

трапециі относительно стороны h' будетъ:

$$M = \frac{h'd}{2} \cdot \frac{d}{3} + \frac{h''d}{2} \cdot \frac{2d}{3} = \frac{h' + 2h''}{6} d^2;$$

но съ другой стороны мы получимъ

$$M = \frac{h' + h''}{2} de',$$

гдѣ e' есть длина перпендикуляра, опущенного изъ S на h' . Отсюда выводимъ

$$\frac{e'}{d} = \frac{h' + 2h''}{3(h' + h'')}, \text{ а также } \frac{e''}{d} = \frac{h'' + 2h'}{3(h' + h'')}$$

и окончательно

$$\frac{e'}{e''} = \frac{h' + 2h''}{h'' + 2h'},$$

а это равенство удовлетворяетъ найденному на фиг. 28 положенію точки S .

25. Радіусъ інерціи.

Если написать равенство

$$i_x^2 = \frac{J_x}{F},$$

тдѣ F — величина площиади поперечнаго сѣченія, то линейную величину i_x называютъ *радіусомъ інерції* поперечнаго сѣченія относительно оси x . Если представить J_x (по способу, выведенному въ № 24) въ формѣ aa_1a_2n и положить $F = a\Sigma z$, то получимъ

$$i_x^2 = \frac{a_1 a_2 n}{\Sigma z}.$$

Для определенія этой величины отложимъ между вѣшними лучами I и II первого многоугольника силъ отрезокъ $CD = a_2$, параллельный линіи $AB = \Sigma x$ (фиг. 27), проведемъ $E O_1 F \perp CD$, отложимъ $O_1 F = n$ и въ точкѣ O_1 возставимъ перпендикуляръ, который пересѣчетъ въ точкѣ D окружность, построенную на EF , какъ на диаметрѣ.

Тогда получимъ

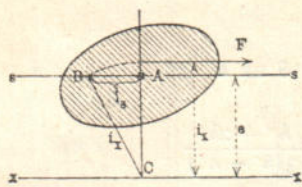
$$\overline{O_1 E} = a_1 \frac{a_2}{\Sigma z},$$

$$\overline{O_1 D^2} = \overline{O_1 E \cdot O_1 F} = \frac{a_1 a_2 n}{\Sigma z} \text{ и}$$

наконецъ: $\overline{O_1 D} = i_x$ *).

*). Если опредѣляется только i_x (не J_x), то принимаютъ $a_1 = \frac{I}{2} \Sigma z$. Тогда $i_x = \sqrt{\frac{a_2}{2} n}$ получится, какъ средняя пропорціональная къ $\frac{I}{2} a_2$ и n .

26. Опредѣленіе момента инерціи такого съченія, которое состоитъ изъ частей съ известными радиусами инерціи. Пусть на фиг. 30: ss ось, проходящая черезъ центръ тяжести съченія, площадь котораго F ; xx — ось, проведенная параллельно ss на разстояніи e и J_x — моментъ инерціи съченія относительно оси ss . Тогда относительно оси xx будемъ имѣть (по уравн. 2, № 22):



Фиг. 30.

$$(1) \quad J_x = J_s + Fe^2,$$

а подставивъ $J_s = F i_s^2$, получимъ

$$J_x = F (i_s^2 + e^2).$$

Отложимъ на прямой ss отъ какой нибудь точки A отрѣзокъ $AB = i_s$, проведемъ $AC \perp xx$ и соединимъ точки C и B прямую, которая опредѣлитъ величину

$$(2) \quad i_x = \sqrt{i_s^2 + e^2};$$

кромѣ того получимъ

$$J_x = Fi_x^2.$$

Поэтому на величину J_x можно смотрѣть, какъ на моментъ втораго порядка относительно оси xx той силы F , которая дѣйствуетъ параллельно xx на разстояніи отъ нея $= i_x$.

i_x будетъ радиусомъ инерціи съченія относительно оси xx .

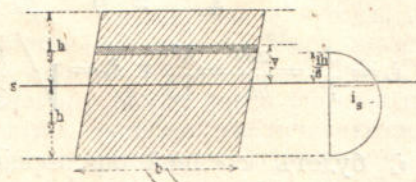
Если удастся разбить съченіе F на такія части, радиусы инерціи которыхъ i_s известны, то мы будемъ въ состояніи найти радиусъ инерціи i_x всего съченія; величину J_x получимъ тогда въ формѣ:

$$J_x = \Sigma Fi_x^2.$$

Желая устранить ошибки, которые получаются при опредѣленіи J_x (фиг. 27), когда съченіе разбивается на полоски конечной ширины, мы должны разстоянія y_1, y_2, \dots центровъ тяжести отдельныхъ полосокъ замѣнить радиусами инерціи i_x , взятыми относительно оси xx (это бываетъ необходимымъ только при полоскахъ относительно широкихъ).

Фигуры, ограниченные прямymi линіями, можно всегда разбить на параллелограммы и треугольники, одна изъ сторонъ которыхъ будетъ параллельна той оси, относительно которой берутся радиусы инерціи; криволинейныя же фигуры можно замѣнить всегда съ достаточною точностью прямолинейными. Поэтому достаточно опредѣлить радиусъ инерціи i_s для параллелограмма и треугольника относительно оси, проходящей черезъ центръ тяжести параллельно одной изъ сторонъ.

a. Параллелограммъ. Пусть b — основа́ніе, h — высота (фиг. 31); относительно оси, проходящей черезъ центръ тяжести параллельно сторонѣ b , получимъ:



Фиг. 31.

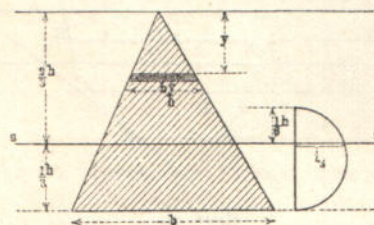
$$J_s = \int_{-\frac{1}{2}h}^{+\frac{1}{2}h} y^2 dF = 2 \int_0^{\frac{1}{2}h} y^2 b dy = \frac{bh^3}{12} \text{ и}$$

$$i_s^2 = \frac{J_s}{F} = \frac{J_s}{bh} = \frac{h^2}{12}, \text{ откуда } i_s = \sqrt{\frac{h}{2} \cdot \frac{h}{6}}.$$

Слѣдовательно, величина i_s будетъ средней пропорціональной между $\frac{h}{2}$ и $\frac{h}{6}$; ее можно найти по извѣстному правилу графически, фиг. 31, построивъ на отрѣзкѣ $\frac{h}{2} + \frac{h}{6}$, какъ на діаметрѣ, окружность.

b. Треугольникъ, фиг. 32. Сначала найдемъ моментъ инерціи относительно оси, проходящей черезъ вершину и параллельной основанию b :

$$J = \int_0^h y^2 dF = \int_0^h y^2 \frac{by}{h} dy = \frac{bh^3}{4},$$



а отсюда, при помощи уравн. 2, № 22, найдемъ моментъ инерціи

*) Относительно оси, совпадающей съ b , получимъ $J = \frac{bh^3}{3}$.

относительно оси, проходящей черезъ центръ тяжести и параллельной сторонѣ b :

$$J_s = J - F \left(\frac{2h}{3} \right)^2 = \frac{bh^3}{4} - \frac{bh}{2} \frac{4h^2}{9} = \frac{bh^3}{36};$$

поэтому: $i_s = \frac{J_s}{F} = \frac{2J_s}{bh} = \frac{h^2}{18}$ и $i_s = \sqrt{\frac{h}{3} \cdot \frac{h}{6}}$.

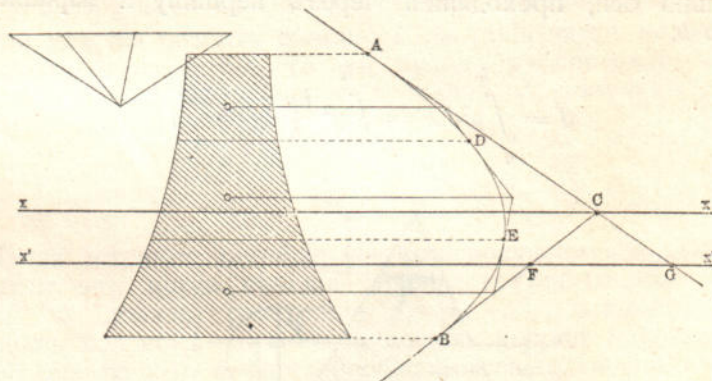
Слѣдовательно i_s будетъ средней пропорціональной между $\frac{h}{3}$ и $\frac{h}{6}$.

Эти результаты могутъ быть примѣнены главнымъ образомъ къ опредѣленію моментовъ инерціи *фигуръ, ограниченныхъ прямыми линіями*.

27. Способъ Мора. Для нахожденія момента инерціи J относительно оси xx съченія, изображенаго на фиг. 27, помошью веревочного многоугольника (I, II, III . . .), опредѣляемъ величину площади \mathfrak{F} , образуемой веревочнымъ многоугольникомъ и двумя вѣнчными боками его. Тогда получимъ (по № 21):

$$\Sigma zy^2 = 2 \mathfrak{F} a_1 \text{ *)} \text{ и приблизительно } J = \Sigma az y^2 = 2 aa_1 \mathfrak{F}.$$

Чѣмъ менѣе ширина полосокъ, тѣмъ точнѣе опредѣленіе J . При безконечно узкихъ полоскахъ веревочный многоугольникъ обращается въ кривую линію—*цилинную линію*, которая касается боковъ вычерченаго веревочного многоугольника въ точкахъ пересѣченія его съ линіями раздѣла съченія на полоски. Потому что, если въ точкахъ A, D, E, B (фиг. 33), въ которыхъ цѣпная линія



Фиг. 33.

пересекаетъ хорды съченія, параллельныя оси— x , провести касательные къ цѣпной линіи, то каждая двѣ рядомъ находящіяся касательные будутъ служить крайними боками веревочного многоугольника для полосокъ съченія, лежащихъ между ихъ точками касанія; по-

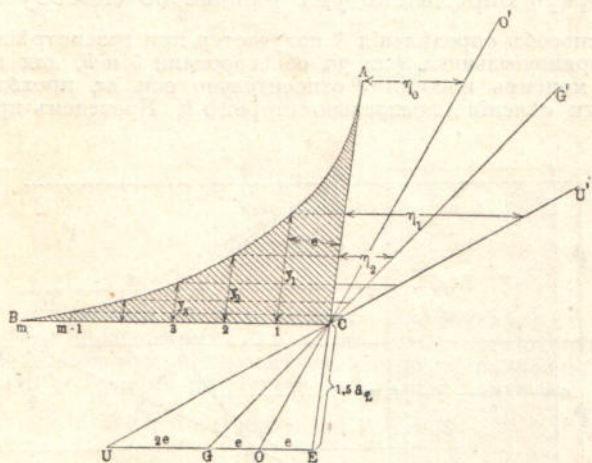
*) Въ уравн. (1), стр. 32, надо положить $a = 90^\circ$ и $H = a_1$.

этому эти касательные должны пересекаться на линии, параллельной оси x и проходящей через центр тяжести каждой полоски, и образовать веревочный многоугольник, описанный около цепной линии.

Въ большинствѣ случаевъ незначительное число касательныхъ и точекъ касания даётъ возможность построить достаточно точно цепную линию; такъ что ширина полосокъ, на которыхъ разбивается съченіе, при примѣненіи способа Мора можетъ быть крупнѣе, чѣмъ при примѣненіи способа Кульмана. Ошибки, могущія быть при определеніи J по способу Мора, когда ширина полосокъ берется крупной, легко замѣтны; ошибки увеличиваются съ увеличеніемъ площади между веревочнымъ многоугольникомъ и цепною линіей.

Величину площади δ , входящей въ уравнение $J = 2aa_1\delta$, проще всего опредѣлить по правилу Симпсона. Для этой цѣли разбиваются площадь ABC (фиг. 34), заключенную между цепной линіей AB и ея крайними касательными AC и BC , на четное число (m) равныхъ по ширинѣ полосокъ; линіи раздѣла проводятся параллельно одной изъ касательныхъ (напр. AC); обозначимъ длину этихъ линий черезъ $y_1, y_2, y_3 \dots$. Ширина полосокъ (по перпендикуляру къ ординатамъ y) обозначимъ буквой e , а длину \overline{AC} черезъ y_o , тогда получимъ:

$$\delta = \frac{e}{3} (y_o + 4y_1 + 2y_2 + 4y_3 + \dots + 4y_{m-1}).$$



Фиг. 34.

Затѣмъ найдемъ (подобно тому, какъ это было сдѣлано въ № 24, стр. 34):

$$J = aa_1 a_2 n, \text{ гдѣ}$$

$$n = \frac{e}{1.5 a_2} (y_o + 4y_1 + 2y_2 + 4y_3 + \dots + 4y_{m-1}).$$

Для определенія отрѣзка n чертежемъ продолжимъ AC отъ C внизъ и отложимъ $\overline{CE} = 1.5 a_2$ (гдѣ a_2 можетъ быть выбрано про-

извольнымъ); черезъ E проводимъ прямую, параллельную CB , откладываемъ на ней $\overline{EO} = e$, $\overline{EG} = 2e$, $\overline{EU} = 4e$ и наконецъ проводимъ прямая OCO' , GCG' , UCU' . Конечныя точки ординатъ y_1, y_3, \dots, y_{m-1} съ нечетнымъ указателемъ и прямая CA и UU' дадуть отрѣзки:

$$\eta_1 = \frac{4e}{1,5a_2} y_1; \eta_3 = \frac{4e}{1,5a_2} y_3; \dots; \text{затѣмъ ординаты съ четнымъ}$$

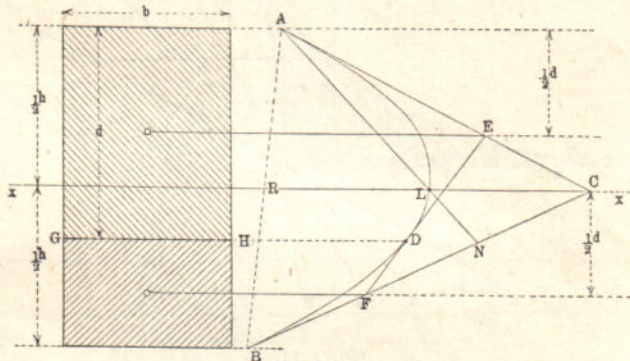
$$\text{указателемъ и прямая } GG' \text{ дадуть отрѣзки: } \eta_2 = \frac{2e}{1,5a_2} y_2; \eta_4 = \frac{e}{1,5a_2} y_4; \dots; \text{наконецъ, съ помощью прямой } OO' \text{ найдемъ}$$

отрѣзокъ $\eta_0 = \frac{e}{1,5a_2} y_0$. Теперь остается сложить (при помощи циркуля) всѣ отрѣзки η ; тогда получимъ:

$$n = \Sigma \eta.$$

Если требуется опредѣлить моментъ инерціи J' съченія относительно оси $x'x'$, параллельной оси xx (фиг. 33), то къ вышеопредѣленной площади δ надо прибавить площадь треугольника CFG , ограниченного осью $x'x'$ и крайними касательными къ цѣпной линіи. Обративъ этотъ треугольникъ въ другой, ему равновеликій, основаніе котораго $= a_2$, а высота h , получимъ выраженіе: $J' = aa_1 a_2 (h + n)$. Этотъ способъ опредѣленія J' рекомендуется также тогда, когда $J = aa_1 a_2 n$ опредѣлено уже раньше по способу Кульмана.

Другой способъ опредѣленія δ получается при разсмотрѣніи цѣпной линіи ALB для прямоугольника, фиг. 35, со сторонами b и h , для котораго требуется найти моментъ инерціи J относительно оси xx , проходящей черезъ центръ тяжести съченія параллельно сторонѣ b . Проведемъ прямую GH па-



Фиг. 35.

раллельно xx до пересѣченія съ цѣпной линіей въ точкѣ D и затѣмъ въ точкѣ L построимъ касательную, пересѣкающую крайніе бока веревочнаго многоугольника AC и BC въ точкахъ E и F . Точки E и F должны лежать на линіяхъ, параллельныхъ оси xx и проходящихъ черезъ центры тяжести обѣихъ частей прямоугольника, раздѣленного линіей GH . Поэтому получимъ, фиг. 35:

$$\overline{AE} : \overline{AC} = \frac{1}{2} d : \frac{1}{2} h = \overline{CF} : \overline{CB},$$

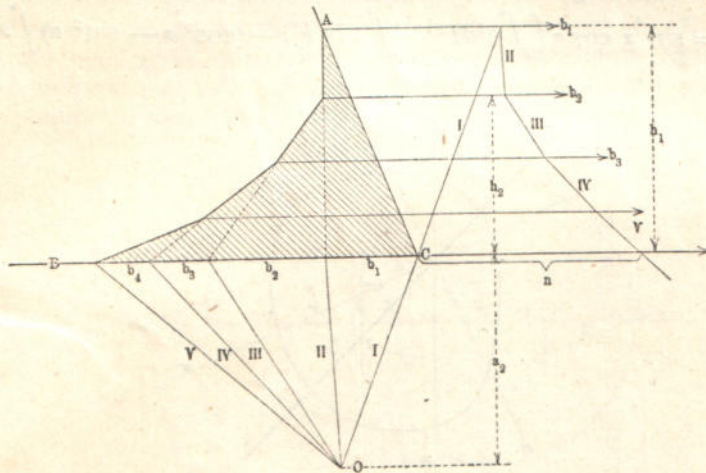
а отсюда слѣдуетъ, по извѣстному геометрическому закону, что цѣпная линія ALB будетъ параболой, дѣлящей отрѣзокъ RC въ точкѣ L пополамъ. Ве-

личина площади, заключенной между параболой ALB и прямыми AC и CB равняется $\frac{1}{6} h \bar{RC} = \frac{1}{3} \Delta ABC$; поэтому, отложивъ $\bar{CN} = \frac{1}{3} \bar{CB}$ и проведя прямую AN , получимъ:

параболический треугольникъ $ALBCA = \Delta ANC$.

При определеніи значенія δ для произвольнаго съченія можно съ доста-
точной точностью принять всѣ части площади между цѣпной линіей и веревочными многоугольникомъ за параболические треугольники и обратить ихъ въ равновеликіе имъ прямолинейныхъ треугольники. Тогда задача объ опредѣле-
ніи δ сводится къ слѣдующей: найти величину такой площади δ , которая,
какъ показано на фиг. 3б, ограничена прямыми линіями. Разобъемъ эту пло-
щадь на рядъ треугольниковъ съ основаніями $b_1, b_2, b_3 \dots$ и высотами
 h_1, h_2, h_3, \dots , и тогда найдемъ:

$$2\delta = b_1h_1 + b_2h_2 + b_3h_3 + \dots = \Sigma bh;$$

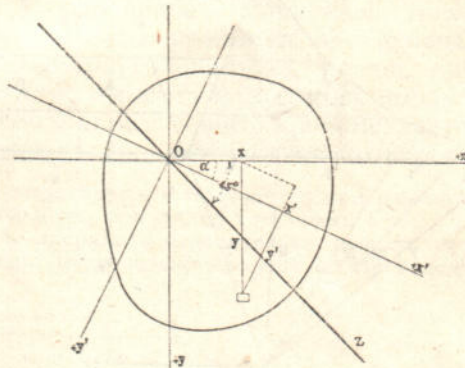


въ положеніе x', y' ; новыя координаты выражаются по отношенію къ старымъ слѣдующими равенствами:

$$\begin{aligned}y' &= y \cos \alpha - x \sin \alpha, \\x' &= y \sin \alpha + x \cos \alpha,\end{aligned}$$

а для моментовъ инерціи съченія: $J_{x'} = \int y'^2 dF$; $J_{y'} = \int x'^2 dF$; $Z_{x'y'} = \int x' y' dF$ относительно новой системы координатныхъ осей x', y' получимъ выраженія:

$$\begin{aligned}J_{x'} &= \cos^2 \alpha \int y^2 dF + \sin^2 \alpha \int x^2 dF - 2 \sin \alpha \cos \alpha \int xy dF, \\J_{y'} &= \sin^2 \alpha \int y^2 dF + \cos^2 \alpha \int x^2 dF + 2 \sin \alpha \cos \alpha \int xy dF, \\Z_{x'y'} &= \sin \alpha \cos \alpha (\int y^2 dF - \int x^2 dF) + (\cos^2 \alpha - \sin^2 \alpha) \int xy dF\end{aligned}$$



Фиг. 37.

Такимъ образомъ между значеніями

$$J_x = \int y^2 dF; J_y = \int x^2 dF; Z_{xy} = \int xy dF,$$

взятыми относительно осей x , y , и значеніями $J_{x'}$, $J_{y'}$, $Z_{x'y'}$ существуетъ зависимость такого рода:

$$(1) \quad \begin{cases} J_{x'} = J_x \cos^2 \alpha + J_y \sin^2 \alpha - Z_{xy} \sin 2\alpha, \\ J_{y'} = J_x \sin^2 \alpha + J_y \cos^2 \alpha + Z_{xy} \sin 2\alpha, \\ Z_{x'y'} = \frac{1}{2}(J_x - J_y) \sin 2\alpha + Z_{xy} \cos 2\alpha \end{cases}$$

Сложивъ два первыхъ уравненія, получимъ важное равенство:

$$(2) \quad J_{x'} + J_{y'} = J_x + J_y,$$

на основаніи котораго заключаемъ, что сумма моментовъ инерціи, взятыхъ относительно какихъ либо прямоугольныхъ осей, проходящихъ черезъ одну и ту же точку, будетъ постоянна.

Изъ первого уравненія (1) можно получить слѣдующее выражение для момента инерціи относительно оси z , наклоненной къ оси x подъ угломъ въ 45° , фиг. 37:

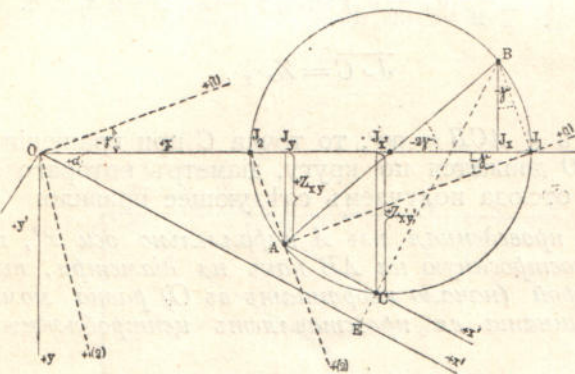
$$J_z = \frac{I}{2} (J_x + J_y) - Z_{xy},$$

а отсюда уже получается формула

$$(3) \quad Z_{xy} = \frac{I}{2} (J_x + J_y) - J_z,$$

помощью которой определеніе центробѣжного момента сводится къ определенію моментовъ инерціи относительно каждой изъ осей.

Теперь предположимъ, что моменты инерціи J_x , J_y , Z_{xy} относительно осей (x, y) даны, и постараемся определить графически моменты инерціи J_x' , J_y' , $Z_{x'y'}$ относительно осей (x', y') , проходящихъ черезъ тоже начало.



Фиг. 38.

Изображая моменты J и Z прямymi линіями, отложимъ по оси x отрѣзки:

$\overline{OJ_x} = J_x$ и $\overline{OJ_y} = J_y$ (фиг. 38), причемъ за ось x^{oos} выберемъ ту ось которой соответствуетъ наибольшій моментъ инерціи. Затѣмъ въ точкѣ J_y , въ сторону положительныхъ y , возставимъ перпендикуляръ $\overline{J_y A} = +Z_{xy}$ и въ точкѣ J_x , въ сторону отрицательныхъ y , возставимъ перпендикуляръ такой же длины $\overline{J_x B} = Z_{xy}^{**}$). Если опус-

**) Если Z отрицательно, то точка A лежитъ выше, а точка B ниже оси x .

Если для определенія Z_{xy} воспользоваться уравн. (3) и найти моменты инерціи относительно осей x , y , z по § 6, т. е. представить ихъ въ формѣ: $J_x = aa_1 a_2 n_x$, $J_y = aa_1 a_2 n_y$, $J_z = aa_1 a_2 n_z$, то масштабъ для поперечного сѣченія надо выбратьъ такъ, чтобы величина J_z изобразилась отрѣзкомъ прямой линіи, равнымъ n_z . Тогда надо сдѣлать: $\overline{OJ_x} = n_x$; $\overline{OJ_y} = n_y$ и $\overline{J_y A} = \overline{J_x B} = \frac{I}{2} (n_x + n_y) - n_z$.

тить потомъ изъ B перпендикуляръ BE на ось x' и провести $AC \perp BE$ и CJ_x' перпендикулярно къ оси x' , то получимъ:

$$\begin{aligned} \text{отрѣзокъ } \overline{OJ_x'} &= \overline{OE} \cos \alpha + \overline{EC} \sin \alpha \\ \overline{OE} &= J_y \cos \alpha - Z_{xy} \sin \alpha, \\ \overline{EC} &= J_y \sin \alpha - Z_{xy} \cos \alpha, \text{ слѣдовательно} \\ \overline{OJ_x'} &= (J_x \cos \alpha - Z_{xy} \sin \alpha) \cos \alpha + (J_y \sin \alpha - Z_{xy} \cos \alpha) \sin \alpha \\ &= J_x \cos^2 \alpha + J_y \sin^2 \alpha - Z_{xy} \sin 2 \alpha \end{aligned}$$

а отсюда слѣдуетъ, что:

$$\overline{OJ_x'} = J_x'.$$

Затѣмъ находимъ:

$$\text{отрѣзокъ } \overline{J_x' C} = \overline{OC} \sin \alpha - \overline{EC} \cos \alpha$$

и послѣ легкаго преобразованія:

$$\overline{J_x' C} = \frac{1}{2} (J_x - J_y) \sin 2 \alpha + Z_{xy} \cos 2 \alpha, \text{ т. е.}$$

$$\overline{J_x' C} = Z_{x'y'}.$$

Такъ какъ $\angle ACB = 90^\circ$, то точка C при вращеніи оси x' вокругъ точки O движется по кругу, диаметръ котораго есть данная прямая AB , а отсюда получаемъ слѣдующее правило:

Прямая, проведенная изъ A параллельно оси x' , пересѣкаетъ окружность, построенную на AB какъ на диаметръ, въ точкѣ C , абсцисса которой (начало координатъ въ O) равна моменту инерціи J_x' , а ордината ея представляетъ центробѣжный моментъ $Z_{x'y'}$.

Если величина J_x' опредѣлена на основаніи этого правила, то величину J_y' найдемъ быстрѣе всего помошью уравненія (2).

29. Главные моменты инерціи и главныя оси инерціи. Окружность, построенная на AB какъ на диаметръ, (фиг. 38) пересѣкаетъ ось x въ двухъ точкахъ J_1 и J_2 ; отсюда выводимъ заключеніе, что наибольшое значение, какое можетъ принять J_x' , есть:

$$J_1 = \overline{OJ_1};$$

оно соотвѣтствуетъ оси (1), проходящей черезъ центръ тяжести O параллельно прямой AJ_1 ; наименьшее же значение

$$J_2 = \overline{OJ_2}$$

соотвѣтствуетъ оси (2), проходящей черезъ O параллельно прямой J_2A .

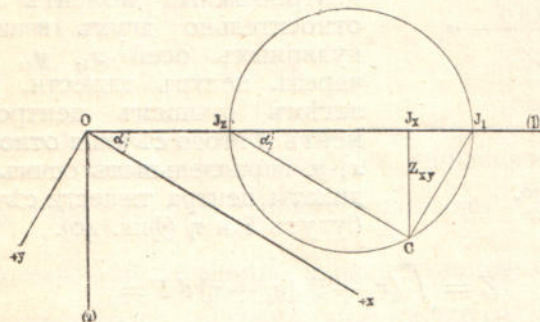
J_1 и J_2 называются *главными моментами инерціи*, а оси (1) и (2), относительно которыхъ взяты эти моменты, называются *глав-*

ными осями инерції; непосредственно изъ фиг. 38 можно вывести слѣдующій законъ:

Каждой точкѣ O въ плоскости симметрии соответствуютъ двѣ взаимно перпендикулярныя главныя оси, относительно которыхъ центробіжный моментъ равняется нулю.

Если одна изъ координатныхъ осей x, y раздѣляетъ симметрию на двѣ симметричныхъ половины, то для каждого элемента площади dF одной половины будетъ соотвѣтствовать элементъ площади въ другой половинѣ, причемъ для обоихъ элементовъ произведения $xydF$ будутъ равны, но противоположны по знаку. Интеграль $\int xydF$ можно будетъ тогда разложить на двѣ части, равныя по величинѣ, но противоположныя по знаку, а это значитъ, что $\int xydF = 0$; отсюда заключаемъ, что *каждая ось симметрии есть главная ось инерції.*

Если симметрие имѣть одну ось симметрии, то ее прямо и относятъ къ главнымъ осямъ инерції. Для нахожденія затѣмъ моментовъ инерції J_x, J_y, Z_{xy} относительно двухъ другихъ взаимно перпендикулярныхъ осей x, y , проходящихъ чрезъ то же начало O , откладываютъ на оси (1) въ какомъ либо масштабѣ отрѣзки $\overline{OJ}_1 = J_1$



Фиг. 39.

и $\overline{OJ}_2 = J_2$ и проводятъ прямые J_2C и J_1C (фиг. 39) параллельно осямъ x и y . Абсцисса точки C будетъ тогда $= J_x$, а ордината C будетъ $= Z_{xy}$. Точка C лежитъ на окружности, диаметръ которой $= J_1 - J_2$. Описанное построение есть только частный случай построения, сдѣланнаго на фиг. 39. Если J_x известно, то J_y находится скорѣе всего по уравнению: $J_y + J_x = J_1 + J_2$.

30. Формула для определенія главныхъ моментовъ инерції, когда величины J_x, J_y, Z_{xy} заданы. Уголь γ (на фиг. 38 отрицательнѣ), образуемый главной осью (1) съ осью x той системы координатныхъ осей, относительно которыхъ моменты инерціи J_x, J_y, Z_{xy} известны, опредѣлится уравненіемъ:

$$(4) \quad \operatorname{tg} 2\gamma = \frac{2Z_{xy}}{J_y - J_x}.$$

Это уравненіе получимъ изъ послѣдняго уравненія (1), подставивъ туда $Z_{x'y'} = 0$ и его можно получить непосредственно изъ фиг. 38.

Для главныхъ моментовъ инерціи J_1 и J_2 изъ фиг. 38 находимъ выраженія:

$$J_1 = J_x - Z_{xy} \operatorname{tg} \gamma^*; \quad J_2 = J_y + Z_{xy} \operatorname{tg} \gamma$$

потому что отрѣзокъ $\overline{J_x J_1} = \overline{J_2 J_y} = -Z_{xy} \operatorname{tg} \gamma$.

Если главные моменты инерціи будутъ известны, то моменты инерціи относительно осей x , y (фиг. 39) будутъ равняться:

$$(6) \quad \begin{cases} J_x := J_1 \cos^2 \alpha + J_2 \sin^2 \alpha = (J_1 + J_2 \operatorname{tg}^2 \alpha) \cos^2 \alpha \\ J_y := J_1 + J_2 - J_x \\ Z_{xy} = (J_x - J_2) \operatorname{tg} \alpha. \end{cases}$$

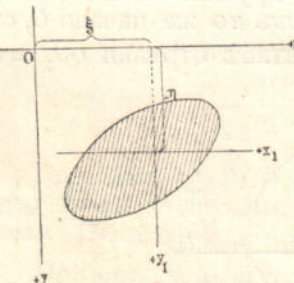
Послѣднее уравненіе можно замѣнить слѣдующимъ:

$$(7) \quad Z_{xy} = \frac{1}{2} (J_1 - J_2) \sin 2\alpha,$$

которое получено изъ уравненій (1).

31. Другой способъ опредѣленія центробѣжного момента.

Помощью уравненія (3) нахожденіе центробѣжного момента Z сводится къ опредѣленію моментовъ инерціи относительно каждой изъ осей. Иногда же случается, что непосредственное опредѣленіе Z ведеть къ цѣли быстрѣе. Для этого примемъ, что центробѣжный моментъ Z_1 съченія F относительно двухъ взаимноперпендикулярныхъ осей x_1 , y_1 , проходящихъ черезъ центръ тяжести, уже заданъ и затѣмъ отыщемъ центробѣжный моментъ Z этого съченія относительно осей x , y , параллельныхъ осямъ x_1 , y_1 . Координаты центра тяжести съченія F пусть будутъ ξ и η (фиг. 40).



Фиг. 40.

$$\text{Имѣемъ: } Z = \int (x_1 + \xi) (y_1 + \eta) dF = \\ = \int x_1 y_1 dF + \xi \int y_1 dF + \eta \int x_1 dF + \eta \xi F,$$

гдѣ $\int y_1 dF = 0$; $\int x_1 dF = 0$, выражаютъ статические моменты съченія F относительно осей, проходящихъ черезъ центръ тяжести; отсюда же получаемъ такое равенство:

$$(8) \quad Z = Z_1 + F \eta \xi.$$

Если оси x и y будутъ главными осями инерціи, то $Z_1 = 0$ и

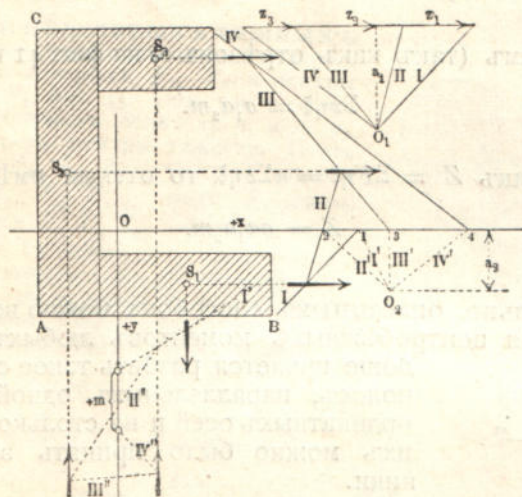
$$(9) \quad Z = F \eta \xi.$$

Съ помощью этого уравненія можно, напр., опредѣлить центробѣжный моментъ для съченія (фиг. 41), состоящаго изъ

*). Такъ какъ мы предполагаемъ $J_x > J_y$, см. стр. 42, то знаки у $\operatorname{tg} \gamma$ и Z противоположны, поэтому величина $(-Z \operatorname{tg} \gamma)$ всегда положительна.

прямоугольниковъ E_1 , F_2 , F_3 , относительно какихъ нибудь осей, параллельныхъ сторонамъ AB и AC . Пусть $(+\eta_1, +\xi_1)$, $(-\eta_2, -\xi_2)$, $(-\eta_3, +\xi_3)$ координаты центровъ тяжести S_1 , S_2 , S_3 прямоугольниковъ, тогда получимъ:

$$Z = F_1 \eta_1 \xi_1 + F_2 \eta_2 \xi_2 - F_3 \eta_3 \xi_3$$



Фиг. 41.

Для определения этого момента съ помощью чертежа обратимъ три прямоугольника въ прямоугольники съ одинаковой шириной a ; представимъ высоты новыхъ прямоугольниковъ $z_1 = \frac{F_1}{a}$, $z_2 = \frac{F_2}{a}$, $z_3 = \frac{F_3}{a}$ силами, дѣйствующими параллельно оси x , и построимъ при произвольномъ полюсѣ O_1 веревочный многоугольникъ $I\ II\ III\ IV$, бока которого дадутъ на оси x отрѣзки $1-2$, $2-3$, $3-4$. Если полюсное разстояніе будетъ a_1 , то эти отрѣзки равны:

$$\overline{1-2} = \frac{z_1 \tau_1}{a_1}, \quad \overline{2-3} = -\frac{z_2 \tau_2}{a_1}, \quad \overline{3-4} = -\frac{z_3 \tau_3}{a_1}.$$

Теперь будемъ считать эти отрѣзки за силы, приложенные къ точкамъ S_1 , S_2 , S_3 и направленные параллельно оси y ; затѣмъ построимъ при полюсномъ разстояніи a_2 веревочный многоугольникъ $I'' II'' III'' IV''$, бока котораго *перпендикулярны* лучамъ $I' II' III' IV'$, проведеннымъ изъ O_2 къ концамъ отрѣзковъ оси x 1—2, 2—3, 3—4. *). Проведеніе изъ втораго полюснаго разстоянія на отрѣзокъ m , который отсѣкается на оси y вѣшними боками (I'' и IV'') этого веревочнаго многоугольника, равняется статическому моменту

^{*)} Тотъ же результатъ можно получить иначе, повернувъ влѣво на 90° эти отрѣзки и пучекъ лучей $I' II' III' IV'$ и проводя затѣмъ $I'' \parallel I', II'' \parallel II$ и т. д.

силъ $\overline{12}$, $\overline{23}$, $\overline{34}$ относительно оси y . Кроме того получаемъ следующую зависимость:

$$\begin{aligned} a_2 m &= \overline{12} \xi_1 - \overline{23} \xi_2 + \overline{34} \xi_3 \\ &= \frac{z_1 \eta_1 \xi_1}{a_1} + \frac{z_2 \eta_2 \xi_2}{a_1} - \frac{z_3 \eta_3 \xi_3}{a_1} = \frac{\Sigma z \eta \xi}{a_2}, \end{aligned}$$

а отсюда найдемъ (такъ какъ отрезокъ m на фиг. 41 положителенъ)

$$\Sigma z \eta \xi = a_1 a_2 m.$$

Но такъ какъ $Z = \Sigma F \eta \xi = a \Sigma z \eta \xi$, то отсюда имѣемъ:

$$Z = a a_1 a_2 m.$$

Слѣдовательно, описаннымъ способомъ можно воспользоваться для определенія центробѣжныхъ моментовъ любыхъ сѣченій. Вообще придется разбить такое сѣченіе на рядъ полосъ, параллельныхъ одной изъ двухъ координатныхъ осей и на столько узкихъ, чтобы ихъ можно было принять за прямоугольники.

32. Примѣненіе косоугольныхъ координатныхъ осей. Если первона- чально сѣченіе было отнесено къ прямоугольнымъ осямъ x, y , а затѣмъ одна изъ осей x , при другой неподвижной оси y , повернута на уголъ $90^\circ - \beta$ въ положение x' (фиг. 42), то косоугольные координаты выражаются такъ:

$$y' = y - x \cotg \beta \text{ и } x' = \frac{x}{\sin \beta}.$$

Поэтому изъ моментовъ инерціи сѣченія относительно прямоугольныхъ осей

$$J_x = \int y^2 dF; \quad J_y = \int x^2 dF; \quad Z_{xy} = \int xy dF$$

найдемъ моменты инерціи относительно косоугольныхъ осей:

$$(10) \quad J_y' = \int x'^2 dF = \frac{I}{\sin^2 \beta} \int x^2 dF = J_y \frac{I}{\sin^2 \beta}$$

$$\begin{aligned} (11) \quad Z_{x'y'} &= \int y' x' dF = \frac{I}{\sin \beta} \left[\int y x dF - \cotg \beta \int x^2 dF \right] \\ &= \frac{I}{\sin \beta} [Z_{xy} - J_y \cotg \beta]. \end{aligned}$$

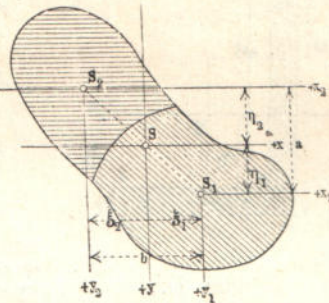
Послѣднее уравненіе приводитъ къ слѣдующему важному правилу: если опредѣлить уголъ β помошью формулы:

$$(12) \quad \cotg \beta = \frac{Z_{xy}}{J_y},$$

то центробѣжный моментъ относительно косоугольныхъ осей y' , x' равенъ нулю.

33. Выводъ нѣкоторыхъ важныхъ формулъ. Пусть съченіе состоить изъ двухъ частей, площади которыхъ F_1 , F_2 , а центры тяжести ихъ S_1 , S_2 , фиг. 43. Обѣ части отнесены къ прямоугольнымъ осямъ x_1 , y_1 и x_2 , y_2 , проходящимъ черезъ центры тяжести. Пусть моменты инерціи J_{x_1} , J_{y_1} , $Z_{x_1 y_1}$ части F_1 и моменты инерціи J_{x_2} , J_{y_2} , $Z_{x_2 y_2}$ части F_2 даны, отыщемъ значенія J_x , J_y , Z_{xy} для всего съченія по отношенію къ осямъ x , y , проходящимъ черезъ центръ тяжести всего съченія, причемъ направления x , x_1 , x_2 , а также y , y_1 , y_2 между собой параллельны. При обозначеніяхъ на фиг. 43 получаемъ (по уравн. I, см. № 26):

$$J_x = J_{x_1} + F_1 r_1^2 + J_{x_2} + F_2 r_2^2.$$



Фиг. 43.

Но такъ какъ $F_1 \eta_1 = F_2 \eta_2$ и $\eta_1 + \eta_2 = a$,

$$\text{то } \eta_1 = \frac{F_1 a}{F_1 + F_2} \text{ и } \eta_2 = \frac{F_2 a}{F_1 + F_2},$$

поэтому $F_1 r_1^2 + F_2 r_2^2 = \frac{F_1 F_2 a (\eta_1 + \eta_2)}{F_1 + F_2}$ и окончательно:

$$(10) \quad J_x = J_{x_1} + J_{x_2} + \frac{F_1 F_2 a^2}{F_1 + F_2}.$$

Подобнымъ же путемъ найдемъ:

$$(11) \quad J_y = J_{y_1} + J_{y_2} + \frac{F_1 F_2 b^2}{F_1 + F_2},$$

а изъ уравненія: $Z_{xy} = Z_{x_1 y_1} + Z_{x_2 y_2} + F_1 \eta_1 \xi_1 + F_2 \eta_2 \xi_2$:

$$(12) \quad Z_{xy} = Z_{x_1 y_1} + Z_{x_2 y_2} + \frac{F_1 F_2 a b}{F_1 + F_2}.$$

Если оси $x_1 y_1$ и $x_2 y_2$ будутъ главными осями частей F_1 и F_2 , то получимъ: $Z_{x_1 y_1} = 0$, $Z_{x_2 y_2} = 0$ и наконецъ:

$$(13) \quad Z_{xy} = \frac{F_1 F_2 a b}{F_1 + F_2}.$$

Помощью уравненій (10) до (13) можно найти значенія J_x , J_y , Z_{xy} , не опредѣляя положенія центра тяжести S . Но эти формулы также и при данномъ положеніи S представляютъ преимущества, потому что числа, входящія въ нихъ большею частью круглѣе, чѣмъ численныя значенія η и ξ .

Если положеніе S известно, то значенія $Z_{x_1 y_1}$ и $Z_{x_2 y_2}$ равны нулю, а тогда изъ уравненія

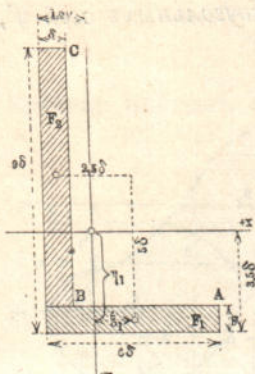
$$Z_{xy} = F_1 \eta_1 \xi_1 + F_2 \eta_2 \xi_2$$

при помощи равенствъ: $F_1 \xi_1 = F_2 \xi_2$; $F_1 \eta_1 = F_2 \eta_2$,

можно также получить:

$$(14) \quad Z_{xy} = F_1 \xi_1 a = F_2 \xi_2 a = F_1 \eta_1 b = F_2 \eta_2 b.$$

Примѣръ. Опредѣлимъ значенія J_x , J_y , Z_{xy} для сѣченія уголка, фиг. 44 относительно осей, параллельныхъ сторонамъ уголка и проходящихъ черезъ центръ тяжести сѣченія. Не опредѣляя положенія осей, проходящихъ черезъ центръ тяжести, найдемъ требуемыя значенія, разложивъ сѣченіе на 2 прямоугольника, площади которыхъ $F_1 = 6\delta^2$ и $F_2 = 9\delta^2$:



Фиг. 44.

$$J_x = \frac{1}{12} (6 \cdot 1^3 + 1 \cdot 9^3) \delta^4 + \frac{6 \cdot 9}{6+9} 5^2 \delta^4 = 151,25 \delta^4$$

$$J_y = \frac{1}{12} (1 \cdot 6^3 + 9 \cdot 1^3) \delta^4 + \frac{6 \cdot 9}{6+9} 2,5^2 \delta^4 = 41,25 \delta^4$$

$$Z_{xy} = \frac{6 \cdot 9}{6+9} \cdot 5 \cdot 2,5 \delta^4 = 45 \delta^4.$$

Если же почему либо требуется знать положеніе центра тяжести (напр. при расчетѣ на изгибъ), то опредѣляемъ η_1 и ξ_1 или η_2 и ξ_2 ; а для этого имѣемъ уравненія (см. фиг. 43):

$$(15) \quad \begin{cases} \eta_1 = \frac{F_2 a}{F_1 + F_2}; & \xi_1 = \frac{F_2 b}{F_1 + F_2}; & \frac{\eta_1}{\xi_1} = \frac{a}{b} \\ \eta_2 = \frac{F_1 a}{F_1 + F_2}; & \xi_2 = \frac{F_1 b}{F_1 + F_2}; & \frac{\eta_2}{\xi_2} = \frac{a}{b}. \end{cases}$$

Для даннаго примѣра находимъ:

$$\eta_1 = \frac{9\delta^2 \cdot 5\delta}{(6+9)\delta^2} = 3\delta \text{ и } \xi_1 = \eta_1 \frac{b}{a} = \eta_1 \frac{1}{2} = 1,5\delta.$$

Такимъ образомъ этими двумя значеніями положеніе S опредѣлено, а отсюда получаемъ:

$$Z_{xy} = F_1 \xi_1 a = 6 \cdot 1,5 \cdot 5 \delta^4 = 45 \delta^4.$$

Для столь простыхъ сѣченій, какъ фиг. 44, вычисленіе ведеть къ цѣли быстрѣе, чѣмъ графическій приемъ *); но если требуется принять во вниманіе закругленія угловъ A , B , C (что вполнѣ излишне), то графическій способъ будеть цѣлесообразнѣе.

§ 8.

Эллипсъ инерціи.

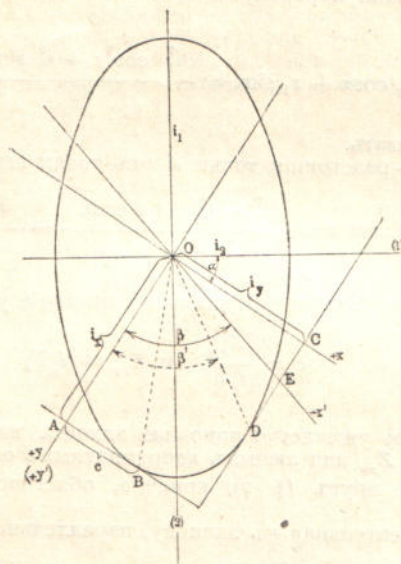
34. Для прямоугольныхъ координатныхъ осей. Отнесемъ сѣченіе къ главнымъ осямъ (1) и (2), проходящимъ черезъ точку O . Пусть главные радиусы инерціи $i_1 = \sqrt{\frac{J_1}{F}}$ и $i_2 = \sqrt{\frac{J_2}{F}}$ будуть заданы. Тогда для

* Укажемъ на приблизительныя формулы для угловаго жалѣза Zimmermann'a въ журн. Centralblatt der Bauverwaltung, 1885, стр. 33 и 84.

радиуса инерции i_x относительно оси x , проходящей черезъ точку O и наклонной къ главной оси (1) подъ угломъ α , находимъ выражение:

$$(1) \quad i_x^2 = i_1^2 \cos^2 \alpha + i_2^2 \sin^2 \alpha \text{ (по уравн. 6 въ № 30).}$$

Если отложить на оси y , перпендикулярной къ оси x , отрезокъ $OA = i_x$ (фиг. 45), провести черезъ точку A прямую, параллельную оси x и повторить



Фиг. 45.

это для всѣхъ возможныхъ положеній оси x , то эти параллельныя будутъ обертывать эллипсы, котрый называется *эллипсомъ инерціи* относительно точки O ; если же точка O будетъ центромъ тяжести сѣченія, то этотъ эллипсъ инерціи называется *центральнымъ эллипсомъ*. Полуоси эллипса инерціи совпадаютъ съ главными осями сѣченія и равны: одна $= i_1$ (перпендикулярная къ оси 2), а другая $= i_2$ (перпендикулярная къ оси 1). Докажемъ это. Напишемъ уравненіе эллипса, отнесенаго къ полуосямъ i_1 и i_2 какъ къ координатнымъ осямъ:

$$(2) \quad \frac{y_1^2}{i_1^2} + \frac{x_1^2}{i_2^2} = 1,$$

гдѣ x_1 и y_1 координаты какой нибудь точки B эллипса (причмъ можетъ быть $y_1 \parallel i_1$); дифференцируя это уравненіе, получимъ:

$$\frac{y_1 dy_1}{i_1^2} + \frac{x_1 dx_1}{i_2^2} = 0 \text{ или } x_1 = y_1 \frac{i_2^2}{i_1^2} \frac{dy_1}{dx_1};$$

поэтому координаты точки B эллипса, которой соотвѣтствуетъ касательная, наклоненная къ оси (1) подъ угломъ α , должны удовлетворять кромѣ уравн. (2) еще уравненію:

$$(3) \quad x_1 = y_1 \frac{i_2^2}{i_1^2} \operatorname{tg} \alpha.$$

Изъ уравн. (2) и (3) и, принимая во внимание уравн. (1), получаемъ:

$$y_1^2 = \frac{i_1^4 \cos^2 \alpha}{i_1^2 \cos^2 \alpha + i_2^2 \sin^2 \alpha} = \frac{i_1^4 \cos^2 \alpha}{i_x^2},$$

такимъ образомъ $y_1 = \frac{i_1^2 \cos \alpha}{i_x}$ и затѣмъ $x_1 = \frac{i_2^2 \sin \alpha}{i_x}$;

а поэтому длина перпендикуляра, опущенного изъ O на касательную къ эллису въ точкѣ B равна:

$$\overline{OA} = y_1 \cos \alpha + x_1 \sin \alpha = \frac{i_1^2 \cos^2 \alpha + i_2^2 \sin^2 \alpha}{i_x} = i_x,$$

что и требовалось доказать.

Для величины c —расстоянія точки A отъ точки касанія B получаемъ:

$$c = y_1 \sin \alpha - x_1 \cos \alpha = \frac{(i_1^2 - i_2^2) \sin \alpha \cos \alpha}{i_x} = \frac{(J_1 - J_2) \sin 2\alpha}{2i_x F},$$

а изъ этого уравненія слѣдуетъ, принимая во внимание уравн. (7) въ № 30:

$$(4) \quad c = \frac{Z_{xy}}{i_x F}, \text{ и } Z_{xy} = ci_x F;$$

такимъ образомъ теперь уже легко помошью эллиса инерціи опредѣлить моменты инерціи J_x, J_y, Z_{xy} для любыхъ координатныхъ осей.

Вспомогательный кругъ (§ 7), конечно, облегчаетъ примѣненіе этого способа.

Если CD есть касательная къ эллису, параллельная оси y , и D ея точка касанія, то $\overline{OC} = i_y$ и $DC = \frac{Z_{xy}}{i_y F}$; а значитъ, если $\overline{DC} = e$, то $Z_{xy} = ei_y F$.

Направленія OB и OC суть сопряженные діаметры эллиса инерціи, точно также OD и OA .

35. Для косоугольныхъ осей. Если повернуть ось x на уголъ $90^\circ - \beta$ въ положеніе x' , ось же y оставить безъ измѣненія (фиг. 45 и 42), то получимъ слѣдующія значенія относительно косоугольныхъ осей y', x' (по № 32):

$$J_{y'} = J_y \cdot \frac{1}{\sin^2 \beta} \text{ и } Z_{x'y'} = \frac{1}{\sin \beta} (Z_{xy} - J_y \cot \beta),$$

откуда, при помощи значеній: $J_y = F i_y^2; J_y = F i_y^2; Z_{xy} = ei_y F$, получаемъ:

$$i_{y'} = i_y \cdot \frac{1}{\sin \beta} \text{ и } Z_{x'y'} = i_y \cdot \frac{1}{\sin \beta} (e - i_y \cot \beta) F.$$

Обозначимъ точку пересѣченія оси x' съ касательной къ эллису DC че-резъ E ; тогда $\overline{OE} = i_{y'}$; $\overline{DE} = e - i_y \cot \beta$, а поэтому:

$$J_{y'} = F \cdot \overline{OE}^2; Z_{x'y'} = F \cdot \overline{OE} \cdot \overline{ED}.$$

Дадимъ оси x' направлениe OD , сопряженное съ осью y , тогда $Z_{x'y'} = 0$; отсюда получаемъ слѣдующее правило:

Центробіжний момент сим'єнія относительно сопряженныхъ діаметровъ эллиса инерціи равняется нулю.

Уголъ β' , заключающійся между сопряженными діаметрами OD и OA , опредѣляется уравненіемъ: $\cot \beta' = \frac{Z_{xy}}{J_y}$. Это можно получить также изъ

правила, высказанного въ концѣ № 32, а также изъ фиг. 45, откуда находимъ:

$$\cot \beta' = \frac{\overline{DC}}{\overline{OC}} = \frac{i_y}{J_y} = \frac{Z_{xy}}{J_y}$$

Если ось x' имѣеть положеніе OD , то радиусъ инерціи i_y' равняется половинѣ діаметра эллипса OD .

Зная J_x , J_y , Z_{xy} относительно любыхъ осей, мы можемъ опредѣлить въ каждой четверти эллипса касательную и ея точку касанія (на фиг. 45 точки B , D , касательныя AB , DC , а также 2 соответствующія точки и 2 касательныя по другую сторону оси y). Такимъ образомъ эллипсъ заданъ 8 элементами, для построения же конического съченія достаточно 5 элементовъ.

ОТДѢЛЪ III.

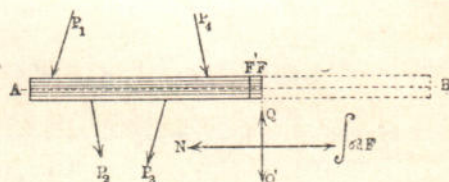
Напряженія въ прямыхъ стержняхъ.

§ 9.

Нормальныя напряженія.

36. Условія равновѣсія. Прямой упругій стержень при дѣйствіи на него конечныхъ силъ при достаточной прочности будеть мѣнять свою первоначальную форму до тѣхъ поръ, пока внутреннія силы стержня не уравновѣсятся съ внѣшними. Это состояніе равновѣсія будемъ разсматривать въ предположеніи, что происходящая деформація незначительна и что вліяніемъ ея на положенія точекъ приложенія силъ и на ихъ направленія можно пренебречь; такимъ образомъ при составленіи условій равновѣсія мы предполагаемъ, что всѣ силы остаются въ томъ положеніи, какъ будто стержень былъ абсолютно жесткимъ.

Сѣченіемъ F , перпендикулярнымъ къ оси стержня AB (фиг. 46),



Фиг. 46.

раздѣлимъ стержень на двѣ части и затѣмъ приведемъ всѣ внѣшнія силы, дѣйствующія на одну изъ частей, напр. на лѣвую, $P_1, P_2, P_3 \dots$ (посредствомъ способа, описанного въ № 19), къ двумъ силамъ N и Q , изъ которыхъ одна направлена нормально къ сѣченію, а другая лежитъ въ плоскости сѣченія. Сила N называется *нормальной силой сѣченія* F ; будемъ считать ее положительной, если она имѣть стремленіе отдѣлить лѣвую часть стержня

оть правой, которую мы воображаемъ неподвижной. Сила Q будетъ силой *перерѣзывающей* для сѣченія F ; знакъ ея пока не разсматриваемъ.

Вмѣстѣ съ вѣшними силами на рассматриваемую лѣвую часть стержня дѣйствуютъ еще въ сѣченіи F внутреннія силы, вызываемыя присутствиемъ правой части стержня. Предположимъ, что сила, дѣйствующая на весьма малый элементъ сѣченія dF , равномѣрно распределена по площади dF ; разложимъ ее на составляющія σdF и τdF , изъ которыхъ первая перпендикулярна къ плоскости сѣченія, другая лежитъ въ плоскости сѣченія. Причемъ σ и τ обозначаютъ величины силъ, приходящихся на единицу площади dF ; эти силы называются *напряженіями*, а именно σ называется *нормальнымъ напряженіемъ*, τ — называется *перерѣзывающимъ напряженіемъ*. σ — какъ *растяжение* принимается положительнымъ, а какъ *сжатіе отрицательнымъ*.

Для равновѣсія внутреннихъ силъ съ вѣшними необходимо, чтобы:

- 1) равнодѣйствующая $\int \sigma dF$ всѣхъ силъ σdF , перпендикулярныхъ къ плоскости сѣченія была равна и прямо противоположна по направлению нормальной силѣ N ,
- 2) равнодѣйствующая Q' всѣхъ силъ τdF , дѣйствующихъ въ плоскости сѣченія, была равна и прямо противоположна по направлению перерѣзывающей силѣ Q .

37. Определеніе нормальныхъ напряженій. Зайдемъ сначала определеніемъ напряженій σ ; отнесемъ сѣченіе къ прямоугольнымъ координатнымъ осямъ (u , v), начало которыхъ совпадаетъ съ центромъ тяжести сѣченія S , фиг. 47. Точка приложения K нормальной силы N отстоить отъ S на разстояніи f ; прямая SK , представляющая слѣдъ плоскости дѣйствія силъ на плоскости сѣченія, образуетъ съ осью u уголъ β *).

Вслѣдствіе дѣйствія вѣшнихъ силъ на упругій стержень разстояніе какой либо точки C (координаты которой u и v) рассматриваемаго поперечного сѣченія отъ безконечно близко лежащаго сѣченія F измѣняется на величину, положимъ, λ , фиг. 46, причемъ въ предѣлахъ упругости и при неизмѣняющейся температурѣ можно положить: $\sigma = A\lambda$, где подъ A подразумѣваемъ постоянную, опредѣленную изъ опытовъ величину, которая при постоянномъ коэффициентѣ упругости (что мы всегда будемъ предполагать), будетъ имѣть для всѣхъ точекъ сѣченія одно и тоже значеніе. Затѣмъ можно принять, что λ есть функция первой степени величинъ u и v **). Если въ каждой точкѣ C сѣченія возставить перпендику-

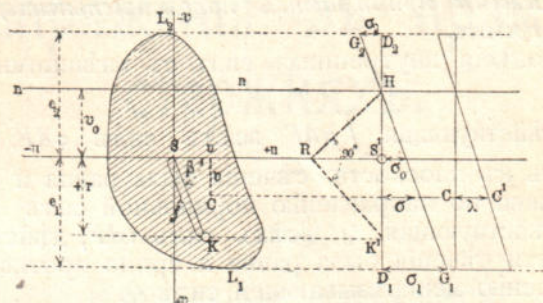
*) Ради краткости выражения вмѣсто „слѣдъ плоскости дѣйствія силъ на плоскости сѣченія“ будемъ говорить „плоскость дѣйствія силъ“.

Примѣч. переводчиковъ.

**) Это совпадаетъ какъ разъ съ извѣстными изъ теоріи сопротивленія предположеніями Навье, который при *определении напряженій σ* , принимаетъ, что первоначально плоскія сѣченія остаются плоскими и послѣ изгиба стержня, и въ то же время пренебрегаетъ кривизной матеріальныхъ линій, соединяющихъ соответствующую точки двухъсосѣдніхъ сѣченій. Примѣнимость теоріи Навье для стержней, поперечные измѣрѣнія которыхъ малы въ сравненіи съ ихъ длиной, доказана Сенъ-Бенаномъ (Liouville Journal, 1856), Кирхгофомъ (Crelle Journal, 1859) и Pochhammerомъ въ его сочиненіи о равновѣсіи упругаго стержня (Kiel, 1879).

ляры $CC' = \lambda$, то точки C' будутъ лежать въ плоскости, пересѣкающей сѣченіе по прямой nn . Для всѣхъ точекъ линии nn будетъ имѣть мѣсто $\lambda = 0$, а также $\sigma = 0$; поэтому прямая nn называется линией нулевыхъ напряженій (также нейтральной осью) или короче нулевой линией; направление ея мы будемъ считать заданнымъ; произвольное же до сихъ поръ направление оси u проведемъ параллельно nn .

Точки сѣченія, равно удаленнымъ отъ nn , соотвѣтствуютъ равныя значенія λ , а также равныя напряженія σ ; напряженія для какихъ либо двухъ точекъ сѣченія пропорціональны разстояніямъ этихъ точекъ (по любому направленію) до прямой nn .



Фиг. 47.

Обозначимъ, фиг. 47, черезъ v_0 вертикальное разстояніе (безъ знака) оси nn отъ оси u , и буквой σ_0 — напряженіе въ точкахъ оси u , тогда получимъ: $\sigma : \sigma_0 = (v + v_0) : v_0$ или $\sigma = \sigma_0 + \frac{\sigma_0}{v_0} v$ или

$$(1) \quad \sigma = \sigma_0 + Bv,$$

гдѣ $B = \frac{\sigma_0}{v_0}$ для рассматриваемаго сѣченія будетъ постоянно.

Моменты относительно осей u и v внутренней силы σdF , дѣйствующей на элементъ площади сѣченія dF , будутъ $= \sigma dFv$ и $= \sigma dFu$, а моменты относительно тѣхъ же осей нормальной силы N , дѣйствующей въ K , равны $N/\sin \beta$ и $N/\cos \beta$. Уравненія, выражающія условія равновѣсія (см. (1) въ № 36), будутъ слѣдующія:

$$(2) \quad \int \sigma dF = N; \quad \int \sigma v dF = Nf \sin \beta; \quad \int \sigma u dF = Nf \cos \beta;$$

первые два уравненія по подстановкѣ σ примутъ видъ:

$$\sigma_0 F = N, \quad BJ_u = Nf \sin \beta,$$

причемъ было принято во вниманіе, что $\int dF = F$, $\int v dF = 0$,

$\int v^2 dF = J_u$. Изъ этихъ уравненій получаемъ:

$$\sigma_0 = \frac{N}{F}; B = \frac{Nf}{J_u} \sin \beta \text{ и наконецъ:}$$

$$(3) \quad \sigma = \frac{N}{F} + \frac{Nf \cdot v}{J_u} \sin \beta.$$

Третье уравненіе (2) преобразуется теперь въ слѣдующее:

$$\int \left(\frac{N}{F} + \frac{Nf \cdot v}{J_u} \sin \beta \right) udF = Nf \cos \beta;$$

такъ какъ $\int udF = 0$ и $\int uv dF = Z_{ur}$, то изъ него получимъ условіе:

$$(4) \quad \cot \beta = \frac{Z_{ur}}{J_u},$$

которымъ опредѣляется направлениe нейтральной оси.

Расстояніе v_0 этой линіи отъ оси u опредѣлится, если въ уравненіе (3) подставить $\sigma = 0$ и $v = v_0$; тогда получимъ

$$5) \quad 0 = \frac{N}{F} + \frac{Nfv_0}{J_u} \sin \beta, \text{ а отсюда}$$

$$v_0 = -\frac{J_u}{Ff \sin \beta} = -\frac{J_u}{Fr} = -\frac{i_u^2}{r},$$

гдѣ r есть длина перпендикуляра, опущенного изъ точки K на ось u . Знакъ минусъ въ уравн. (5) показываетъ, что нейтральная ось лежитъ по одну сторону центра тяжести S , а точка K по другую сторону.

Изъ уравненій (4) и (5) узнаемъ, что положеніе нейтральной оси не зависитъ отъ величины нормальной силы N , а зависитъ отъ положенія точки приложенія силы K . Такимъ образомъ для каждой точки приложенія K имп'яется опредѣленное положеніе нейтральной оси.

Всѣмъ точкамъ приложенія силъ, лежащимъ на одной и той же плоскости дѣйствія силъ, соотвѣтствуютъ нейтральная ось того же направленія, потому что β не зависитъ отъ f .

Если K совпадаетъ съ центромъ тяжести ($f = 0$), то нейтральная ось лежитъ въ бесконечности ($v_0 = \infty$); если же K безконечно удалена ($f = \infty$), то нейтральная ось проходитъ черезъ центръ тяжести. Во второмъ случаѣ съченіе напряжено бесконечно малой нормальной силой, лежащей безконечно далеко.

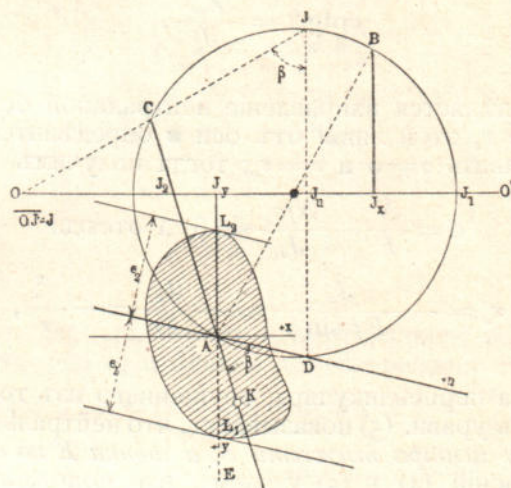
Для того чтобы воспользоваться выведенными правилами при опредѣлении напряженій σ для какого нибудь неправильнаго съченія, отнесемъ его къ прямоугольнымъ координатнымъ осямъ (x, y) , начало которыхъ лежитъ въ центрѣ тяжести, и которыя надо такъ выбратьъ, чтобы три момента инерціи

$$J_x = \int y^2 dF; \quad J_y = \int x^2 dF; \quad Z_{xy} = \int xy dF$$

опредѣлялись по возможности быстрѣе на основаніи способовъ, описанныхъ въ §§ 6 и 7. Затѣмъ строимъ вспомогательную окружность (фиг. 38) AB , которая облегчаетъ нахожденіе моментовъ инерціи относительно любыхъ прямоугольныхъ координатныхъ осей. Причемъ рекомендуется выбрать точку A въ центрѣ тяжести сѣченія.

На фиг. 48 отложено $\overline{AJ_y} = +Z_{xy}$; затѣмъ на прямой OO' , параллельной оси x , откладываютъ отрѣзки $\overline{J_y O} = J_y$ и $\overline{O J_x} = J_x$ и въ точкѣ J_x къ прямой OO' возставляютъ перпендикуляръ $\overline{J_x B} = Z_{xy}$. Діаметръ AB даетъ вспомогательную окружность.

Если провести ось u (положеніе которой считаемъ пока извѣстнымъ) параллельно нейтральной оси до пересеченія съ окружностью въ точкѣ D , затѣмъ провести хорду DJ перпендикулярно къ прямой OO' и соединить J съ O прямой, пересекающей окружность въ точкѣ C , то плоскость дѣйствія силъ KA проходитъ че-



Фиг. 48.

резъ точку C ; дѣйствительно, въ № 28 было доказано, что $\overline{OJ_u} = J_u$, $\overline{J_u D} = \overline{J_u J} = Z_{ur}$, а также $\cotg \angle OJD = \frac{Z_{ur}}{J_u} = \cotg \beta$ (по уравн. 4) и $\angle OJD = \beta$. А отсюда слѣдуетъ: $\angle CAD = 2R - \beta$ и наконецъ $\angle KAD = \beta$.

Можно рѣшить и обратную задачу: для данной плоскости дѣйствія силъ KA опредѣлить соответствующую ось u ; для этого продолжаемъ KA до пересеченія съ окружностью въ точкѣ C , проводимъ сѣкающую OCJ и хорду JD , перпендикулярно къ линіи OO' . Ось u пройдетъ черезъ обѣ точки A и D .

Напряженія σ , разъ ось u проведена, найдутся помощью уравненія 3. Слѣдуетъ замѣтить, что представленный отрѣзкомъ \overline{OJ} моментъ инерціи, который мы впослѣдствіи будемъ обозначать буквой J , равняется $\frac{J_u}{\sin \beta}$.

Такимъ образомъ имѣемъ

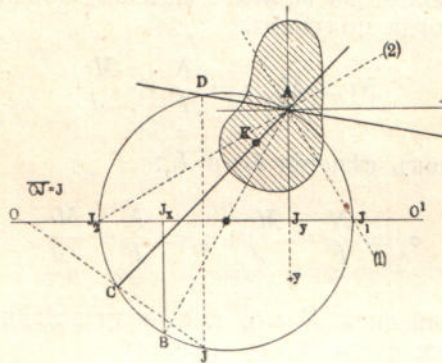
$$(6) \quad \sigma = \frac{N}{F} + \frac{Nfv}{J},$$

а для крайнихъ точекъ сѣченія L_1 и L_2 , которыя находятся отъ оси u на разстояніи $=+e_1$ и $=-e_2$, получимъ:

$$(7) \quad \sigma_1 = \frac{N}{F} + \frac{Nfe_1}{J}; \quad \sigma_2 = \frac{N}{F} - \frac{Nfe_2}{J}.$$

Если точки C и D , фиг. 48, лежать близко отъ A , то найденные пересѣченія прямыхъ AC , AD съ окружностью могутъ повести къ ошибкамъ. Тогда лучше всего, проведя окружность, опредѣлить точку C , какъ подошву перпендикуляра BC , опущенного изъ B на плоскость дѣйствія силъ, и провести направление оси u , сдѣлавъ $\angle DAE = \angle OCA$. Точка D получится теперь какъ подошва перпендикуляра, опущенного изъ B на AD ; затѣмъ найдемъ J , проводя $DJ \perp OO'$ до пересѣченія въ точкѣ J съ продолженной прямой OC .

Упомянемъ еще, что оси (x, y) надо такъ выбирать, чтобы удовлетворить предположеніямъ, принятымъ на фиг. 48: $J_x > J_y$ и $Z_{xy} > 0$. Но это не необходимо. Если будетъ, напр., $J_x < J_y$ и $Z_{xy} < 0$, то получимъ фиг. 49.



Фиг. 49.

Въ большинствѣ случаевъ опредѣленіе напряженій σ_1 и σ_2 расчетомъ будетъ проще; для этого находять положеніе оси u и значеніе J съ помощью чертежа, построенного по предыдущимъ правиламъ. Иногда же будетъ удобнѣе примѣнить слѣдующій приемъ.

Напряженія σ , опредѣленные для различныхъ значеній v , откладываемъ какъ ординаты отъ прямой D_1D_2 , перпендикулярной къ оси u (фиг. 47). Эти ординаты опредѣлять прямую G_1G_2 , которая пройдетъ черезъ H , точку пересѣченія D_1D_2 и nn , и которая для значенія $v = 0$ даетъ ординату $\sigma_0 = \frac{N}{F}$. Такимъ образомъ съ помощью этого значенія σ_0 и съ помощью значеній v_0 , найденныхъ изъ уравн. (5), опредѣлится прямая G_1G_2 , которая и дастъ величину всѣхъ напряженій.

Когда три момента инерціи J_x , J_y , Z_{xy} опредѣляются по способамъ §§ 6 и 7 въ видѣ: $J_x = aa_1a_2n_x$; $J_y = aa_1a_2n_y$; $Z_{xy} = aa_1a_2m$, гдѣ a , a_1 , a_2 произвольно взятые отрѣзки, то значеніе J_u принимаетъ видъ: $J_u = aa_1a_2n_u$, гдѣ n_u изображается отрѣзкомъ $\overline{OJ_u}$. Затѣмъ по № 25 имѣемъ: $F = a\Sigma z$, а также (безъ знака):

$v_o = \frac{a_1 a_2 n_u}{r \sum z}$. Если первое полюсное разстояніе будетъ взято $a_1 = \frac{I}{2} \Sigma z$, то получимъ $v_o = \frac{a_2 n_u}{2r}$, какъ четвертую пропорциональную къ величинамъ a_2 , n_u и $2r$. Можно также выбрать $a_2 = 2\varepsilon r$, где ε —произвольное число; тогда получимъ $v_o = \varepsilon n_u$.

Второй способъ опредѣленія v_o чертежемъ состоить въ нахожденіи радиуса инерціи i_u (см. № 25 и фиг. 27) и въ разрѣшеніи равенства $v_o = \frac{i_u^2}{r}$. Такимъ образомъ, если отложимъ (фиг. 47) $\overline{S'R} = i_u$, $\overline{S'K'} = r$, соединимъ R съ K' прямою и возставимъ къ ней въ R перпендикуляръ, то этотъ перпендикуляръ пересѣть прямую $D_1 D_2$ въ точкѣ H , потому что:

$$\overline{S'R^2} = \overline{S'K'} \cdot \overline{S'H}, \text{ т. е. } i_u^2 = \overline{S'K'} \cdot r \text{ или } \overline{S'K'} = \frac{i_u^2}{r} = v_o.$$

Описанное опредѣленіе напряженій σ съ помощью прямой $G_1 G_2$ непримѣнно для случая, когда $N=0$ и $r=\infty$; этотъ случай мы сейчасъ же изслѣдуемъ.

38. Объ изгибающимъ моментъ. Произведеніе изъ нормальной силы N на разстояніе f до центра тяжести S называется изгибающимъ моментомъ въ данномъ сѣченіи; обозначимъ этотъ моментъ буквою M , тогда получимъ:

$$(8) \quad Nf = M; \quad \sigma = \frac{N}{F} + \frac{Mv}{J},$$

а для крайнихъ точекъ сѣченія L_1 и L_2 :

$$(9) \quad \sigma_1 = \frac{N}{F} + \frac{Me_1}{J}; \quad \sigma_2 = \frac{N}{F} - \frac{Me_2}{J}.$$

Если нормальная сила $N=0$, т. е. если всѣ вѣнчнія силы перпендикулярны къ оси стержня, то получимъ:

$$(10) \quad \sigma = \frac{Mv}{J}; \quad \sigma_1 = \frac{Me_1}{J}; \quad \sigma_2 = -\frac{Me_2}{J}.$$

Этотъ случай нагрузки мы рассматривали раньше, какъ результатъ дѣйствія на сѣченіе весома малой безконечно удаленной нормальной силы. Нейтральная ось для этого случая пройдетъ черезъ центръ тяжести сѣченія; ея направлениe и моментъ инерціи J относительно нея опредѣляются съ помощью вспомогательной окружности; напряженія же σ слѣдуетъ найти расчетомъ:

39. Примѣръ. Пусть сѣченіе L , фиг. 50, находится подъ дѣйствіемъ нормальной силы N и изгибающаго момента M . Направленіе плоскости дѣйствія силы AK образуетъ съ ребромъ уголъ въ 17° . Опредѣлимъ напряженія σ_1 и σ_2 .

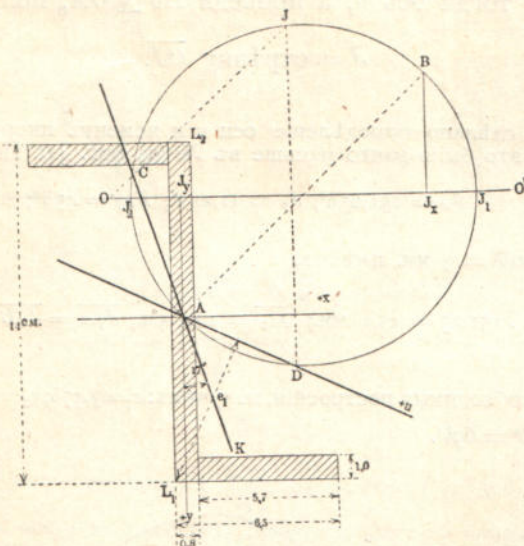
Отнесемъ сѣченіе къ прямоугольнымъ осямъ (x, y), проходящимъ черезъ центръ тяжести; одна изъ осей параллельна ребру. Вычислимъ моменты инерціи:

$$J_x = \frac{I}{12} (6,5 \cdot 14^3 - 5,7 \cdot 12^3) = 666 \text{ см}^4,$$

$$J_y = \frac{I}{12} [1,0 (6,5 + 5,7)^3 + 13 \cdot 0,8^3] = 152 \text{ см}^4.$$

$$Z_{xy} = 2 \cdot 5,7 \cdot 1,0 \cdot 6,5 \cdot 3,2; = 241 \text{ см}^4; F = 6,5 \cdot 14 - 5,7 \cdot 12 = 22,6 \text{ см}^2.$$

Выраженія для J_x , J_y получаются на основаніи формулъ, выведенныхъ въ № 26 а для параллелограмма. Для отысканія J_x надо передвинуть одну полку въ направлениі x и обратить съченіе \square въ съченіе \square (разность двухъ прямоугольниковъ). Для отысканія J_y надо обратить данное съченіе въ съченіе \square , перемѣстивъ одну полку по направлению оси y (сумма двухъ прямоугольниковъ). Выраженіе для Z_{xy} получимъ изъ изслѣдований № 31; площадь полки = 5,7 · 1,0, а координаты центра тяжести +6,5 см. и $\pm 3,25$ см. (Рекомендуется ради практики построить значения J_x , J_y , Z_{xy} графически).



Фиг. 50.

При построении круга, фиг. 50, былъ выбранъ масштабъ 10 см.⁴ = $\frac{2}{3}$ мм., причемъ было отложено: $\overline{AJ_y} = Z_{xy} = \frac{2}{3} \cdot 24,1 = 16,1$ мм., $\overline{J_yO} = J_y = 10,1$ мм., $\overline{OJ_x} = J_x = 44,4$ мм., $\overline{JB} = \overline{AJ_y}$. По проведеніи прямыхъ OCJ , $JD \perp OO'$ и AD (послѣдняя представляетъ искомую ось u) получаемъ:

$$J = \overline{OJ} = 34,7 \text{ мм.} = \frac{30}{2} \cdot 34,7 \text{ см.}^4 = 520 \text{ см.}^4; e_1 = e_2 = 6,49 \text{ см.},$$

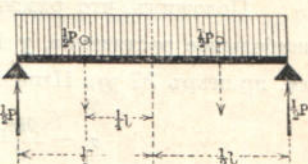
а затѣмъ по уравненію (9):

$$\sigma_1 = \frac{N}{22,6} + \frac{M \cdot 6,49}{520}; \sigma_2 = \frac{N}{22,6} - \frac{M \cdot 6,49}{520},$$

Такъ напримѣръ, возьмемъ свободно лежащую балку, нагруженную равномѣрно распределенной нагрузкой P , фиг. 51.

Съченіе балки \square , $N=0$, $M=\frac{P}{2} \cdot \frac{l}{2}-\frac{P}{2} \cdot \frac{l}{4}=\frac{Pl}{8}$. Полагая прочное сопротивленіе (на сжатіе или растяженіе) $\sigma=750$ кгр./см.², найдемъ изъ слѣдующаго уравненія ту величину груза P , который выдержитъ разматриваемая балка:

$$\sigma = 750 = \frac{M \cdot 6,49}{520} = \frac{Pl \cdot 6,49}{8 \cdot 520}, \text{ и если } l=400 \text{ см.; то } P=1200 \text{ кггр.}$$



Фиг. 51.

40. Если плоскость дѣйствія силы совпадаетъ съ осью y , то ось u проходитъ черезъ точку O (фиг. 52); точно также найдемъ, что $\overline{OD} = \overline{OJ}$. Обративъ вниманіе на то, что $BD \perp OA$, можемъ прийти къ слѣдующему способу (фиг. 53).

Отложимъ отъ центра тяжести O по оси x отрѣзки $\overline{OJ}_y = J_y$, $\overline{OJ}_x = J_x$ и перпендикулярно къ нимъ: $\overline{J_y A} = \overline{J_x B} = Z_{xy}$. Точки O и A опредѣлятъ тогда ось u , а проведя $\overline{BJ} \perp \overline{OA}$, получимъ:

$$J = \text{отрѣзку } \overline{OJ}.$$

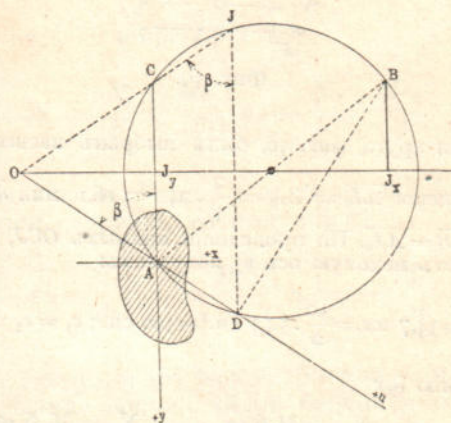
На фиг. 53 сдѣлано опредѣленіе оси u и момента инерціи J для угловаго желѣза (съченіе это было взято раньше въ № 33, фиг. 44). По № 33 имѣемъ:

$$J_x = 151,25 \delta^4; J_y = 41,25 \delta^4; Z_{xy} = 45 \delta^4;$$

при масштабѣ: $10\delta^4 = 3$ мм. имѣемъ:

$$\overline{OJ}_x = \frac{3}{10} \cdot 151,25 = 45,4 \text{ мм.}; \overline{OJ}_y = 12,4 \text{ мм.}; \overline{J_y A} = \overline{J_x B} = 13,5 \text{ мм.}$$

Сдѣлавъ необходимыя построенія, получимъ: $e_1 = 3,47\delta$; $e_2 = 4,02\delta$; $\overline{OJ} = 20,7$ мм.
и $J = \frac{10}{\delta} \cdot 20,7\delta^4 = 69\delta^4$.



Фиг. 52.

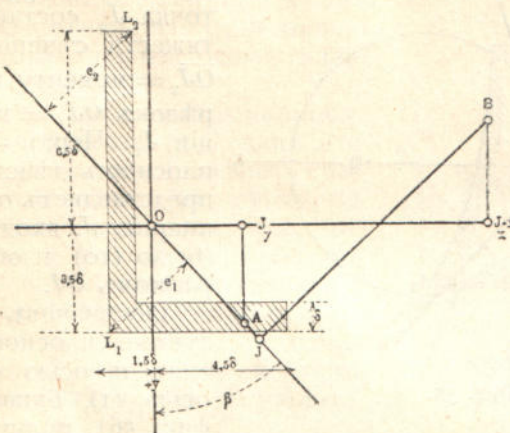
Положимъ, что рассматриваемый стержень чугунный; у L_1 вызывается наибольшее растяженіе, у L_2 наибольшее сжатіе. Положимъ $N = 0$ и $M = \frac{P l}{8}$ (см. примѣръ № 39). Напишемъ условія прочности:

$$\sigma_1 = \frac{M e_1}{J} = \frac{P l e_1}{8 \cdot 69 \delta^4} \quad \text{и} \quad \sigma_2 = -\frac{P l e_2}{8 \cdot 69 \delta^4}.$$

Допускаемая нагрузка P опредѣлится изъ первого или изъ втораго уравненія, смотря по тому $\frac{\sigma_1}{e_1} < \frac{\sigma_2}{e_2}$, гдѣ теперь $\sigma_1 = \text{допускаемое напряженіе на растяженіе}$ и $\sigma_2 = \text{допускаемое напряженіе на сжатіе}$. Если считать, что

$\sigma_1 = 250$ кггр./см.² и $\sigma_2 = -500$ кггр./см.², то для данного случая $\frac{\sigma_1}{e_1} < \frac{\sigma_2}{-e_2}$ и P должно удовлетворить уравнению:

$$250 = \frac{P/e_1}{8 \cdot 69\delta^4} = \frac{P/3.47}{8 \cdot 69\delta^4}.$$



Фиг. 53.

Зная P и l , можно определить δ . Такъ напр., если $P=1500$ кггр., $l=300$ см., то $\delta=2.25$ см.

Если выбрать ось y въ плоскости дѣйствія силъ, то напряженіе σ для какой нибудь точки сѣченія x, y можно выразить очень просто съ помощью величинъ J_x, J_y, Z_{xy} . Такъ напр., фиг. 54, разстояніе этой точки отъ оси u : $v=y \sin \beta - x \cos \beta$, а отрѣзокъ \overline{OJ} , фиг. 53:

$$\overline{OJ} = \overline{OJ_x} \sin \beta - \overline{J_x B} \cos \beta, \text{ откуда:}$$

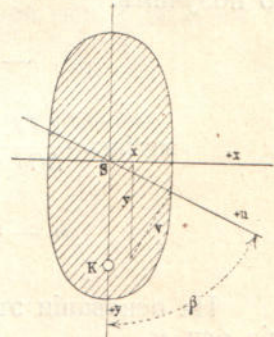
$$J = J_x \sin \beta - Z_{xy} \cos \beta.$$

Подставивъ эти значенія въ уравн. (8), получимъ:

$$\sigma = \frac{N}{F} + M \frac{y \sin \beta - x \cos \beta}{J_x \sin \beta - Z_{xy} \cos \beta} \text{ или}$$

$$(ii) \quad \sigma = \frac{N}{F} + M \frac{y - x \cot \beta}{J_x - Z_{xy} \cot \beta}, \text{ гдѣ}$$

$$\cot \beta = \frac{Z_{xy}}{J_y}.$$



Фиг. 54.

Для точки L_1 прежде разсмотрѣнного уголка получимъ, напр.; $y=+3.5\delta$; $x=-1.5\delta$; $\cot \beta = \frac{45}{41.25}$; $N=0$; слѣдовательно:

$$\sigma_1 = \frac{M}{\delta^3} \frac{3.5 \cdot 41.25 + 1.5 \cdot 45}{151.25 \cdot 41.25 - 45 \cdot 45} = 0.05028 \frac{M}{\delta^3}.$$

Раньше получили:

$$\sigma_1 = \frac{Me_1}{J} = \frac{M \cdot 3.47}{69\delta^3} = 0.05029 \frac{M}{\delta^3}.$$

Оба результата совершенно одинаковы.

41. Съченіе отнесено къ главнымъ осямъ. Когда съченіе имѣть ось симметріи, то его всегда относить къ главнымъ осямъ, проходящимъ черезъ центръ тяжести; изъ этихъ осей одна будетъ осью симметріи. Тогда точка A , фиг. 48, совпадаетъ съ точкой J_2 , потому что центробѣжный моментъ относительно

главныхъ осей = 0. Обратимся къ фиг. 55, для которой точка J_2 составляетъ центръ тяжести съченія, а отрѣзокъ OJ_2 = моменту инерціи J_2 , отрѣзокъ OJ_1 = моменту инерціи J_1 . Черезъ J_2K проходитъ плоскость дѣйствія силъ, J_2D представляетъ ось u . Моментъ инерціи J , входящій въ уравн. (6) до (10) изображается, отрѣзкомъ OJ .

Обозначивъ углы, образуемые плоскостью дѣйствія силъ и осью u съ главной осью (1), буквами φ и ψ (см. фиг. 56), получимъ:

$$(11) \quad -\operatorname{tg} \varphi \operatorname{tg} \psi = \frac{J_1}{J_2}.$$

Дѣйствительно, если на фиг. 55 провести недостающія прямая J_1C , J_1J , JJ_2 и замѣтить, что $-\operatorname{tg} \varphi = +\operatorname{tg} \angle DJ_2J_1 = +\operatorname{tg} \angle JJ_2J_1$, то получимъ:

$$-\operatorname{tg} \varphi \operatorname{tg} \psi = \frac{\overline{J_1C}}{\overline{J_2C}} \cdot \frac{\overline{J_1J}}{\overline{J_2J}} = \frac{\Delta JJ_1C}{\Delta JJ_2C},$$

$$\text{затѣмъ } \frac{\Delta JJ_1C}{\Delta OJ_1C} = \frac{\overline{JC}}{\overline{OC}} = \frac{\Delta JJ_2C}{\Delta OJ_2C} \text{ или } \frac{\Delta JJ_1C}{\Delta JJ_2C} = \frac{\Delta OJ_1C}{\Delta OJ_2C}$$

$$\text{и } -\operatorname{tg} \varphi \operatorname{tg} \psi = \frac{\Delta OJ_1C}{\Delta OJ_2C} = \frac{\overline{OJ}_1}{\overline{OJ}_2} = \frac{J_1^*}{J_2}.$$

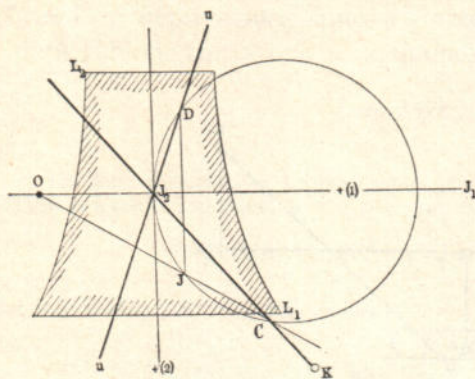
На основаніи этого правила можно легко опредѣлить положеніе оси u .

По главнымъ осямъ (1) и (2) фиг. 56, отъ центра тяжести J_2 откладываемъ отрѣзки: $\overline{J_2O} = J_2$ и $\overline{J_2H} = \overline{OJ}_1 = J_1$ и въ точкахъ O и H возставляемъ къ главнымъ осямъ перпендикуляры. Перпендикуляръ въ точкѣ O пересекаетъ линію J_2K въ точкѣ R . Отложивъ затѣмъ $HT = OR$, получимъ въ T одну точку искомой оси u , такъ какъ

$$\operatorname{tg} \varphi = \frac{\overline{OR}}{\overline{OJ}_2}, \operatorname{tg} \psi = -\frac{\overline{J_2H}}{\overline{HT}} \text{ и } \operatorname{tg} \varphi \operatorname{tg} \psi = -\frac{\overline{J_2H}}{\overline{OJ}_2} = -\frac{J_1^{**}}{J_2}.$$

^{*}) Другой выводъ этого правила помѣщенъ въ примѣчаніи къ № 44.

^{**) Если R (фиг. 56) находится ниже O , т. е. когда плоскость дѣйствія силъ проходить черезъ вторую и четвертую четверть, то точка T будетъ лѣвѣ H ; ось u пройдетъ тогда въ первой и третьей четверти.}



Фиг. 55.

Если теперь изъ точки J_1 опустить на ось u перпендикуляръ J_1J и провести прямую OJ , то отрѣзокъ \overline{OJ} представить моментъ инерціи J , входящій въ уравненія (6) до (10). Чтобы убѣдиться въ этомъ, разсмотримъ фиг. 55, гдѣ $\overline{OD} = \overline{OJ}$ и $\angle J_2DJ_1 = 90^\circ$.

Послѣдній способъ опредѣленія оси u и значенія J можно примѣнить и къ несимметричнымъ сѣченіямъ, если только будутъ извѣстны главныя оси и главные моменты инерціи *).

Но даже тогда, когда выбраны произвольныя оси координатъ (x, y) , какъ это сдѣлано въ № 38, можно примѣнить способъ, показанный на фиг. 56, потому что вспомогательная окружность, фиг. 48, тотчасъ же даетъ положеніе главныхъ осей и опредѣляетъ величину главныхъ моментовъ инерціи **); но чтобы избѣгнуть возможныхъ ошибокъ, рекомендуется исполнять всегда оба чертежа (фиг. 48 и 56) и затѣмъ оба результата сравнить.

**42. Сѣченіе отнесено къ ко-
соугольнымъ осямъ**, фиг. 57. Для нѣкоторыхъ дальнѣйшихъ изслѣдований бываетъ удобнѣе отнести сѣченіе къ ко-
соугольнымъ координатнымъ осямъ (u', v') , начало которыхъ лежить въ центрѣ тяжести S , ось v' лежить въ плоскости дѣйствія силъ, другая же ось u' параллельна нейтральной оси. Сдѣлаемъ въ уравн. (3) подстановку величинъ:

$$v - v' \sin \beta, \quad J_u = \int v^2 dF = \sin^2 \beta \int v'^2 dF \text{ и положимъ:}$$

$$(12) \quad \int v'^2 dF = J',$$

тогда получимъ:

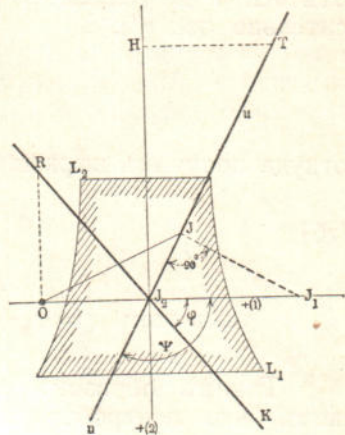
$$(13) \quad \sigma = \frac{N}{F} + \frac{Nfv'}{J'},$$

а для крайнихъ точекъ сѣченія L_1 и L_2 (принимая во вниманіе обозначенія фиг. 57):

$$(14) \quad \sigma_1 = \frac{N}{F} + \frac{Nfe'}{J'}; \quad \sigma_2 = \frac{Nfe''}{J'}$$

*) Необходимыя данныя для нормальныхъ профилей вида L-L находятся въ сочиненіи Heinzerling'a и Jntze: „Deutsche Normalprofile fr Walzeisen“.

**) Напомнимъ, что главныя оси (1) и (2), фиг. 48, проходящія черезъ центръ тяжести сѣченія A , проходятъ черезъ точки окружности J_1 и J_2 и что $OJ_1 = J_1$ и $OJ_2 = J_2$.



Фиг. 56.

Положеніе нейтральной оси опредѣлится разстояніемъ

$$(15) \quad v'_{\perp} = -\frac{J'}{Ff} = -\frac{i'^2}{t}$$

отъ оси u' и условіемъ равновѣсія (уравненіемъ моментовъ относительно оси v'):

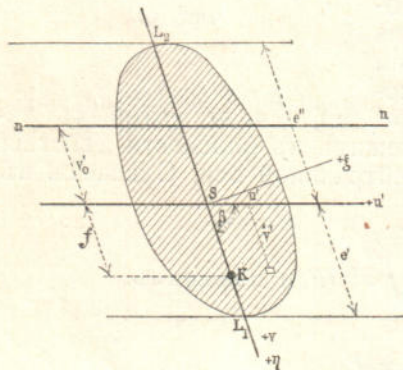
$$\int z dF u' = 0,$$

откуда получимъ выраженіе:

$$(16) \quad \int u' v' dF = 0,$$

такъ какъ $\sigma = \sigma_0 + Bv = \sigma_0 + Bv' \sin \beta$ и $\int u' dF = 0$.

Такимъ образомъ положеніе оси u' опредѣлится тѣмъ условіемъ, что центробѣжный моментъ относительно осей (u', v') равенъ 0. Для этой цѣли надо отнести сѣченіе къ прямоугольнымъ осямъ (η, ξ) , изъ которыхъ ось η лежить въ плоскости дѣйствія силъ, а затѣмъ уже опредѣлить моментъ инерціи J_{η} и центробѣжный моментъ $Z_{\eta\xi}$.



Фиг. 57.

Опредѣлимъ уголъ β по уравненію, приведенному въ № 32: $\cot \beta = \frac{Z_{\eta\xi}}{J_{\eta}}$, и примѣнимъ способъ, представленный на фиг. 48 и выведенный другимъ путемъ въ № 37; но при этомъ надо замѣтить, что координаты точки C по отношенію къ прямой OO' и началу O равны $Z_{\eta\xi}$ и J_{η} , откуда слѣдуетъ, что $\angle OJD = \beta$.

§ 10.

Дальнѣйшія изслѣдованія о положеніи нейтральной оси.

43. Общая зависимость между положеніями нейтральной оси и центра силъ. Отнесемъ сѣченіе къ косоугольнымъ координатнымъ осямъ (u, v) , фиг. 58, изъ которыхъ одна взята произвольно, а другая опредѣляется условіемъ $Z_{uv} = 0$. Тогда каждому центру силъ K_1 , лежащему на оси v , соотвѣтствуетъ ней-

тральная ось n_1n_1 , параллельная оси u , и каждому центру силъ K_2 , лежащему на оси u , соотвѣтствуетъ нейтральная ось n_2n_2 , параллельная оси v , причемъ, при обозначеніяхъ на фиг. 58, должны быть удовлетворены равенства:

$$(1) \quad bv_1 = i_u^2; \quad au_1 = i_v^2,$$

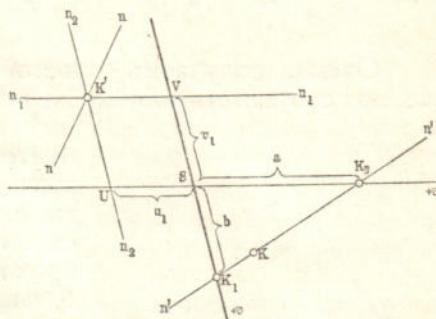
которыя получаются изъ уравн. (15) (см. № 42). Знакъ минусъ въ этомъ уравненіи можно отбросить, но при этомъ надо помнить, что центръ силъ и нейтральная ось лежать въ противоположныхъ сторонахъ отъ центра тяжести S .

Если разматривать какую нибудь точку K , лежащую на прямой $n'n'$, опредѣленной произвольными точками K_1 и K_2 , какъ центръ силъ, то нормальную силу N , дѣйствующую въ этой точкѣ K можно разложить на двѣ составляющихъ N_1 и N_2 , которыя приложены въ K_1 и K_2 . Силы N_1 и N_2 вызываютъ въ точкѣ пересеченія K' обѣихъ прямыхъ n_1n_1 и n_2n_2 (эти прямые будутъ нейтральными осями для точекъ K_1 и K_2) напряженіе $\sigma = 0$, а отсюда слѣдуетъ, что нейтральная ось nn , соотвѣтствующая точкѣ K проходитъ черезъ K' . Это распространяется на всѣ точки прямой $n'n'$. Итакъ, если центръ силъ описываетъ путь $n'n'$, то соотвѣтствующая нейтральная ось вращается около точки K' . И обратно:

Если нейтральная ось вращается около неподвижной точки, координаты которой u_1 и v_1 , то соотвѣтствующій центръ силъ описываетъ прямую, которая отсекаетъ на оси— u отрезокъ $a = \frac{i_v^2}{u_1}$ и на оси v —отрезокъ $b = \frac{i_u^2}{v_1}$.

Если точка вращенія нейтральной оси лежитъ на оси— u (т. е. $v_1 = 0$), то центръ силъ описываетъ прямую, параллельную оси v (потому что $b = \infty$); произведеніе изъ абсциссъ точки вращенія и пройденного пути должно при этомъ равняться i_v^2 . Такимъ образомъ, если K_2 есть точка вращенія нейтральной оси, то прямая n_2n_2 представить путь соотвѣтствующаго центра силъ, такъ какъ $au_1 = i_v^2$, поэтому нормальная сила, дѣйствующая въ точкѣ K' , вызываетъ въ точкѣ K_2 напряженіе $\sigma = 0$. Точно такимъ же путемъ можно доказать, что эта нормальная сила вызываетъ въ точкѣ K_1 также напряженіе $\sigma = 0$, а отсюда выводимъ заключеніе, что прямая $n'n'$, опредѣляемая обѣими точками K_1 и K_2 , будетъ нейтральной осью, соотвѣтствующей точкѣ K' .

Только что выведенныя разсужденія устанавливаютъ слѣдую-
щій важный двойной законъ:



Фиг. 58.

Если нейтральная ось nn описывает пучек лучей, исходящих из точки K' , то центр сил K для этой оси движется по нейтральной оси $n'n'$, соответствующей точке K' .

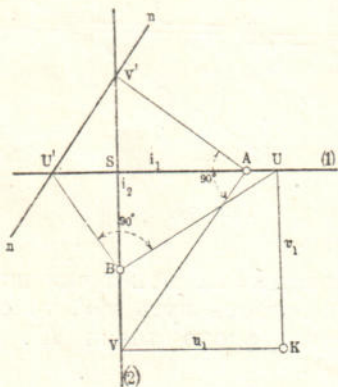
Если центр сил K движется по прямой $n'n'$, то нейтральная ось nn для этого центра описывает пучек лучей, исходящих из точки K' , которая представляет центр сил, соответствующий прямой $n'n'$.

44. Определение нейтральной оси. Изъ уравнений (1) имѣемъ (см. фиг. 58):

$$\begin{array}{ll} i_u & \text{средняя пропорциональная между } v_1 \text{ и } b, \\ i_v & " " " u_1 " a. \end{array}$$

Отсюда получаемъ простой способъ определенія нейтральной оси по соответствующему центру силъ. Этотъ способъ будетъ

имѣть тогда преимущество, когда требуется разрѣшить данную задачу для различныхъ положеній K ; наглядность же его выясняется въ томъ случаѣ, если съченіе отнесено къ главнымъ осямъ, проходящимъ черезъ центръ тяжести S , фиг. 59. Опредѣлимъ сначала главные радиусы инерціи i_1 и i_2 и отложимъ на главныхъ осяхъ (1) и (2) отрѣзки $\overline{SA} = i_1$ и $\overline{SB} = i_2$ (безразлично въ какую бы то ни было сторону отъ S), соединимъ подошвы V и U координатъ u_1 и v_1 центра силъ K съ A и B и возставимъ въ A и B къ прямымъ VA и UB перпендикуляры, которые пересѣкутъ главныя оси въ точкахъ V' и U' . Тогда получимъ, что



Фиг. 59.

$$\begin{array}{ll} i_1 = \overline{SA} & \text{есть средняя пропорциональная между } \overline{SV} \text{ и } \overline{SV'} \\ i_2 = \overline{SB} & " " " \overline{SU} \text{ и } \overline{SU'}, \end{array}$$

а отсюда слѣдуетъ, что U' и V' принадлежать искомой нейтральной оси *).

При большомъ удаленіи центра силъ K отъ центра тяжести S описанный способъ оказывается неудобнымъ. Въ подобныхъ случаяхъ для какой нибудь точки K' , лежащей на прямой SK , но ближе

*) Для угла наклоненія ψ оси u , параллельной nn (см. фиг. 57), получаемъ выраженіе:

$$\operatorname{tg} \psi = -\frac{\overline{SV}}{\overline{SU'}} = -\frac{i_1^2}{v_1} \frac{u_1}{i_2^2} = -\frac{J_1}{J_2} \frac{u_1}{v_2} = -\frac{J_1}{J_2} \operatorname{cotg} \varphi,$$

гдѣ $\varphi = \angle KSU$. Отсюда уже получимъ уравненіе (11), см. № 41.

къ S , опредѣляютъ нейтральную ось $n'n'$ (фиг. 60). Тогда линія nn , соотвѣтствующая точкѣ K , будетъ параллельна $n'n'$ и кромѣ того будетъ существовать отношеніе: $\overline{SL} : \overline{SL'} = \overline{SK} : \overline{SK}$, где L и L' представляютъ точки пересѣченія линіи SK съ нейтральными осями nn и $n'n'$. Если точка K лежить въ безконечности, то nn проходитъ черезъ центръ тяжести, при чмъ nn остается параллельной $n'n'$. Этотъ случай имѣеть мѣсто тогда, когда $N=0$ и на сѣченіе дѣйствуетъ только изгибающій моментъ M .

Разрѣшеніе обратной задачи, по данной нейтральной оси nn отыскать центръ силъ K , не требуетъ объясненій.

Опредѣленіе нейтральной оси по только что описанному способу впервые сдѣлано было Моромъ (Mohr).

45. Опредѣленіе нейтральной оси съ помощью теоріи поляръ. Когда проведемъ черезъ центръ тяжести сѣченія S прямую $u'u'$ параллельную нейтральной оси nn , соотвѣтствующей какому нибудь центру силъ K , фиг. 61, то центробѣжный моментъ сѣченія относительно осей SK и $u'u'$, по № 42, равняется o , а отсюда, на основаніи № 32, слѣдуетъ, что направленія SK и $u'u'$ для центрального эллипса будуть сопряженными.

Касательная къ центральному эллипсу, проведенная въ A и B точкахъ пересѣченія плоскости дѣйствія силъ съ эллипсомъ, будутъ параллельны линіи nn .

Полусъ эллипса $\overline{SA} = \overline{SB}$, совпадающая съ плоскостью дѣйствія силъ, равна радиусу инерціи i сѣченія относительно оси u' , а ордината нейтральной оси $\overline{SD} = \frac{i^2}{f}$. Если теперь въ плоскости дѣйствія силъ опредѣлить точку K' , которая лежитъ симметрично точкѣ K относительно центра тяжести S , то точки A и B отдѣлятся точками K' и D гармонически, а отсюда слѣдуетъ, что нейтральная ось (проходящая черезъ безконечно удаленную точку пересѣченія касательныхъ, проведенныхъ къ центральному эллипсу въ точкахъ A и B), будетъ полярой точки K' относительно центрального эллипса.

Для поляры же точки относительно кривой втораго порядка имѣется слѣдующий законъ:

Если изъ какой нибудь точки K' провести къ кривой втораго порядка произвольное число сѣкущихъ и на каждой сѣкущей опредѣлить точку D , которая дѣлится точками кривой A и B гармонически, то всѣ точки D лежать на прямой, называемой полярой точки K' относительно этой кривой втораго порядка, и на которой находится точка пересѣченія касательныхъ, проведенныхъ къ кривой въ точкахъ A и B произвольной сѣкущей.

Изъ слѣдующихъ главныхъ законовъ теоріи поляръ:

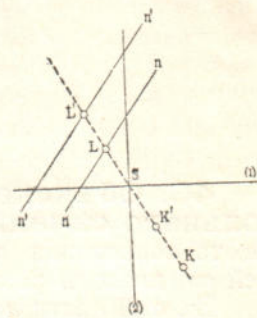
Поляры всѣхъ точекъ прямой проходятъ черезъ полюсъ этой прямой,

Полюсы всѣхъ лучей точки лежатъ на полярахъ этой точки,

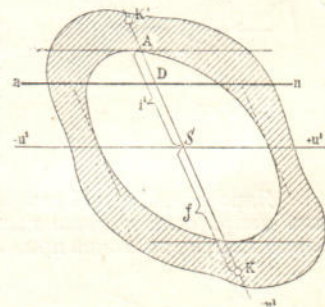
получается непосредственно двойной законъ, доказанный въ № 44.

Нейтральную ось называютъ также антиполярой центра силъ и обратно центръ силъ называютъ антиполюсомъ нейтральной оси.

Опредѣленіе антиполяры nn представляетъ простую задачу, рѣшеніе которой согласуется съ данными № 44; это рѣшеніе состоить въ проведениіи нейтральной оси помощью антиполюсовъ (U и V на фиг. 59) двухъ прямыхъ (KU и KV) лежащихъ на нейтральной оси; прямая же эти проходить черезъ центръ



Фиг. 60.



Фиг. 61.

силъ K и параллельны какимъ нибудь двумъ сопряженнымъ относительно центрального эллипса направлениямъ (напр., главнымъ осямъ, проходящимъ черезъ центръ тяжести).

§ 11.

Ядро съченій.

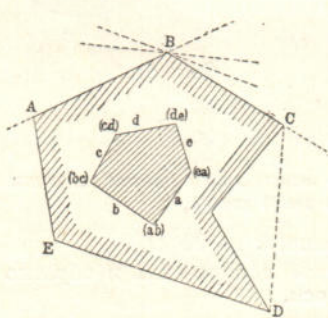
46. Объясненія. Определеніе ядра для произвольного съченія. Если нейтральная ось nn пересѣкаетъ съченіе, то напряженія σ въ двухъ частяхъ съченія, раздѣленного линіей nn , имѣютъ различные знаки.

Въ той части, которая содержитъ центръ силъ K , вызываются растяженія или сжатія, смотря по тому будетъ ли нормальная сила, дѣйствующая въ K , положительная или отрицательная.

Когда центръ силъ приближается къ центру тяжести S съченія, то нейтральная ось удаляется отъ S . Въ то мгновеніе когда нейтральная ось во время этого движенія коснется съченія, не пересѣкая его, то напряженія σ во всѣхъ точкахъ съченія будутъ того же знака, что и нормальная сила N .

Если теперь всѣ прямые, касательные къ съченію, но *его не пересѣкающія*, рассматривать какъ нейтральные оси и определить для нихъ (лучше всего по § 10) соответствующие центры силъ, то мѣста этихъ точекъ ограничить ту часть съченія, внутри которой должна лежать точка приложения нормальной силы (центръ силъ), для того случая, когда напряженія вызываемыя въ съченіи, должны быть одного знака съ силой N . Эта часть съченія называется *ядромъ*, касательная же къ съченію, но не пересѣкающая его даютъ *обертывающую кривую съченія*.

Ядро съченія имѣть значеніе при изслѣдованіи каменныхъ сооружений. Такъ напр., если съченіе какой нибудь каменной опоры должно испытывать только сжатіе, то точка приложения силы N должна лежать внутри ядра съченія.



Фиг. 62.

Для отысканія ядра съченія, ограниченного прямыми линіями (фиг. 63), надо стороны AB , BC , CD , DE , EA обертывающей линіи $ABCDEA$ принять по порядку за нейтральные оси и определить для нихъ соответствующие центры силъ (ab) , (bc) , (cd) , (de) , (ea) . Линіи a , b , c , d , e , соединяющія эти точки, образуютъ ядро. Потому что въ то время какъ нейтральная ось, вращаясь около точки B , переходитъ изъ положенія AB въ положеніе BC , центръ силъ описываетъ линію b , соединяющую точки (ab) и (bc) ; если нейтральная ось изъ положенія BC пе-

Фиг. 63.

реходить въ положеніе CD , повернувшисьъ около точки C , то центръ силъ описываетъ прямую с и т. д.

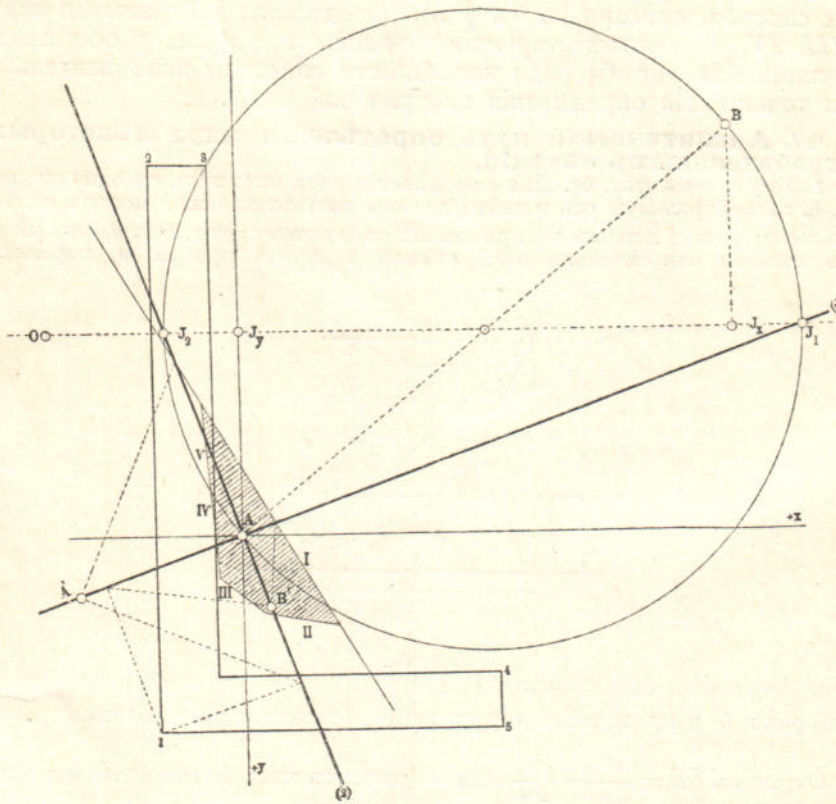
Но раньше было доказано, что при вращеніи нейтральной оси около неподвижной точки соответствующей ей центръ силъ движется по нейтральной оси, соответствующей этой точкѣ вращенія, а отсюда слѣдуетъ, что ядро можно опредѣлить построеніемъ нейтральныхъ осей a, b, c, d, e , соответствующихъ точкамъ A, B, C, D, E .

Предыдущее разсужденіе можно распространить и на съченія, ограниченные кривыми линіями, на которыхъ можно смотрѣть какъ на рядъ безконечно малыхъ участковъ прямыхъ линій; поэтому относительно ядра можно высказать слѣдующій двойной законъ:

Если нейтральная ось перемѣщается по обертывающей линіи съченія, то центръ силъ описываетъ контуръ ядра.

Если центръ силъ описываетъ обертывающую линію съченія, то нейтральная ось перемѣщается по контуру ядра.

Приложимъ описанный способъ отысканія ядра къ угловому съченію, размѣры которого даны были на фиг. 44; на фиг. 64 мас-



Фиг. 64.

штабъ составляетъ: $10\delta = 75$ мм. A — есть центръ тяжести съченія. Построимъ сначала вспомогательный кругъ AB съ помощью значений, определенныхъ въ № 33:

$$J_x = 151,25 \delta^4; J_y = 41,25 \delta^4; Z_{xy} = 45 \delta^4,$$

причём на фиг. 64 масштабъ для моментовъ инерціи выбранъ $100\delta^4 = 60$ мм.; такимъ образомъ отложено:

$$\overline{OJ_x} = J_x = \frac{6}{10} \cdot 151,25 \text{ мм.} = 90,75 \text{ мм.}; \overline{OJ_y} = J_y = 24,75 \text{ мм.};$$

$$\overline{J_y A} = \overline{J_x B} = 27,0 \text{ мм.}$$

Затѣмъ найдемъ: $\overline{OJ_1} = 100,0$ мм.; $\overline{OJ_2} = 15,5$ мм.; кроме того:

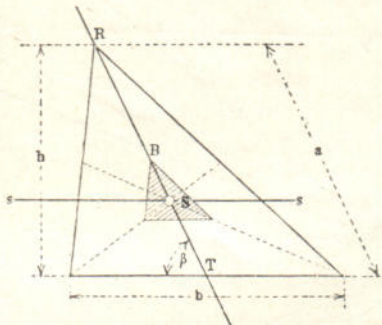
$$J = \frac{100,0 \cdot 10}{6} \delta^4 = 166,7 \delta^4; J_2 = 25,8 \delta^4 \text{ и, такъ какъ } F = 15 \delta^2, \text{ то:}$$

$$i_1 = \sqrt{\frac{J_1}{F}} = 3,33 \delta; i_2 = \sqrt{\frac{J_2}{F}} = 1,31 \delta.$$

На главныхъ осяхъ (1) и (2), проходящихъ черезъ точки J_1 и J_2 , отложены отрѣзки: $\overline{AA'} = i_1$ и $\overline{AB'} = i_2$, а затѣмъ уже, на основаніи способа, описанного въ § 10, опредѣлены нейтральныя оси I, II, III, IV, V, соотвѣтствующія точкамъ 1, 2, 3, 4, 5 обертывающей линіи. На фиг. 64 ради наглядности нанесены вспомогательныя линіи только для опредѣленія нейтральной оси I.

47. Аналитический путь опредѣленія ядра нѣкоторыхъ употребительныхъ съченій.

1. Треугольникъ, фиг. 65. Для опредѣленія ядра надо принять одну сторону напр. b , за нейтральную ось и найти для нея соотвѣтствующій центръ силъ этотъ центръ силъ лежить на прямой $\overline{RT} = a$, потому что центробѣжный моментъ съченія относительно этой прямой и другой прямой ss , параллель-



Фиг. 65.

ной сторонѣ b и проходящей черезъ центръ тяжести треугольника, равенъ нулю.

Отрѣзокъ $\overline{SB} = \frac{i^2}{\frac{1}{3}a} = \frac{3J}{Fa}$, где J —моментъ инерціи относительно оси ss съченія, отнесенного къ косоугольнымъ координатамъ. Въ № 26, b было определено для прямоугольныхъ координатъ относительно оси ss . $J = \frac{bh^3}{36} = \frac{ba^3 \sin^3 \beta}{36}$, отсюда (по уравн. 10 въ № 32) слѣдуетъ:

$$J = \frac{J}{\sin^2 \beta} = \frac{ba^3 \sin^3 \beta}{36}, \text{ а такъ какъ } F = \frac{ba \sin \beta}{2}$$

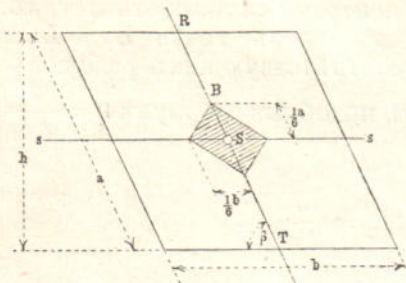
то $\overline{SB} = \frac{a}{6}$. Опредѣливъ подобнымъ же путемъ точки ядра, соотвѣтствующія остальнымъ сторонамъ треугольника, увидимъ, что искомое ядро будетъ треугольникъ, стороны которого параллельны сторонамъ сѣченія и центръ тяжести котораго совпадаетъ съ центромъ тяжести сѣченія.

2. *Параллелограммъ*, фиг. 66. За координатныя оси выберемъ прямые проходящія черезъ центръ тяжести и параллельныя сторонамъ a и b ; этимъ осямъ соотвѣтствуетъ центробѣжный моментъ $Z = 0$. Сдѣлавъ b нейтральною осью, найдемъ, что центръ силъ B будетъ лежать на прямой RT , равнодѣляющей стороны b ; на разстояніи $\overline{SB} = \frac{i^2}{2a} = \frac{2J'}{Fa}$ отъ центра тяжести S . Но по № 26 a

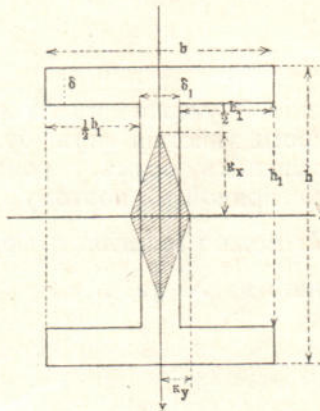
относительно оси ss и для прямоугольныхъ координатъ: $J = \frac{bh^3}{12} = \frac{ba^3 \sin^3 \beta}{12}$,

кромѣ того $J' = \frac{J}{\sin^2 \beta} = \frac{ba^3 \sin^3 \beta}{12}$. Затѣмъ $F = bh = bas \in 3$, слѣдовательно $\overline{SB} = \frac{a}{6}$.

Подобнымъ же путемъ можно опредѣлить точки ядра, соотвѣтствующія остальнымъ сторонамъ параллелограмма. Ядро будетъ параллелограммъ, углы котораго будутъ лежать на выбранныхъ осяхъ координатъ, а діагонали его будутъ равны $\frac{1}{3} a$ и $\frac{1}{3} b$.



Фиг. 66.



Фиг. 67.

3. *Сѣченіе* I, фиг. 67. Для главныхъ осей xx , yy находимъ:

$$J_x = \frac{1}{12} (bh^3 - b_1 h_1^3); J_y = \frac{1}{12} (2\delta b^3 + h_1 \delta^3).$$

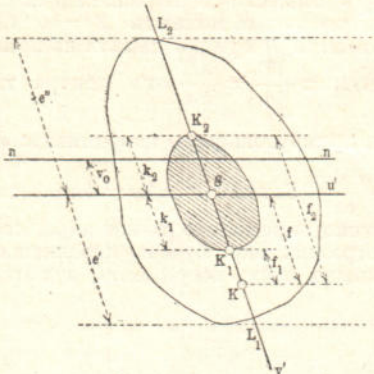
Площадь сѣченія $F = bh - b_1 h_1$. Ядро сѣченія будетъ параллелограммъ, углы котораго лежать на главныхъ осяхъ, а полудіагонали равны:

$$k_x = \frac{i_x^2}{2h} = \frac{2J_x}{Fh} \text{ и } k_y = \frac{2J_y}{Fb}.$$

48. Опредѣленіе напряженій с помощью ядра сѣченія. Отнесемъ сѣченіе, на которое въ точкѣ K дѣйствуетъ нормальная сила N , къ координатнымъ осямъ, изъ которыхъ одна u' проходитъ черезъ центръ тяжести параллельно нейтральной оси, а другая SK соединяетъ центръ силъ съ центромъ тяжести. Напря-

жения σ_1 и σ_2 въ точкахъ L_1 и L_2 , наиболѣе удаленныхъ оть оси u' , можно опредѣлить по формуламъ № 42:

$$(1) \quad \sigma_1 = \frac{N}{F} + \frac{Nfe'}{J'}; \quad \sigma_2 = \frac{N}{F} - \frac{Nfe'}{J'},$$



Фиг. 68.

(значеніе J' указано въ № 42). Точки ядра K_1 и K_2 , лежащія въ плоскости дѣйствія силъ, будуть центрами силъ, соотвѣтствующими нейтральнымъ осямъ, проведеннымъ чрезъ точки L_1 и L_2 параллельно прямой u' ; поэтому для соотвѣтствующихъ радиусовъ ядра k_1 и k_2 можно примѣнить формулы, подобныя формулѣ $f = \frac{J'}{Fe''}$, выведенной въ № 42, т. е.:

$$(2) \quad k_2 = \frac{J'}{Fe'}; \quad k_1 = \frac{J}{Fe''}$$

откуда получаемъ:

$$\frac{J'}{e'} = Fk_2; \quad \frac{J'}{e''} = Fk_1.$$

Уравненія (1), послѣ подстановки въ нихъ этихъ значеній, обра-
тятся въ слѣдующія:

$$(3) \quad \sigma_1 = \frac{N}{F} \cdot \frac{f+k_2}{k_2}; \quad \sigma_2 = -\frac{N}{F} \cdot \frac{f-k_1}{k_1},$$

затѣмъ можно написать:

$$(4) \quad \sigma_1 = \frac{N}{F} \cdot \frac{f_2}{k_2}; \quad \sigma_2 = -\frac{N}{F} \cdot \frac{f_1}{k_1},$$

гдѣ f_1 и f_2 обозначаютъ разстоянія центра силъ оть точекъ ядра K_1 и K_2 , лежащихъ въ плоскости дѣйствія силъ.

Когда ядро сѣченія задано, то напряженія σ_1 и σ_2 опредѣляются по уравн. (4), причемъ нѣтъ необходимости отыскивать направленіе

нейтральной оси и крайнихъ точекъ съченія L_1 и L_2 . Если требуется найти σ_1 и σ_2 графически, причемъ напряженіе $\sigma_0 = \frac{N}{F}$, существующее въ центрѣ тяжести S , уже опредѣлено, то на какойнибудь прямой, проходящей черезъ S , откладываютъ $\sigma_0 = SR$, фиг. 69, черезъ K проводятъ прямую параллельно SR и заѣмъ изъ R и черезъ K_1 и K_2 проводятъ прямые до пересѣчения ихъ съ предыдущей прямой въ точкахъ T_1 и T_2 . Тогда получимъ: $\sigma_1 = KT_2$ и $\sigma_2 = KT_1$.

Иногда задаются величины моментовъ $M_1 = Nf_1$ и $M_2 = Nf_2$ относительно точекъ ядра K_1 и K_2 , причемъ N, f_1 и f_2 отдельно не заданы. Тогда напряженія σ_1 , σ_2 опредѣляютъ (лучше всего вычислениемъ) изъ формулъ:

$$(5) \quad \sigma_1 = \frac{M_2}{Fk_2}; \quad \sigma_2 = -\frac{M_1}{Fk_1},$$

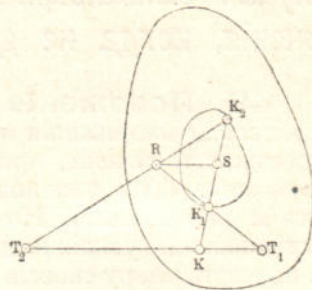
которыя имѣютъ большое значеніе въ теоріи арочныхъ мостовъ.

Примѣненіе ядра съченія при опредѣленіи напряженій σ имѣть только тогда преимущество передъ способомъ, приведеннымъ въ § 9, когда можно легко вычертить ядро съченія или же когда требуется сравнить наибольшія напряженія σ_1 и σ_2 для различныхъ положеній центра силъ.

Если, напр., съченіе при перемѣнномъ положеніи центра силъ будетъ находиться подъ дѣйствіемъ постоянной нормальной силы N и постоянного момента, которые могутъ быть оба положительными, то напряженіе $\sigma_1 = \frac{N}{F} + \frac{M}{Fk_1}$ приметъ наибольшее или наименьшее значеніе, смотря по тому съ наименьшимъ или съ наибольшимъ радиусомъ ядра совпадаетъ плоскость дѣйствія силъ. Для параллелограмма, фиг. 66, напряженіе σ_1 будетъ наибольшимъ, если плоскость дѣйствія силъ SK будетъ перпендикулярна къ сторонѣ ядра, ближайшей къ точкѣ S , и будетъ наименьшимъ, если SK совпадаетъ съ длинною диагональю ядра. Вообще, при постоянномъ N и M находимъ:

$$\sigma_{1max} = \frac{N}{F} + \frac{M}{Fk_{min}}; \quad \sigma_{1min} = \frac{N}{F} + \frac{M}{Fk_{max}}.$$

Кульманъ и Винклеръ впервые воспользовались точками ядра при расчетѣ напряженій σ для случая, когда плоскость дѣйствія силъ совпадаетъ съ главной осью; общую же примѣнимость уравнений (4) доказалъ впервые W. Ritter (Zurich).



Фиг. 69.

§ 12.

Случай сжимающихъ усилий, приложенныхъ въ ядра съченія, когда не допускаются растягивающія усилия.

49. Положеніе нейтральной оси. До сихъ поръ мы опредѣляли напряженія σ для того случая, когда нейтральная ось пересѣкаетъ съченіе, причемъ предполагалось, что продольное усилие можетъ быть уравновѣшено напряженіями какъ растягивающими, такъ и сжимающими. Но можетъ также представиться случай, когда растягивающія усилия не допускаются, напр., когда стержень опирается на плоскую опору своимъ съченіемъ, но съ ней не связанъ. Если при этомъ центръ силъ K , или точка приложенія давленія N на съченіе опоры лежитъ въ ядра, то нейтральная ось nn раздѣляетъ съченіе на 2 части, изъ которыхъ одна, содержащая точку K , получаетъ только сжимающія напряженія, другая же часть совсѣмъ не напряжена.

Подобный случай можетъ представиться напр., при распределеніи давленія N по одну сторону съченія, отсѣкаемаго нейтральною осью, въ каменномъ устѣѣ, причемъ мы предполагаемъ, что кладка не можетъ сопротивляться растяженію; это, конечно, не согласуется съ дѣйствительностью, но подобныя предположенія вполнѣ допустимы, такъ какъ для сжимающихъ напряженій получаются значенія нѣсколько большія, чѣмъ то слѣдовало бы въ дѣйствительности.

Обозначимъ разстояніе между центромъ силъ K и нейтральною осью nn буквою f , фиг. 70, а разстояніе между осью nn и безконечно узкой полоскою съченія dF , параллельной nn , буквой x . Однаковое во всѣхъ точкахъ этой полоски сжимающее напряженіе (въ этомъ § мы считаемъ его положительнымъ) обозначимъ буквой σ ; тогда оба уравненія, въ предположеніи отсутствія сопротивленія растяженію, могутъ быть выражены такъ:

1) Сумма силъ σdF равна давленію N ,

2) Сумма моментовъ силъ σdF относительно оси nn равна моменту Nf давленія N :

$$(1) \quad N = \int \sigma dF \quad \text{и} \quad Nf = \int x \sigma dF,$$

причемъ интегралы распространяются только на ту часть съченія, отдѣляемаго нейтральною осью, которая содержитъ въ себѣ центръ силъ K .

Сжимающее усилие σ слѣдуетъ закону: $\sigma = Cx$, гдѣ C —постоянная, получаемая изъ ур. (1).

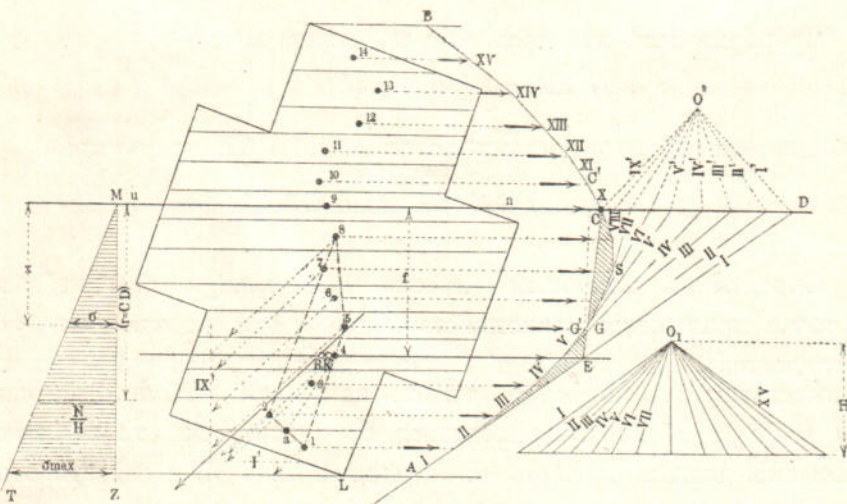
Имѣемъ: $N = C \int x dF$, а отсюда:

$$(2) \quad C = \frac{N}{\int x dF} \quad \text{и} \quad \sigma = \frac{Nx}{\int x dF};$$

а затѣмъ изъ втораго уравн. (1):

$$(3) \quad f = \frac{\int Cx^2 dF}{N} = \frac{\int x^2 dF}{\int x dF}.$$

Числитель найденной дроби представляетъ моментъ инерціи, а знаменатель — статический моментъ сжатой части площади относительно оси nn . Эти величины можно опредѣлить съ помощью веревочного многоугольника.



Фиг. 70.

Для этого разбивають все съченіе на рядъ узкихъ полосъ, параллельныхъ нейтральной оси, величину площадей этихъ полосъ принимаютъ за силы, дѣйствующія по направленію nn , строятъ для этихъ силъ при произвольномъ полюсномъ разстояніи H (что выражаетъ собой величину площади) веревочный многоугольникъ $AGCB$ и измѣряютъ отрѣзокъ $\ell \overline{D} = r$, получившійся при пересѣченіи оси nn веревочнымъ многоугольникомъ и продолженнымъ первымъ бокомъ AD ^{*)}. Искомый статический моментъ (по № 15—17) $= Hr$, а искомый моментъ инерціи $= 2H\delta$ (по ур. (1) въ № 21), гдѣ подъ δ подразумѣваемъ величину площади $AGCDA$, заключенной между веревочнымъ многоугольникомъ и прямыми CD и DA . Уравн. (3) преобразовывается теперь въ $f = \frac{2\delta}{r}$, а отсюда получимъ $\frac{fr}{2} = \delta$, т. е.

$$(4) \quad \Delta BCD = \delta,$$

^{*)} Хотя полосы съченія взяты конечной ширины, тѣмъ не менѣе въ дальнѣйшемъ изложениі мы сохранимъ для площади полосы обозначеніе dF . На фиг. 70 веревочный многоугольникъ слѣдовало бы замѣнить вписанной цѣпной линіей, что не сдѣлано ради отчетливости чертежа.

гдѣ E есть точка пересѣченія первого бока веревочнаго многоугольника съ прямой, проходящей черезъ точку K параллельно оси pp . Изъ уравн. (4) слѣдуетъ, что величины обѣихъ площадей AEG и GSC , заштрихованныхъ на фиг. 70, равновелики, поэтому легко уже будетъ отыскать соотвѣтствующую данному центру силъ K нейтральную ось, направление которой должно быть во всякомъ случаѣ дано; для этого послѣ построенія веревочнаго многоугольника и по опредѣленіи точки E проводить прямую EC такъ, чтобы получилось требуемое равенство площадей. Этого можно достигнуть попытками или же просто проведениемъ на глазъ прямой EC' и нахожденiemъ точки C при томъ условіи, чтобы:

$$\Delta E C' C = \text{площ. } C' S G' - \text{площ. } G' E A.$$

Преобразовавъ это уравненіе въ слѣдующее:

$$G' E A = C' S G' - \Delta E C' C \text{ и}$$

прибавивъ къ обѣимъ частямъ по площади $G' G E$ получимъ:

$$\text{площ. } G E A = \text{площ. } G S C.$$

Опредѣливъ подобнымъ путемъ нейтральную ось, найдемъ, что точка приложенія равнодѣйствующей $\int \sigma dF$ всѣхъ силъ σdF , дѣйствующихъ на сѣченіе и приложенныхъ къ центрамъ тяжести соотвѣтствующихъ полосокъ, лежитъ на прямой KE , но такъ какъ силы $\int \sigma dF$ и N должны находиться въ равновѣсіи, то эта точка приложенія должна совпасть съ центромъ силъ K , а для этого необходимо,

чтобы разнодѣйствующая $\int \sigma dF$ силь σdF , взятыхъ въ плоскости сѣченія по какому нибудь направлению, пересѣкала прямую KE въ точкѣ K .

Если этого не случится, то надо выбрать другое направленіе для нейтральной оси и вновь повторить все построеніе.

При отысканіи этой разнодѣйствующей надо выразить давленія $\sigma dF = Cx dF$ пропорціональными имъ отрѣзками $\frac{x dF}{H}$, которые отсѣкаются на прямой pp боками веревочнаго многоугольника $AGSC$ (по № 20). Такимъ образомъ, если выбрать полюсъ O' , провести лучи I' , II' , III' ..., потомъ повернуть многоугольникъ силъ CD вмѣстѣ съ лучами O такъ, чтобы CD было параллельно принятому направленію давленій σdF , и затѣмъ построить соотвѣтствующій веревочный многоугольникъ I' , II' , III' ..., то точка пересѣченія крайнихъ боковъ (I' и IX') его будетъ принадлежать продолженной разнодѣйствующей силѣ. На фиг. 70 сдѣлано упомянутое вращеніе многоугольника силъ. Силы σdF проведены подъ угломъ 45° къ прямой CD , а бока веревочнаго многоугольника I' , II' , III' ... проведены подъ угломъ 45° къ соотвѣтствующимъ лучамъ веревочнаго многоугольника (на чертежѣ, чтобы не затемнять его, проведены только лучи I' и IX'). Точка пересѣченія R

равнодѣйствующей $\int \sigma dF$ съ прямой KE лежить такъ близко отъ точки K , что прямую nn можно принять съ достаточнouю точностью за нейтральную ось, соотвѣтствующую центру силъ K .

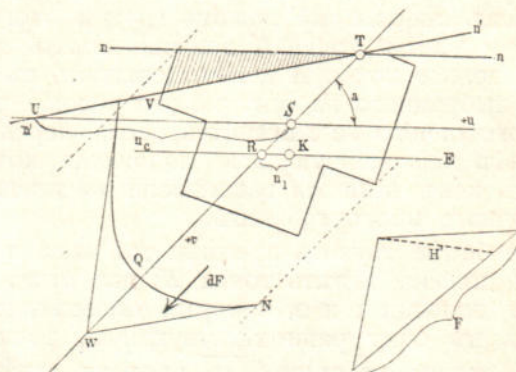
Остается еще установить выборъ направления нейтральной оси nn . Это направлениe опредѣляется вообще путемъ опыта, а потому, принявъ какое нибудь произвольное направлениe nn , необходимо быстро решить важный вопросъ, можетъ ли данный центръ силъ K совпасть съ точкой R . Если соединить для этой цѣли центры тяжести сжатыхъ полостей съченія многоугольникомъ (на фиг. 70 показано пунктиромъ), не имѣющимъ входящихъ угловъ, причемъ многоугольникъ заключаетъ всѣ центры тяжести, не лежащие на многоугольнике, то точка приложения равнодѣйствующей R всѣхъ нагрузокъ съченія σdF лежить внутри этого многоугольника, а поэтому и данная точка K должна лежать внутри многоугольника, если только точка K должна совпасть съ точкой R . Для направления nn , выбранного на фиг. 70, это условіе удовлетворено, а вслѣдствіе этого ничего не измѣнится, если передвинуть параллельно самой себѣ нейтральную ось, положеніе которой сначала неизвѣстно, такъ какъ выборъ направления nn предшествуетъ построению веревочнаго многоугольника.

Можно еще болѣе съузить предѣлы той части съченія, фиг. 70, внутри которой должна лежать точка K ; для этого нагрузки σdF , дѣйствующія на полоски 1 и 2, которыя обозначимъ буквами P_1 и P_2 , соединимъ въ одну равнодѣйствующую, точка приложения которой будетъ лежать на прямой 12, причемъ отрѣзки этой прямой опредѣляются изъ пропорціи: $1a : 2a = P_2 : P_1$. Нагрузки P_1 и P_2 пропорциональны статическимъ моментамъ соотвѣтствующихъ площадокъ относительно оси nn . Обозначимъ разстоянія центровъ тяжести 1 и 2 отъ прямой nn буквами x_1 и x_2 и обратимъ площадки 1 и 2 въ прямоугольники, которые при произвольныхъ равныхъ основаніяхъ имѣли бы высоты z_1 и z_2 , тогда получимъ: $P_2 : P_1 = \frac{x_2 z_2}{c} : \frac{x_1 z_1}{c}$, где c означаетъ длину произвольно выбранного отрѣзка.

Отрѣзки $\frac{x_2 z_2}{c}$ и $\frac{x_1 z_1}{c}$ легко опредѣлить чертежемъ, послѣ чего можно будетъ найти положеніе точки a . Когда это сдѣлано, то замѣняютъ стороны многоугольника 41, 12, 27, фиг. 70, сторонами 4a и a7 и тогда получается значительно меньшая площадь, внутри которой должна лежать точка K , если требуется совмѣщение ея съ точкой R .

Если, не смотря на всю тщательность выбора направления nn , получается неудовлетворительное совмѣщеніе точекъ K и R , тогда надо будетъ повернуть нейтральную ось въ новое положеніе nn' (фиг. 71); причемъ рекомендуется сначала *сохранить неизмѣнной* величину площади F —части съченія, ограниченной осью nn , а въ площади, заштрихованной на фиг. 71, допустить растягивающія усилия. Опредѣлимъ центръ тяжести S площади F (замѣтимъ при этомъ, что линія, проходящая черезъ центръ тяжести параллельно прямой KE , можетъ быть опредѣлена помошью веревочнаго многоугольника $AGCB$, построенного раньше на фиг. 70), затѣмъ соединимъ точки

R и S прямой, которая представить слѣдъ плоскости дѣйствія силъ, соотвѣтствующей нейтральной оси nn . Отнесемъ сѣченіе F къ ко-
согольнымъ координатнымъ осямъ (u, v), изъ которыхъ одна ось
 u , проходящая черезъ S , параллельна nn , а другая ось v совпада-
етъ съ прямой RS ; тогда центробѣжный моментъ $\int uv dF = 0$; а
на основаніи § 10 слѣдуетъ, что при переходѣ точки R въ по-
ложеніе K нейтральная ось вмѣстѣ съ линіей RS , вращаясь около
точки пересеченія ихъ T , приметъ такое положеніе $n'n'$, что отрѣ-
зокъ \overline{SU} будетъ равняться $u_e = \frac{i_r^2}{u_1}$, где $u_1 = \overline{RK}$. Моментъ инер-



Фиг. 71.

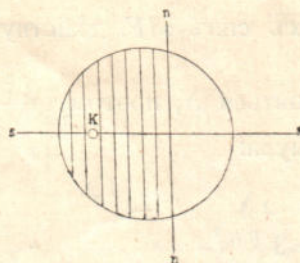
ціи $J_r = Fl_r^2$ относительно оси v можно опредѣлить проще всего по способу Мора. Для этого раздѣлимъ на части площадь F хордами, параллельными оси v ; величины этихъ площадокъ примемъ за силы, дѣйствующія параллельно оси — v ; построимъ веревочный многоугольникъ NQV при полюсномъ разстояніи H' , измѣренномъ по направлению оси u , причемъ оно взято $= \frac{1}{2} F$, и затѣмъ опредѣляемъ величину площади δ' , заключающейся между веревочнымъ многоугольникомъ и двумя крайними касательными NW и VW . На основаніи № 21 находимъ:

$$J_r = \frac{2H'\delta'}{\sin\alpha} = \frac{F\delta'}{\sin\alpha} \text{ и отсюда } i_r^2 = \frac{\delta'}{\sin\alpha},$$

гдѣ α — уголъ, образуемый двумя осями u и v . По приему, приведенному въ № 27, величину площади δ' можно представить въ видѣ: $2\delta' = a_2 n$, причемъ произвольный отрѣзокъ $a_2 = \epsilon u_1 \sin \alpha$, где ϵ — произвольное число; такимъ образомъ получимъ $u_e = \frac{\epsilon}{2} n$.

Когда прямая $n'n'$ проведена, то построение, сдѣланное на фиг. 70, надо повторить при улучшенномъ положеніи нейтральной оси.

Иногда бываетъ возможнымъ сразу дать точное положеніе нейтральной оси. А именно, если изслѣдуемое съченіе имѣть ось симметріи ss , фиг. 72, и центръ силъ K лежитъ внутри съченія, то ней-



Фиг. 72.



Фиг. 73.

тральная ось будетъ перпендикулярна къ оси ss . Центры тяжести всѣхъ хордъ, параллельныхъ линіи mm лежать на прямой ss .

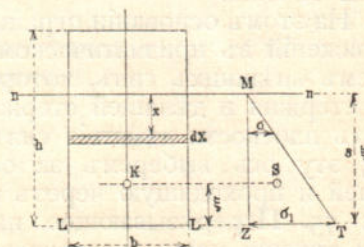
Точно также для центра силъ, лежащаго на одной диагонали прямоугольника, фиг. 73, соответствующая нейтральная ось будетъ параллельна другой диагонали.

50. Опредѣленіе сжимающихъ напряженій σ .
Изъ уравненія (2), выведенного въ № 49, получимъ выраженіе для сжимающаго напряженія:

$$(4) \quad \sigma = \frac{N}{H} \frac{x}{r},$$

причёмъ $\int x dF = Hr$, где r = отрѣзку CD на фиг. 70; поэтому напряженіе въ разстояніи $x = r$ отъ нейтральной оси: $\sigma = \frac{N}{H}$. Этимъ значеніемъ можно опредѣлить на фиг. 70 положеніе прямой MT , ординаты которой, взятые относительно оси x , перпендикулярной къ нейтральной оси, представлять сжимающія напряженія; крайней точкѣ съченія L будетъ соотвѣтствовать напряженіе σ_{max} . Для произвольнаго полюснаго разстоянія H надо выбратьъ такую величину, чтобы выраженіе $\frac{N}{H}$ было простымъ.

51. На прямоугольникъ дѣйствуетъ сжимающее усилие N , точка приложенія котораго лежитъ на оси симметріи. Пусть стороны прямоугольника $= b$ и $= h$ и точка приложенія силы лежитъ на оси симметріи, параллельной сторонѣ h ; нейтральная ось будетъ параллельна сторонѣ b . Если точка приложенія K отстоитъ отъ стороны LL на величину ξ , фиг. 74, то нейтральная ось пройдетъ на разстояніи 3ξ отъ этой стороны, потому что прямая, проходящая че-резъ K параллельно оси mm , должна пройти черезъ центръ тяжести S



Фиг. 74.

треугольника MTZ , такъ какъ ширина полосокъ ($b dx$), параллельныхъ оси m , одинакова по всему съченію. Умноживъ величину площади $\left(\frac{3 \cdot \xi \cdot \sigma_1}{2}\right)$ этого треугольника на ширину полоски b , получимъ величину суммы всѣхъ силъ sdF , дѣйствующихъ на сжатую часть съченія.

Но эта сумма должна равняться N , поэтому: $\frac{3 \cdot \xi \cdot \sigma_1 \cdot b}{2} = N$, откуда получается слѣдующая формула:

$$(5) \quad \sigma_1 = \frac{2N}{3 \cdot \xi \cdot b},$$

примѣняемая при расчетѣ сводовъ, быковъ и подпорныхъ стѣнъ.

Графическимъ изслѣдованиемъ сжимающихъ усилий, дѣйствующихъ въ ядрѣ съченія, при отсутствіи сопротивленія растяженію, занялся впервые Mohr (Zeitschr. des Hannov. Arch. u. Jng. Ver. 1883), работу которого впослѣдствіи дополнилъ H  ppner (Civil-Jngeneur. 1885). Укажемъ также на аналитическія изслѣдованія Keck'a и Barkhausen'a (Zeitschr. d. Hannov. Arch. u. Jng. Vereins 1882 и 1883) для съченій: круга, кругового кольца и прямоугольника.

§ 13.

Перерѣзывающія и главныя напряженія.

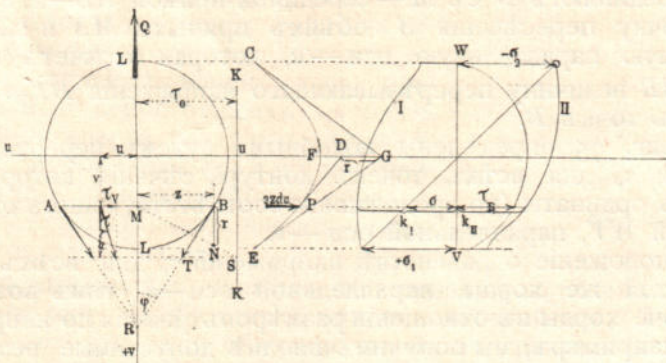
52. Перерѣзывающія напряженія. Опредѣленіемъ перерѣзывающихъ напряженій τ , вызываемыхъ перерѣзывающею силой Q (см. № 36), мы займемся въ настоящемъ сочиненіи только вкратцѣ и только для одного опредѣленного случая нагрузки; дѣлаемъ это потому, что напряженія τ въ статикѣ сооружений имѣютъ меньшее значение, чѣмъ напряженія σ , а главнымъ образомъ потому, что для этой области аналитический выводъ законовъ напряженій имѣть большее преимущество, и въ большинствѣ случаевъ его нельзя замѣнить геометрическими изслѣдованіями. Послѣднее замѣчаніе имѣть мѣсто напр., для случая силы Q , скручивающей данный стержень, когда эта сила не проходитъ черезъ центръ тяжести съченія.

На этомъ основаніи ограничимся изученіемъ перерѣзывающихъ напряженій въ призматическомъ стержнѣ, находящемся подъ дѣйствіемъ вънѣшнихъ силъ, которая лежать въ плоскости содержащей ось стержня и дѣлящей стержень на двѣ симметричныхъ половины. Слѣдѣтъ плоскости дѣйствія силъ будетъ тогда осью симметріи стержня; эту ось выберемъ за ось — v , а прямую, перпендикулярную къ ней и проходящую черезъ центръ тяжести, выберемъ за ось — u . Фиг. 75. Перерѣзывающее напряженіе τ въ какой нибудь точкѣ (u, v) съченія можно разложить на составляющую $\tau_v \perp v$ и $\tau_u \perp u$.

Если предположимъ, что τ_u для всѣхъ точекъ хорды AB , параллельной оси — u , одинаковы и что перерѣзывающія напряженія

для всѣхъ точекъ поверхности стержня равны нулю, то величины τ_u и τ_v подчинены слѣдующимъ законамъ:

$$(1) \quad \tau_u = \frac{Q S}{2zJ}; \quad \tau_v = \tau_u \operatorname{tg} \varphi \frac{u}{z},$$



Фиг. 75.

гдѣ $2z$ —длина хорды AB ,

S —статический моментъ части площади поперечного сѣченія, ограниченного хордой AB (напр. части ALB , относительно оси $—u$),

J —моментъ инерціи всего поперечного сѣченія относительно оси $—u$ и

φ —уголъ, образуемый касательной въ точкѣ B съ осью $—v$.

Изъ втораго уравненія (1) слѣдуетъ, что напряженія τ для всѣхъ точекъ хорды AB проходятъ черезъ точку R , лежащую на оси $—v$, въ которой пересѣкаются касательная къ сѣченію въ точкахъ A и B .

Разобьемъ все сѣченіе на безконечно узкия полоски, перпендикулярныя къ оси v . величины ихъ площадей $dF = 2\pi dv$ примѣмъ за силы, дѣйствующія параллельно оси $—u$, и построимъ веревочный многоугольникъ CFE при произвольномъ полюсномъ разстояніи H . Для опредѣленія статического момента S проводимъ къ веревочному многоугольнику, въ точкѣ пересѣченія его съ хордой AB , касательную PD , которая вмѣстѣ съ одной изъ крайнихъ касательныхъ отсѣкаетъ на оси $—u$ отрезокъ $DG = r$. Тогда получимъ $S = Hr$, а по № 21 $J = 2H\delta$, гдѣ δ —представляетъ величину площади, ограниченной веревочнымъ многоугольникомъ CFE и вѣшними касательными EG и CG . Обозначивъ

$$\tau_0 = \frac{Q}{4\delta}$$

получимъ:

$$\tau_u = \tau_0 - \frac{r}{z},$$

значение, которое легко построить, если величина τ_0 будет дана. Зная τ_0 , можно определить и τ , так как направление этого напряжения дано. Для каждой хорды достаточно будет определить наибольшее значение τ , а именно появляющееся въ A и B . Для этой цели проводятъ прямую KK , параллельную оси— v , на расстояніи τ_0 въ точкѣ B хорды AB возставляютъ перпендикуляръ $BN = r$, соединяютъ N съ M —серединой прямой AB —и, наконецъ, черезъ точку пересеченія S обѣихъ прямыхъ MN и KK проводятъ прямую параллельную оси— u , которая отсѣтъ на касательной BR величину перерѣзывающаго напряженія $BT = \tau_b$, вызываемаго въ точкѣ B .

На фиг. 75 определены подобнымъ путемъ перерѣзывающія напряженія τ_b для всѣхъ точекъ контура сѣченія, которые отложены какъ ординаты (по продолженію соответствующихъ хордъ AB) отъ прямой WV , параллельной оси— v .

Предположеніе о равенствѣ напряженій τ_u для всѣхъ точекъ одной и той же хорды, параллельной оси— u , тѣмъ возможно, чѣмъ короче хорды въ отношеніи размѣровъ сѣченія по направлению Q . Такъ, напримѣръ, мы получимъ вполнѣ допустимые результаты, если опредѣлимъ перерѣзывающія напряженія τ въ ребра двутавроваго сѣченія, фиг. 76, но распространить это допущеніе на полки нельзя. Такъ какъ для всѣхъ точекъ контура сѣченія, по извѣстному закону ученія о прочности, перерѣзывающія напряженія направлены по касательнымъ къ контуру, то для всѣхъ точекъ прямыхъ CD и EF , фиг. 76, напряженіе перпендикулярное къ оси— u , будетъ $\tau_u = 0$, а отсюда заключаемъ о невозможности появления во всѣхъ точкахъ хорды, параллельной оси— u и безконечно близкой къ прямой CF , перерѣзывающаго напряженія τ_u , получаемаго изъ первого уравненія (1). Это заключеніе имѣть значение для всѣхъ сѣченій съ боковыми прилатками, ширина которыхъ по направлению оси v незначительна.

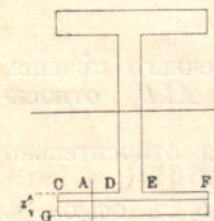
На этомъ основаніи при определеніи напряженій τ въ полкахъ двутавроваго сѣченія (и въ другихъ подобныхъ случаяхъ) принимаютъ, что напряженія τ_u для всѣхъ точекъ хорды AB , перпендикулярной къ оси— u , постоянны, что приводитъ къ формулѣ

$$(2) \quad \tau_u = \frac{QS'}{z' J},$$

гдѣ S' — статический моментъ относительно оси— u одной изъ двухъ частей сѣченія, ограниченныхъ хордой AB , а z' — длина хорды AB .

Вообще же при изслѣдованіи двутавровыхъ сѣченій (и имъ подобныхъ) достаточно будетъ определить напряженія τ только въ ребра, поэтому дальнѣйшія изслѣдованія этого вопроса (определение напряженій τ_u въ полкахъ и т. д.) могутъ быть пропущены.

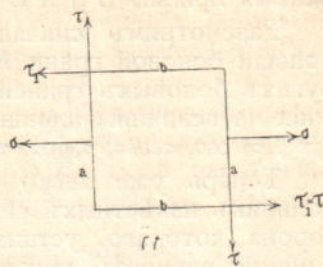
53. Главные напряженія. Выдѣлимъ изъ стержня весьма малый параллолипедъ, стороны котораго обозначимъ буквами a , b , c , фиг. 77. Пусть одна боковая грань ac лежить въ плоскости сѣченія, перпендикулярного къ оси стержня, и черезъ которую прохо-



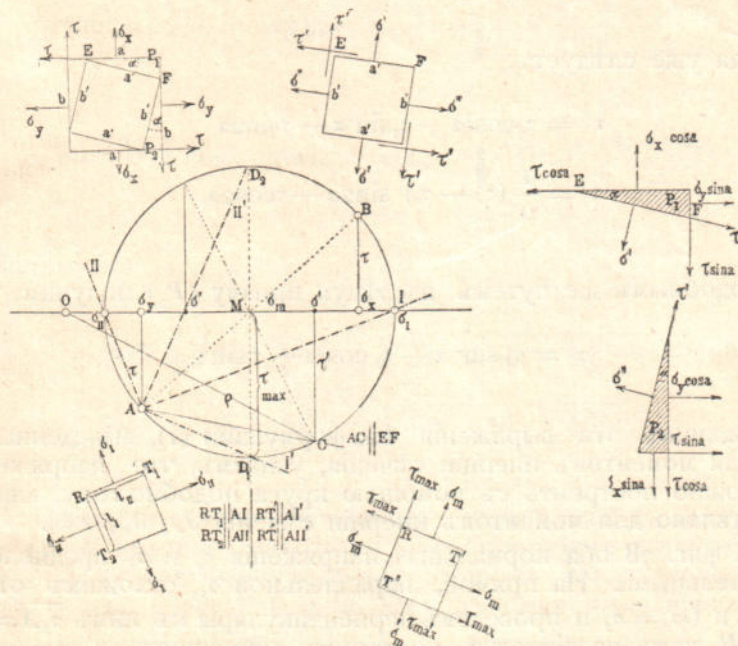
Фиг. 76.

дятъ оси u , v (фиг. 75 и 77). Пусть сторона a будеть параллельна перерѣзывающему напряженію τ , а слѣдовательно, сторона b будеть параллельна нормальному напряженію σ . Если напряженія постоянно мѣняются съ перемѣнной положенія напряженной площиади, то напряженія въ двухъ противолежащихъ другу боковыхъ граняхъ отличаются между собой на величину безконечно малую, которой въ слѣдующемъ изслѣдованіи можно пренебречь. При непостоянныхъ напряженіяхъ надо сперва раздѣлить стержень на части, внутри которыхъ σ и τ постоянны, и тогда рассматриваемый параллелопипедъ долженъ лежать вполнѣ внутри одной изъ этихъ частей.

Перерѣзывающія силы τ_{ac} , дѣйствующія въ обѣихъ граняхъ ac , образуютъ пару съ плечомъ b , моментъ которой τ_{abc} . Для равновѣсія параллелопипеда необходимо, чтобы въ граняхъ bc вызывались перерѣзывающія силы τ_{1bc} , которые (образуя пару съ плечомъ a) уничтожили бы моментъ τ_{abc} . Для этого нужно, чтобы $\tau_{1abc} = \tau_{abc}$, или $\tau_1 = \tau$, т. е. чтобы оба момента имѣли разныя направленія вращенія.



Фиг. 77.



Фиг. 78.

Теперь надо будетъ изслѣдовать, какъ велики будутъ напряженія въ боковыхъ граняхъ параллелопипеда ($a'b'c'$), который такъ вписанъ въ параллелопипедъ (a,b,c), что стороны a' и b' образуютъ съ a и b уголъ α , а сторона $c' \parallel c$; рѣшимъ эту задачу въ болѣе общей формѣ, фиг. 78. Обозначимъ напряженія для параллелопипеда

(abc) буквами $\sigma_x \ \sigma_y \ \tau$, а для параллелопипеда ($a' b' c'$) буквами $\sigma' \sigma'' \tau'$; послѣднія получаются изъ напряженій σ_x, σ_y, τ , которыхъ мы считаемъ извѣстными, изъ условій равновѣсія силъ, дѣйствующихъ на трехгранныя призмы (P_1) и (P_2).

Разсмотримъ сначала призму (P_1); положимъ, что величина площади боковой грани EF , фиг. 78, равна 1; а такъ какъ величины другихъ боковыхъ граней $= 1 \sin\alpha$ и $= 1 \cos\alpha$, то, умножая напряженія на величины площадей, получимъ нагрузки этихъ площадей, $\sigma', \tau', \sigma_x \cos\alpha, \tau \cos\alpha, \sigma_y \sin\alpha, \tau \sin\alpha$.

Теперь уже легко будетъ опредѣлить σ' и τ' , строя многоугольникъ извѣстныхъ силъ $\sigma_x \cos\alpha, \tau \cos\alpha, \sigma_y \sin\alpha, \tau \sin\alpha$, замыкающая сторона которого, устанавливающая равновѣсіе этихъ силъ, дастъ величину равнодѣйствующей ρ нагрузокъ σ' и τ' , дѣйствующихъ на площадь EF . Разлагая ρ , получимъ σ' и τ' . Но мы предпочтемъ дать для σ' и τ' аналитическія выраженія, чтобы имѣть возможность указать на замѣчательное подобіе данной задачи съ прежде решенной. Разлагая всѣ силы по направлениамъ σ' и τ' и полагая суммы составляющихъ, дѣйствующихъ по одинаковымъ направлениамъ, равными нулю, получимъ:

$$\begin{aligned}\sigma' - (\sigma_x \cos\alpha - \tau \sin\alpha) \cos\alpha - (\sigma_y \sin\alpha - \tau \cos\alpha) \sin\alpha &= 0 \\ \tau' - (\sigma_x \cos\alpha - \tau \sin\alpha) \sin\alpha - (\sigma_y \sin\alpha - \tau \cos\alpha) \cos\alpha &= 0,\end{aligned}$$

а отсюда уже слѣдуетъ:

$$\sigma' = \sigma_x \cos^2\alpha + \sigma_y \sin^2\alpha - \tau \sin 2\alpha$$

$$\tau' = \frac{1}{2} (\sigma_x - \sigma_y) \sin 2\alpha + \tau \cos 2\alpha.$$

Подобнымъ же путемъ, изслѣдуя призму (P_2) получимъ:

$$\sigma'' = \sigma_x \sin^2\alpha + \sigma_y \cos^2\alpha + \tau \sin 2\alpha.$$

Сравнивъ эти выраженія съ формулами (1), выведенными въ № 28 для моментовъ инерціи сѣченія, узнаемъ, что напряженія σ', σ'', τ' , можно построить съ помощью круга подобно тому, какъ это было сдѣлано для моментовъ инерціи сѣченія $J_x, J_y, Z_{x'y'}$.

На фиг. 78 оба нормальныя напряженія σ_x и σ_y предположены положительными. На прямой, параллельной σ_y , отложимъ отрѣзки $O\sigma_x = \sigma_x$ и $O\sigma_y = \sigma_y$ и проведемъ перпендикуляры къ нимъ $\sigma_y A = \sigma_x B = \tau$; на AB , какъ на диаметрѣ, построимъ окружность, и изъ точки A проведемъ прямую, параллельную прямой EF , которая пересѣтъ окружность въ точкѣ C . Ордината этой точки по отношенію къ оси $O\sigma_x$ и началу O представить величину напряженія τ' , а абсцисса ея—напряженіе σ' . Когда точка C описываетъ всю окружность, то координаты ея проходятъ черезъ всѣ значения, которыя могутъ принять нормальныя и перерѣзывающія напряженія въ разматривающемъ мѣстѣ стержня. Прямая OC представляетъ всегда по вели-

чинѣ напряженіе ρ , которое появляется въ грани, имѣющей положеніе AC . Прямые, проведенные изъ A до σ_I и σ_{II} —точекъ пересѣченія окружности съ осью σ , обозначимъ черезъ I и II ; эти прямые укажутъ на положеніе тѣхъ граней (RT_1 и RT_2), на которыхъ дѣйствуютъ наибольшія напряженія ρ (эти напряженія изобразятся отрѣзками $O\sigma_1 = \sigma_1 = \rho_{max}$ и $O\sigma_{II} = \sigma_{II} = \rho_{min}$). Въ граняхъ I и II перерѣзывающихъ усилий не существуетъ.

Перпендикуляръ, возставленный къ оси σ въ центрѣ круга M , пересѣкаетъ окружность въ точкахъ D_1 и D_2 , которыми опредѣляются направления I' и II' граней (RT' и RT'') съ наибольшими перерѣзывающими напряженіями (на чертежѣ отрѣзокъ $MD_1 = \tau_{max}$).

Итакъ найдемъ $\tau_{max} = \frac{1}{2}(\sigma_I - \sigma_{II})$, а для нормальныхъ напряженій въ граняхъ I' и II' получимъ равныя значенія $\sigma_m = \frac{1}{2}(\sigma_x + \sigma_y) = \frac{1}{2}(\sigma_I + \sigma_{II})$.

Обыкновенно бываетъ достаточнымъ задать главныя напряженія σ_I и σ_{II} . На фиг. 78 имѣемъ:

$$\text{отрѣзокъ } \overline{\sigma_m \sigma_I} = \text{отрѣзокъ } \overline{\sigma_m A} = \sqrt{\tau^2 + \left(\frac{\sigma_x - \sigma_y}{2}\right)^2}$$

$$\text{а отсюда получаемъ: } \sigma_I = \sigma_m + \sqrt{\tau^2 + \left(\frac{\sigma_x - \sigma_y}{2}\right)^2};$$

следовательно:

$$(3) \quad \begin{cases} \sigma_I = \frac{1}{2}(\sigma_x + \sigma_y) + \frac{1}{2}\sqrt{(\sigma_x - \sigma_y)^2 + 4\tau^2} \text{ и подобно этому} \\ \sigma_{II} = \frac{1}{2}(\sigma_x + \sigma_y) - \frac{1}{2}\sqrt{(\sigma_x - \sigma_y)^2 + 4\tau^2}. \end{cases}$$

Разсмотримъ теперь безконечно малый параллелопипедъ, боковыя грани котораго находятся подъ дѣйствиемъ главныхъ напряженій σ_I и σ_{II} ; обозначимъ длину сторонъ, параллельныхъ этимъ напряженіямъ, буквами l_I и l_{II} . Отъ дѣйствія σ_I величина l_I удлинится на $\Delta' l_I = \frac{\sigma_I}{E} l_I$ (E = коэффиціентъ упругости), а отъ дѣйствія σ_{II} — укоротится на $\Delta'' l_I = \frac{\sigma_{II}}{mE} l_I$. Общее измѣненіе длины равно:

$$\Delta l_I = \frac{l_I}{E} (\sigma_I - \frac{1}{m} \sigma_{II}),$$

точно также получимъ:

$$\Delta l_H = \frac{l_H}{E} (\sigma_H - \frac{1}{m} \sigma_I).$$

То напряженіе K_I , дѣйствующее по направлению l_I , которое можетъ произвести такое же измѣненіе длины Δl_I , какое производить оба напряженія σ_I и σ_H вмѣстѣ, будеть равняться:

$$(4) \quad k_I = \sigma_I - \frac{1}{m} \sigma_H = \frac{m-1}{2m} (\sigma_x + \sigma_y) + \frac{m+1}{2m} \sqrt{(\sigma_x - \sigma_y)^2 + 4\tau^2};$$

это напряженіе называется (по Винклеру) *воображаемымъ главнымъ напряженіемъ* или напряженіемъ въ направлении l_I ; точно также другое напряженіе:

$$(5) \quad k_H = \sigma_H - \frac{1}{m} \sigma_I = \frac{m-1}{2m} (\sigma_x + \sigma_y) - \frac{m+1}{2m} \sqrt{(\sigma_x - \sigma_y)^2 + 4\tau^2}$$

называется напряженіемъ въ направлении l_H . Можно считать стержень прочнымъ, если величины k_I и k_H не превосходятъ известныхъ значеній, найденныхъ опытомъ; но при разсмотрѣніи этихъ предѣльныхъ значеній ($k_I = E \frac{\Delta l_I}{l_I}$ и $k_H = E \frac{\Delta l_H}{l_H}$) надо обращать вниманіе на то, что совсѣмъ не безразлично отъ какихъ причинъ произошли относительные удлиненія $\frac{\Delta l_I}{l_I}$ и $\frac{\Delta l_H}{l_H}$. Обыкновенное примѣненіе тѣхъ численныхъ значеній k , которыя выводятся изъ опытовъ надъ чистымъ растяженіемъ или сжатіемъ, можетъ повести при существованіи перерѣзывающихъ напряженій къ результатамъ, несогласнымъ съ опытомъ; допустить, впрочемъ, это примѣненіе можно въ томъ случаѣ, когда напряженія τ имѣютъ второстепенное значеніе, какъ это имѣть мѣсто при изгибѣ относительно тонкихъ и длинныхъ стержней.

По молекулярной теоріи коэффиціентъ $\frac{I}{m} = \frac{I}{4}$, въ дѣйствительности же для различного рода тѣла этотъ коэффиціентъ не одинаковъ. Для желѣза и стали, напримѣръ, m колеблется между 3 и 4. Если мы примемъ первую величину и вернемся къ случаю $\sigma = 0$, фиг. 77, то изъ ур. (4) и (5) получимъ:

$$(6) \quad \begin{cases} k_I = \frac{1}{3} \sigma + \frac{2}{3} \sqrt{\sigma^2 + 4\tau^2} \\ k_H = \frac{1}{3} \sigma - \frac{2}{3} \sqrt{\sigma^2 + 4\tau^2} \end{cases}$$

Теперь уже легко построить напряженія k_I и k_H ; для этого сначала строимъ прямую измѣненія напряженій σ по способамъ, выведеннымъ въ §§ 9 — 11, см. фиг. 47 на стр. 56. Выраженіе

$\sqrt{\sigma^2 + 4\tau^2}$ представляетъ собой гипотенузу прямоугольного треугольника съ катетами σ и 2τ .

На фиг. 75 (нейтральная ось проходитъ черезъ центръ тяжести) ординаты кривыхъ I и II , параллельныя оси u и отложенные отъ прямой VW даютъ значения k_1 и k_{II} для соотвѣтствующихъ точекъ контура съченія. Перерѣзывающее напряженіе τ_0 взято для этого случая относительно большимъ, поэтому наибольшее напряженіе k будетъ соотвѣтствовать не тѣмъ точкамъ съченія L , для которыхъ σ наибольшее. Въ большинствѣ случаевъ $k_{max} = \sigma_{max}$ или немнogo больше σ_{max} , такъ что при изслѣдованіи прочности стержня можно пренебречь вліяніемъ перерѣзывающихъ напряженій τ .

Цѣна полнаго изданія

(2 тома—10 выпусковъ объемъ около 65 печатныхъ листовъ съ 1000 чертежами въ текстѣ и 15 литографированными таблицами)

по подпискѣ въ книжныхъ магазинахъ — **12** рублей.

Для гг. студентовъ техническихъ заведеній по подпискѣ у издателя—(С.-Петербургъ, Фонтанка 24, кв. 9)—
8 рублей.

При полученіи первого выпуска вносится **3** руб., при послѣдующихъ по **1** руб. **50** коп. до полной уплаты.
(Для студентовъ **3** руб. при полученіи первого выпуска и по **1** руб. при слѣдующихъ).

За пересылку по вѣсу и разстоянію налагается платежъ.

Отдѣльные выпуски продаваться не будутъ.

ИЗДАНІЕ БУДЕТЬ ОКОНЧЕНО ВЪ ТЕЧЕНИИ 1899 ГОДА.

НАПЕЧАТАНЫ СЛѢДУЮЩІЕ ВЫПУСКИ: I и V (томъ I).



Дозволено цензурою С.-Петербургъ, 21 Декабря 1898 г.

Типо-литографія и переплетная Ю. А. Манефельдъ, М. Морисан, № 9.